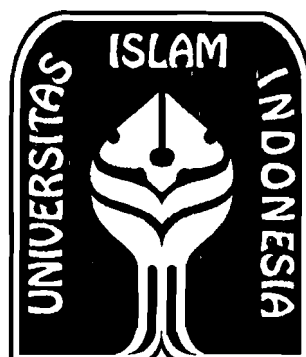


| | |
|-----------------------|------------------|
| PERPUSTAKAAN FTSP UIN | |
| HADIAH/BELI | 14 Februari 2007 |
| TGL. TERIMA : | 002187 |
| NO. JUDUL : | 5120002107001 |
| NO. INV. : | |
| NO. INDUK. : | |

TUGAS AKHIR

PENGARUH BATANG NOL TERHADAP RANGKA BAJA PROFIL BENTUKAN DINGIN



W.III, 64 : bung : 2

Disusun oleh :

Nama : RIDAWAN ESNY S.

No Mhs : 97 511 090

Nama : ABDI ARDIANSYAH

No Mhs : 97 511 277

JURUSAN TEKNIK SIPIL

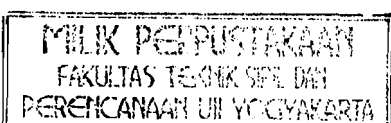
FAKULTAS TEKNIK SIPIL DAN PERENCANAAN

UNIVERSITAS ISLAM INDONESIA

JOGJAKARTA

2006

Baja - Mutu
Baja - Rangka
profile bent. dgn
Abdiyah, Msi.
yudik



TUGAS AKHIR
PENGARUH BATANG NOL TERHADAP RANGKA BAJA
PROFIL BENTUKAN DINGIN

Disusun Oleh:

Nama : Ridawan Esny S

No. Mahasiswa : 97 511 090

Nama : Abdi Ardiansyah

No. Mahasiswa : 97 511 277

Telah diperiksa dan disetujui oleh :



Ir. FATHURROHMAN NS. MT

Dosen Pembimbing

31-08-2006

Tanggal :

KATA PENGANTAR



Assalamu'alaikum Wr.Wb.

Puji dan syukur kehadirat Alloh SWT atas karunia dan rahmat-Nya hingga penyusun dapat melaksanakan serta menyusun laporan Tugas Akhir ini dengan baik.

Laporan Tugas Akhir ini disusun sebagai syarat menempuh jenjang pendidikan Strata Satu (S-1) pada Fakultas Teknik Sipil dan Perencanaan, Jurusan Teknik Sipil, Universitas Islam Indonesia, Jogjakarta. Dalam menyusun laporan, sebelumnya penyusun telah melakukan pengujian pada Laboratorium Mekanika rekayasa Fakultas Teknik Sipil dan Perencanaan, Jurusan Teknik Sipil, Universitas Islam Indonesia, Jogjakarta.

Selama melaksanakan dan menyusun Laporan Tugas Akhir, penyusun mendapatkan banyak bimbingan dan bantuan dari berbagai pihak, dalam kesempatan ini penyusun menyampaikan terima kasih kepada:

1. Bapak DR. Ir. H. Ruzardi, MS., selaku Dekan Fakultas Teknik Sipil dan Perencanaan Universitas Islam Indonesia.
2. Bapak Ir. H. Faisol AM, MS., selaku Ketua Jurusan Teknik Sipil dan Perencanaan Universitas Islam Indonesia.
3. Bapak Ir. H. Fatkhurrohman NS, MT., selaku dosen pembimbing Tugas Akhir.

4. Ayah dan Ibunda tercinta yang selalu berdoa untuk keberhasilan penyusun, hingga sampai pada penghujung studi ini.
5. Rekan-rekan yang telah banyak memberikan bantuan dan dorongan kepada penyusun, serta semua pihak yang telah banyak membantu terselesaikannya Tugas Akhir ini, yang tidak mungkin penyusun sebutkan satu persatu.

Atas segala budi dan amal baik yang telah diberikan, penyusun hanya dapat memanjat do'a, semoga segala amal dan kebajikannya mendapatkan imbalan yang setimpal dari Allah SWT, Amien.

Penyusun menyadari bahwa laporan Tugas Akhir ini belum dapat dikatakan sempurna karena masih terdapat banyak kekurangan. Oleh karena itu, dalam kesempatan ini penyusun mengharapkan saran dan kritik yang bersifat membangun demi kesempurnaan laporan Tugas Akhir ini. Penyusun berharap semoga laporan Tugas Akhir ini dapat bermanfaat bagi kita semua.

Wassalamu'alaikum Wr. Wb.

Jogjakarta, Agustus 2006

Penyusun

DAFTAR ISI

| | |
|--------------------------------------|-----|
| HALAMAN JUDUL | i |
| HALAMAN PENGESAHAN | ii |
| KATA PENGANTAR | iii |
| DAFTAR ISI..... | iv |
| DAFTAR LAMPIRAN | v |
| DAFTAR NOTASI | vi |
| BAB I PENDAHULUAN | 1 |
| 1.1 Latar Belakang | 1 |
| 1.2 Rumusan Masalah | 2 |
| 1.3 Tujuan Penelitian | 2 |
| 1.4 Manfaat Penelitian | 3 |
| 1.5 Batasan Masalah | 3 |
| BAB II TINJAUAN PUSTAKA | 4 |
| 2.1 Umum | 4 |
| 2.2 Rangka Batang | 4 |
| 2.2.1 Batang Nol | 5 |
| 2.3 Profil Bentukan Dingin | 5 |
| 2.4 Lendutan dan Beban Aksial | 6 |
| BAB III LANDASAN TEORI | 8 |
| 3.1 Struktur Rangka Batang | 8 |
| 3.1.1 Konsep Batang Nol | 9 |

| | | |
|---------------|--|-----------|
| 3.1.2 | Batang Tarik | 11 |
| 3.1.3 | Batang Tekan | 13 |
| 3.1.4 | Batang Tekan Profil Tunggal | 13 |
| 3.1.5 | Kuat Tekan Batang Tersusun | 15 |
| 3.2 | Hubungan Antara Tekuk Lokal dan Tekuk Keseluruhan | 18 |
| 3.3 | Tegangan Kritis Dengan Metode AISC | 20 |
| 3.4 | Hubungan Beban – Lendutan | 22 |
| 3.5 | Hubungan Momen – Kelengkungan | 24 |
| 3.6 | Hipotesis | 27 |
| BAB IV | METODE PENELITIAN | 29 |
| 4.1 | Tinjauan umum | 29 |
| 4.2 | Persiapan Bahan dan Alat | 29 |
| 4.2.1 | Peralatan | 29 |
| 4.2.2 | Peralatan Penelitian | 29 |
| 4.3 | Pembuatan Benda Uji | 31 |
| 4.4 | Pembuatan Model Uji Rangka | 32 |
| 4.5 | Pengujian Sampel | 32 |
| 4.5.1 | Pengujian Kuat Tarik Baja | 32 |
| 4.5.2 | Pengujian Kuat Tekan Baja | 32 |
| 4.5.3 | Pengujian Kuat Lentur Rangka | 32 |
| BAB V | HASIL PENELITIAN DAN PEMBAHASAN | 34 |
| 5.1 | Hasil Pengujian Kuat Tarik Baja | 34 |
| 5.2 | Hasil Pengujian Kuat Tekan Baja | 35 |

| | | |
|-----------------------------|---|----|
| 5.3 | Hubungan Beban Lendutan Uji Lentur Kuda-kuda | 36 |
| 5.3.1 | Kurva Beban-Lendutan Hasil Pengujian | 36 |
| 5.3.2 | Kurva beban – Lendutan Hasil SAP 2000 | 43 |
| 5.3.3 | Analisis Kekakuan Rangka Batang | 49 |
| 5.4 | Hubungan Momen Kelengkungan | 52 |
| 5.4.1 | Hubungan Momen Kelengkungan Hasil Pengujian . | 52 |
| 5.5 | Analisis Faktor Kekakuan Batang Hasil Pengujian | 61 |
| 5.6 | Analisis Faktor Kekakuan Batang Hasil SAP 2000 | 61 |
| 5.7 | Tinjauan Analitis | 61 |
| 5.7.1 | Nilai Koefisien Tekuk | 62 |
| BAB VI | KESIMPULAN DAN SARAN | 63 |
| 6.1 | Kesimpulan | 63 |
| 6.2 | Saran | 64 |
| DAFTAR PUSTAKA | | |
| PENUTUP | | |

DAFTAR NOTASI

| | |
|----------|--|
| A | = Luas penampang |
| Ag | = Luas brutto |
| An | = Luas netto |
| A_{ef} | = Luas efektif |
| h | = Tinggi profil |
| b | = Lebar sayap profil |
| d | = Panjang bibir profil |
| t | = Tebal profil |
| Cc | = Kelangsungan Batas |
| E | = Modulus elastisitas |
| F_{cr} | = Tegangan kritis |
| F_y | = Tegangan leleh |
| I | = Inersia profil |
| K | = Faktor panjang Tekuk |
| k | = Koefisien tekuk pelat |
| L | = Panjang bentang |
| L_k | = Panjang tekuk |
| P | = Beban |
| P_{cr} | = Beban kritis |
| Q | = Faktor tekuk |
| Qa | = Faktor bentuk elemen tekan diperkuat |

- Q_s = Faktor bentuk elemen tekan tidak diperkuat
 r = Jari-jari inersia
 λ = Kelangsungan
 μ = Angka poison

DAFTAR LAMPIRAN

- Lampiran 1 Hasil uji bahan
- Lampiran 2 Hasil pengujian struktur rangka batang
- Lampiran 3 Data gaya batang (*element force*) aksial (P) analisis SAP 2000
- Lampiran 4 Perhitungan batang tekan Light Lipped Channal
- Lampiran 5 Perhitungan beban kritis elemen struktur rangka
- Lampiran 6 Perhitungan koefisien tekuk
- Lampiran 7 Dokumentasi pelaksanaan pengujian
- Lampiran 8 Perhitungan sambungan
- Lampiran 9 Kartu peserta tugas akhir

INTISARI

Kuda-kuda rangka batang (*truss*) adalah suatu struktur kerangka yang terdiri dari sejumlah tertentu batang-batang yang dihubungkan satu sama lain dengan perantara titik-titik simpul berupa sendi tanpa gesekan dimana gaya-gaya luar berkerja melalui kitik-kitik ini. Tujuan dari penelitian ini adalah (1) Mendapatkan kurva hubungan beban – deformasi dan momen kelengkungan struktur rangka baja dengan atau tanpa batang nol bentuk howe. (2) Mendapatkan kapasitas lentur kuda-kuda bentuk howe. (3) Mendapatkan dan membandingkan kekakuan rangka kuda-kuda bentuk howe.

Pengujian prilaku lentur kuda-kuda dengan profil C60x22x8 tebal 1,2 mm dan profil C70x22x8 tebal 1,2 mm, masing-masing dirangkai menjadi 2 model kuda-kuda bentuk howe dengan batang nol dan tanpa batang nol dengan skala model sama bentang 6 m dan sudut kemiringan kuda-kuda 20° . Dari hasil pengujian kuda-kuda rangka howe yang dibebani beban terpusat pada puncak struktur ini akan diketahui kekakuan struktur rangka batangnya.

Akibat pembebanan sentris pada puncak kuda-kuda sebagian komponen rangka memikul gaya tekan dan sebagian lagi memikul gaya tarik. Berdasarkan hasil pengujian batang tepi atas kuda-kuda mengalami gaya tekan yang semakin besar dari tepi hingga bagian puncak, sedangkan batang tepi bawah mengalami gaya tarik yang semakin besar menuju tengah struktur. Untuk batang diagonal mengalami gaya tarik, sebaliknya batang vertikal mengalami gaya tekan. Hasil eksperimental menunjukkan bahwa kuda-kuda dengan menggunakan batang nol yang menerima beban terpusat pada puncak struktur memiliki kekakuan pada masing-masing benda uji adalah benda uji 1 0,355 dengan beban 3,500 kN, benda uji 2 0,53 dengan beban 4,375, benda uji 3 0,823 dengan beban 6,125 kN, benda uji 4 0,836 dengan beban 6,562.

BAB I

PENDAHULUAN

Penggunaan baja bentukan dingin sebagai bahan rangka atap bangunan, terutama pada bangunan industri atau bangunan gedung menjadi pilihan yang sering digunakan. Penggunaan baja bentukan dingin (*cold Formed*) digunakan sebagai komponen rangka pendukung atap terutama pada bentang pendek 6-12m. Hal ini mengingat baja memiliki sifat-sifat yang lebih menguntungkan dari bahan yang lainnya. Keuntungan dari baja antara lain kekuatannya tinggi, keseragaman bahan, kemudahan dalam pembuatan, mudah di dapat dipasaran serta mudah dalam pemasangan dilapangan dan lebih ekonomis.

1.1 Latar Belakang

Struktur pendukung rangka atap banyak dibuat dari baja ringan bentukan dingin yang selama ini dianalisis sebagai rangka batang (*Truss*) dengan anggapan bahwa pertemuan batang pada joint atau titik buhul berprilaku sebagai sendi atau tidak mengekang momen padahal pada kenyataannya yang terjadi justru pengekangan momen pada joint atau titik buhul selalu ada. Tidak semua elemen rangka batang menahan beban aksial yang ada.

Berdasarkan konfigurasi rangka batang terdapat beberapa rangka batang yang memiliki elemen batang nol pada strukturnya, secara teoritis batang nol ini dapat dihilangkan namun hal ini berpengaruh terhadap panjang batang lain. Secara geometri/konfigurasi batang dengan ataupun tanpa batang nol merupakan rangka

yang stabil dimana secara umum setiap rangka merupakan susunan bentuk dasar segitiga mempunyai struktur yang stabil.

Hal ini sangat menarik untuk diteliti dimana terdapat perbedaan antara teori dan aplikasi dilapangan tentang keberadaan batang nol ini.

1.2 Rumusan Masalah

Pada analisis rangka batang (*truss*) tertentu terdapat elemen batang yang tidak memiliki beban yang disebut batang nol yaitu elemen batang dengan gaya dalam nol akibat dari beban luar yang terjadi. Batang nol ini tidak mempunyai pengaruh namun jika dihilangkan akan berpengaruh terhadap kelangsungan dan kekakuan batang lain. Sehingga pengaruh keberadaan batang nol terhadap kekakuan dari suatu struktur rangka batang perlu di kaji.

1.3 Tujuan Penelitian

Tujuan penelitian ini adalah :

1. Mendapatkan kurva hubungan beban deformasi dan momen kelengkungan struktur rangka kuda-kuda dengan atau tanpa batang nol bentuk howe dengan bentang dan sudut tetap.
2. Mendapatkan kapasitas lentur rangka kuda-kuda bentuk howe bentang dan sudut dengan jarak pengaku lateral tetap.
3. Mendapatkan dan membandingkan kekakuan rangka kuda-kuda bentuk howe bentang dan sudut tetap.

1.4 Manfaat Penelitian

Manfaat yang hendak dicapai pada penulisan Tugas Akhir adalah:

1. Pengembangan dari penelitian terdahulu yang menggunakan profil L dan profil bulat
2. Mengetahui secara teknis fungsi batang nol pada struktur pendukung atap.
3. Mendapatkan data perencanaan dan model rangka yang lebih akurat pada struktur pendukung atap.

1.5 Batasan Masalah

Pada penelitian ini mencari pengaruh batang nol terhadap kuda-kuda howe bentukan dingin dengan menggunakan batasan masalah sebagai berikut:

1. Struktur pendukung atap (kuda-kuda) baja ringan bentukan dingin sebanyak 4 model sampel yang menggunakan profil C ganda dengan ukuran 60 x 22 x 8 x 1,2 dan 70 x 22 x 8 x 1,2 mm pada batang tepi atas dan batang tepi bawah pada kuda-kuda bentuk howe yang dirangkai ganda dengan pengaku lateral.
2. Rangka atap baja ringan dibebani dengan beban statis terpusat pada puncak struktur.
3. Rangka atap baja ringan ditumpu dengan dukungan sendi-rol.
4. Pengamatan dilaboratorium terbatas pada beban dan lendutan
5. Panjang bentang 6 m dengan sudut kuda-kuda 20°.

BAB II

TINJAUAN PUSTAKA

2.1 Umum

Dalam suatu perencanaan struktur rangka batang, sambungan ujung batang/joint pada rangka sering diasumsikan sebagai keadaan yang ideal sendi maupun jepit sempurna. Hal ini sangat berbeda dengan keadaan sesungguhnya di lapangan, dimana sambungan pada joint dipakai sambungan las, sambungan baut maupun sambungan paku keling. Sifat dari sambungan tersebut tidak sama persis dengan keadaan ideal seperti sendi maupun jepit sempurna (*Padosbajayo, 1991*).

2.2 Rangka Batang

Suatu rangka (*truss*) adalah struktur kerangka yang terdiri dari rangkaian batang-batang (*profil*) yang dihubungkan satu sama lain dengan perantara titik-titik simpul yang berupa sendi tanpa gesekan dimana gaya-gaya luar bekerja pada titik-titik ini. (*Chu-Kia Wang, 1985*)

Batang-batang suatu kontruksi rangka utama dapat disusun dengan bermacam-macam cara. Namun jenis-jenis rangka yang pokok sering di jumpai diantaranya Pratt, Howe, Fink (*Hsieh, 1983*).

Sukaningrum dan pertiwi (1998) menyimpulkan bahwa terdapat perbedaan struktur pada rangka baja, yaitu untuk sambungan baut struktur berperilaku sebagai rangka batang (*Truss*) sedangkan pada las berperilaku sebagai portal (*Frame*).

Merupakan hal yang sangat penting bahwa struktur rangka batang hanya dibebani dengan beban-beban terpusat yang bekerja pada titik hubung agar batang-batang mengalami gaya tarik atau tekan. Batang tarik yang ujung-ujungnya disambung dengan pelat buhul, kekuatannya ditentukan berdasarkan dua kriteria yaitu kriteria pelelehan dan kriteria faktur.

2.2.1 Batang Nol

Batang nol adalah batang dengan gaya dalam yang bernilai nol akibat beban luar yang ada. Dalam perhitungan analisis, gaya batang bernilai nol ini akan diperoleh secara natural setelah mendapat hasil akhir (*Hariandja, 1996*).

Jika dua batang yang membentuk sendi persambungan topangan dan tidak ada reaksi eksternal atau reaksi penyangga yang diterapkan pada sendi, maka batang-batang harus merupakan batang-batang perletakan nol gaya. Dan jika tiga batang perletakan membentuk sebuah sendi topangan untuk dua dari batang perletakannya koliner, maka batang ketiga merupakan suatu batang perletakan nol asalkan tidak ada gaya eksternal atau reaksi perletakan yang diterapkan (*Hibbeler, 1997*).

2.3 Profil Bentukan Dingin

Ada dua macam bentuk profil baja berdasarkan pada cara pembuatanya yaitu *Hot Rolled Shapes* dan *Cold Formed*. *Hot Rolled Shapes* dibentuk dengan cara blok-blok baja yang panas diproses melalui rol-rol dalam pabrik. *Hot Rolled Shapes* ini mengandung tegangan residu (residual Stress), jadi sebelum batang

dibebani sudah ada residual stress yang berasal dari pabrik *Cold Formed Shaped* dibentuk dari pelat-pelat yang sudah jadi, menjadi profil baja yang dalam temperatur atmosfir (dalam keadaan dingin) tebal pelat yang dibentuk menjadi profil disini tebalnya kurang dari 3,16 inch. Profil seperti ini ringan dan sering disebut *Light Gage Cold Formed Steel. (oentoeng,1999)*

Struktur rangka tersusun dari profil Light Lipped Channel adalah salah satu struktur bentukan dingin yaitu komponen struktur yang terbuat dari lembaran pelat dengan ketebalan yang kurang dari 4,5 mm yang dibentuk dalam keadaan dingin dan digunakan untuk menahan beban aksial tekan. Seperti komponen berdinding tipis lainnya, rangka berdinding tipis memiliki rasio lebar terhadap tebal (b/t) yang besar (*Vazirani dan Ratwani, 1977*)

2.4 Lendutan dan Beban Aksial

Tarikan atau tekanan yang bekerja bersama-sama dengan lenturan menimbulkan masalah tekanan gabungan, dan jenis batang yang digunakan akan tergantung pada jenis tegangan yang dominan. Batang yang mengalami tekanan dan lenturan disebut balok-kolom (*Salmon dan Johnson, 1990*).

Deformasi pada suatu join pada rangka baja dipengaruhi oleh deformasi aksial batang-batang yang bertemu. Dalam hal ini deformasi aksial sangat perlu untuk diketahui tentang hukum hooke dimana mengemukakan deformasi aksial yang mengalami tarik berbanding lurus dengan panjang batang dan gaya yang bekerja, berbanding terbalik dengan luas penampang dan modulus elastisitas.

Rangka-rangka baja biasa adalah sebuah struktur yang terdiri dari batang-batang tersendiri yang saling berhubungan sehingga membentuk sederet segitiga. Sambungan-sambungannya dikeling atau terikat pasak-pasak yang dalam kedua hal tersebut, dianggap sebagai sendi-sendii licin. Dengan demikian, batang-batang hanya mengalami tarikan lurus atau tekanan lurus saja dan tidak mengalami tekukan karena ujung yang bersendi dan tidak adanya beban yang diterima kecuali pada sambungan-sambungan itu sendiri. Hal tersebut menunjukkan batang-batang tetap lurus (*Wang, 1991*).

Dalam desain batang masih perlu dilakukan pembatasan panjangnya supaya dapat mencegah suatu batang terlalu fleksibel baik selama pendirian maupun pada saat digunakan sehingga diperlukan suatu kriteria kekakuan (*Salmon dan Johnson, 1992*).

BAB III

LANDASAN TEORI

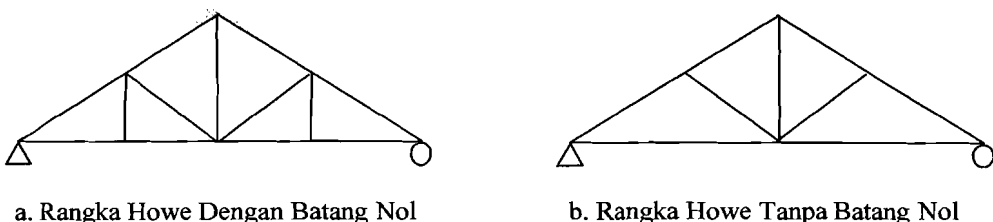
Suatu struktur bangunan yang menerima beban luar, baik itu beban pada batang atau beban pada titik buhul maka konstruksi tersebut akan mengalami deformasi. Pada rangka batang tertentu terdapat batang yang secara teoritis tidak mengalami deformasi secara analisis yang biasa disebut batang nol, yaitu batang dengan gaya dalam yang bernilai nol akibat beban luar yang ada. Walaupun demikian batang ini akan mempengaruhi rangka secara umum dikarenakan panjang batang yang dihilangkan batang nolnya akan bertambah panjang.

Pada rangka batang (*Truss*) diasumsikan yang bekerja hanyalah gaya aksial (gaya tarik atau gaya tekan) sedangkan joint berperilaku sebagai sendi. Sebagai dasar dalam penelitian berikut ini akan dijelaskan mengenai deformasi rangka batang. Beberapa hal tentang batang tarik, batang tekan serta hubungan momen kelengkungan dan juga hipotesis penelitian yang akan dilakukan.

3.1 Struktur Rangka Batang

Batang-batang suatu kontruksi rangka utama dapat disusun dengan bermacam-macam cara. Namun jenis-jenis rangka yang pokok sering di jumpai diantaranya Pratt, Howe, Fink (*Hsieh, 1983*).

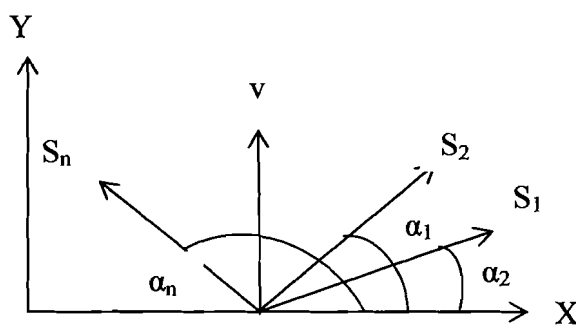
Pada penelitian ini menggunakan model sampel rangka Howe dengan atau tanpa batang nol.



Gambar 3.1 Rangka Howe dengan atau Tanpa batang nol.

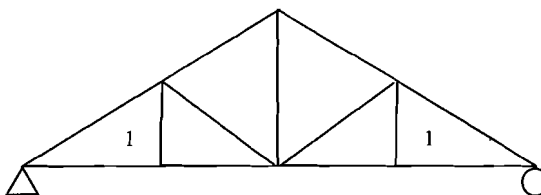
3.1.1 Konsep Batang Nol

Menurut Hariandja (1996), sangat mudah jika batang-batang nol langsung dapat diketahui pada saat pertama sebelum analisis dimulai, atau minimal sebagai kontrol terhadap perhitungan yang dilakukan dengan sementara menganggap semua batang aktif. Gambar 3.2 menjelaskan konsep batang nol yang diungkap diatas.



Gambar 3.2 Konsep batang nol

Keseimbangan dalam arah X dan arah Y

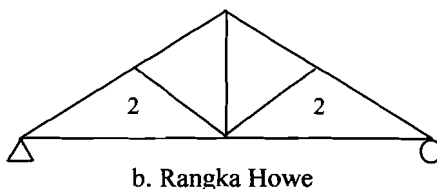


a. Rangka Howe

Ket: 1 = batang nol

Gambar 3.3 Rangka Howe dengan batang nol

Secara analisis batang nomor 1 pada Gambar 3.3 merupakan batang nol karena batang tersebut tidak menerima gaya luar, hal tersebut terjadi karena ada tiga batang yang membentuk segitiga dimana 2 batangnya segaris maka batang yang tegak lurus tersebut merupakan batang nol.



Gambar 3.4 Rangka Howe tanpa batang nol

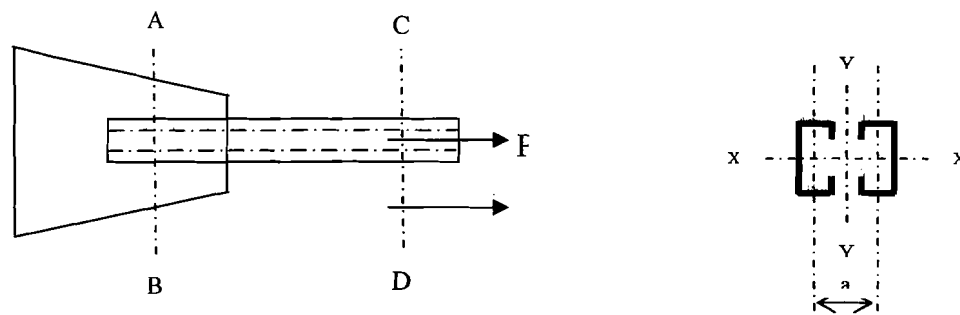
Pada Gambar 3.3 dan 3.4 menunjukkan bahwa dengan meniadakan batang nol maka panjang batang tepi bawah bertambah dan ini akan berpengaruh terhadap kekakuan rangka batang. Pada Gambar 3.4 batang yang bertambah panjang adalah batang tarik tepi bawah. Batang tarik yang terlalu panjang akan menyebabkan lendutan akibat beban sendiri maupun beban luar hal ini akan mempengaruhi kekakuan rangka itu sendiri.

Pengamatan dari sisi geometri tentang rangka-rangka batang diatas merupakan suatu rangka batang yang stabil dikarenakan rangka batang diatas tersusun dari elemen-elemen linier yang membentuk segitiga atau kombinasi

segitiga, sehingga menjadi bentuk rangka yang tidak dapat berubah bentuknya apabila diberi beban eksternal tanpa adanya perubahan bentuk pada satu atau lebih pada batangnya.

3.1.2 Batang Tarik

Perencanaan batang tarik merupakan salah satu masalah teknik struktur yang paling sederhana, karena stabilitas bukan masalah yang utama namun masih perlu diadakan suatu pembatasan panjang bentang agar batang tidak terlalu fleksibel baik saat pendirian maupun pada saat digunakan. Perencanaan



Gambar 3.5 Keruntuhan pada batang tarik.

Keruntuhan batang tarik dapat terjadi pada dua tempat yaitu:

1. keruntuhan pada daerah sambungan dengan luas netto terkecil (kerusakan Fraktur) seperti terlihat pada potongan A-B Gambar 3.5.
2. keruntuhan karena peleahan pada penampang brutto yang jauh dari sambungan (kriteria perleahan) seperti terlihat pada potongan C-D Gambar 3.5.

Kekuatan dari batang tarik yang mempunyai lubang untuk alat sambung atau retakan pada penampang bersih mempunyai rumus:

$$T_u = F_u \cdot A_e \dots \quad (3.3)$$

Sedangkan dari batang tarik yang tidak ada lubang untuk alat sambungan dan hanya diikatkan oleh flens atau perlelehan pada penampang bruto.

Secara khusus untuk batng tarik memberikan persyaratan keamanan struktur sebagai berikut:

Dengan :

ϕ = faktor resistensi yang berkaitan dengan kekuatan tarik

T_n = kekuatan nominal batang tarik

T_u = beban terfaktor pada beban tarik

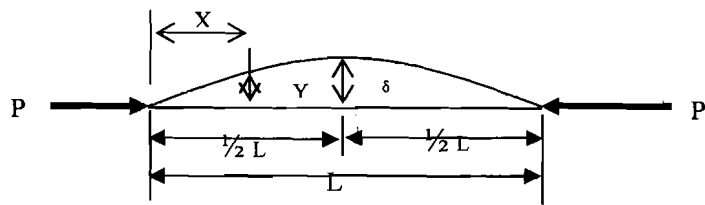
Faktor resistensi sebesar 0,9 untuk keadaan batas pelelehan dan 0,75 untuk keadaan batas retakan sehingga pers 3.3 dan 3.4 menjadi:

Dan

Dari kedua persamaan tersebut diambil nilai yang terkecil.

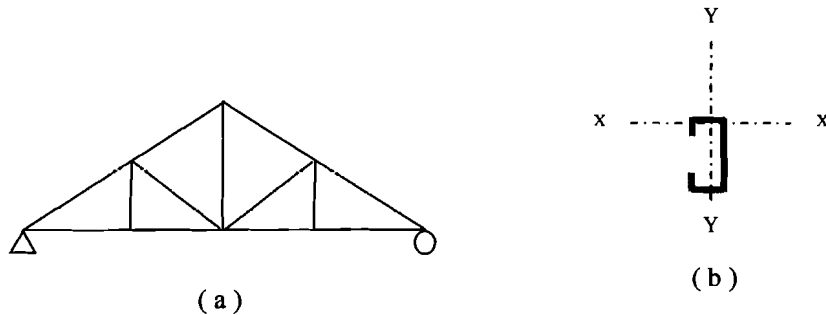
3.1.3 Batang Tekan

Teori tekukan kolom yang dikemukakan Leonhard Euler pada tahun 1744 menyatakan dimana suatu batang yang semula mendapat pembebanan konsentrik dengan semua serat tetap dalam keadaan elastik sampai terjadi tekukan kolom tersusun, akan sedikit bengkok seperti dalam gambar 3.6 (*Salmon dan Johnson, 1992*)



Gambar 3.6 Batang lurus diberi gaya tekan aksial

3.1.4 Batang Tekan Profil Tunggal



Gambar 3.7 (a) Struktur rangka atap dengan elemen batang tunggal

(b) Batang light Channel tunggal

Sehingga pers (3.9) menjadi

Pada $y = \delta$, $\frac{dy}{dx} = 0$ sehingga,

Pada $x = 0$, lenturan (y) = 0

Pada $x = L$, pelenturan (y) = 0 pers. (3.12) menjadi

Nilai P terkecil atau disebut beban kritis (P_{kr}) akan terjadi bila $n = 1$ sehingga:

Pers. (3.14) dikenal dengan *pers. Euler*

Dengan:

P_{kr} = beban Kritis; E = modulus elastis; I = inersia; L = Panjang batang

Jika pers. (3.14) dibagi luas (A) maka

Karena $\frac{A}{I} = \frac{1}{j^2}$ dan panjang batang (L) diganti panjang tekuk (Lk), maka

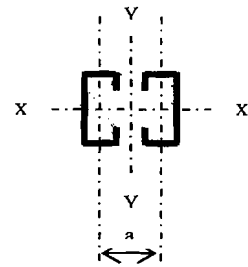
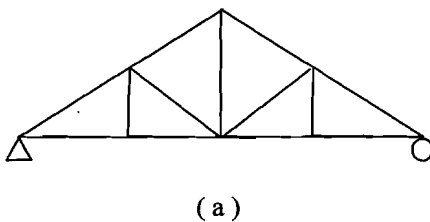
Dengan:

σ_{kr} = tegangan kritis

i = jari-jari kelembaman

3.1.5 Kuat Tekan Batang Tersusun

Struktur pendukung atap pada gambar 3.8a tersusun dari batang ganda profil light channel seperti pada gambar 3.8b

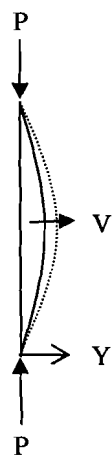


Gambar 3.8 (a) Struktur rangka atap dengan elemen batang tersusun

(b) Batang light Channel tersusun

Bila pers. (3.16) digunakan untuk menghitung beban kritis kolom tersusun hasil yang diperoleh kurang teliti hal ini karena persamaan pelenturan yang diturunkan mengabaikan pengaruh gaya geser (lintang). Jika gaya aksial menimbulkan lentur pada batang maka di dalam penampang batang tersebut akan timbul gaya geser yang menyebabkan pelenturan bertambah dan berpengaruh terhadap beban kritis.

Padosbajayo (1994) dalam menentukan kuat desak batang tersusun bahwa dengan memperhitungkan gaya geser pada pelat yang diperoleh beban kritis (P_{kr}) sebagai berikut:



Gambar 3.9 Pelenturan akibat gaya tekan

Pelenturan akibat gaya tekan ditunjukan dengan garis lengkung penuh sedangkan pelenturan akibat gaya lintang dinyatakan dengan garis putus-putus. Ditinjau penampang batang yang letaknya x dari ujung bawah. Andaikan pelenturan ditempat tersebut adalah y . Pelenturan akibat beban (P). Dinyatakan dengan persamaan (3.10):

$$EI \frac{d^2y}{dx^2} = -P.y \text{ atau } \frac{d^2y}{dx^2} = -\frac{P}{EI}.y$$

Gaya geser (V) yang timbul pada penampang batang adalah:

Kemiringan (slop) yang terjadi akibat geser adalah

Dengan memperhitungkan faktor bentuk (β) untuk mengoreksi karena adanya tegangan tak seragam disepanjang berbagai bentuk penampang lintang.

$$\theta = \frac{\beta \cdot V}{A_s G} = \frac{\beta}{A_s G} P \frac{dy}{dx} \dots \quad (3.19)$$

Dengan:

G = modulus geser

μ = nilai banding poison (*poison ratio*)

pelenturan gaya lintang dinyatakan dengan persamaan:

yang memberikan:

$$\frac{d^2y}{dx^2} + \frac{P}{EI} \left[\frac{1}{1 - (P\beta/AG)} \right] y = 0 \quad \dots \dots \dots \quad (3.23)$$

penyelesaian persamaan (.....) adalah

Kemiringan (slop) yang terjadi akibat geser adalah

Dengan memperhitungkan faktor bentuk (β) untuk mengoreksi karena adanya tegangan tak seragam disepanjang berbagai bentuk penampang lintang.

Dengan:

G = modulus geser

μ = nilai banding poison (*poison ratio*)

pelenturan gaya lintang dinyatakan dengan persamaan:

yang memberikan:

$$\frac{d^2y}{dx^2} + \frac{P}{EI} \left[\frac{1}{1 - (P\beta/AG)} \right] y = 0 \quad \dots \dots \dots \quad (3.23)$$

penyelesaian persamaan (.....) adalah

Dari persamaan diatas dapat disimpulkan bahwa pada batang tersusun yang mempunyai luas dan inersia yang sama dengan batang tunggal, kuat tekan kritis batang tersusun lebih kecil dibandingkan dengan batang tunggal. Hal ini dipengaruhi oleh:

G = modulus Geser = 785000 kg/cm²

E = modulus elasti $2,1 \cdot 10^6$ kg/cm 2

I = momen inersia

A = luas penampang batang

β = faktor bentuk

3.2 Hubungan Antara Tekuk Lokal dan Tekuk Keseluruhan

Tekuk lokal dan tekuk lentur dapat terjadi secara bersamaan apabila tegangan kritis batang sama dengan tegangan kritis rangka kuda-kuda keseluruhan, seperti pada persamaan

F_{cr} batang = F_{cr} keseluruhan

$$\left(\frac{Ka}{r}\right)^2 = \frac{12(1-\mu^2)(b/t)^2}{k} \dots \quad (3.27)$$

dari persamaan diatas diperoleh nilai a , apabila $a_{\text{paku}} > a_{\text{rumus}}$ maka mengalami tekuk menyeluruh, jika $a_{\text{paku}} < a_{\text{rumus}}$ maka mengalami tekuk lokal.

Dengan asumsi tumpuan pada batang adalah sendi-sendi maka $K = 1$ sehingga

$$\left(\frac{L}{r}\right) = \sqrt{\frac{\pi^2 \cdot E}{F_{crplat}}} \dots \dots \dots \quad (3.29)$$

dengan memasukkan rumus F_{cr} ke persamaan (3.) maka:

$$\left(\frac{a}{r}\right) = \sqrt{\frac{\pi^2 \cdot E}{\frac{k\pi^2 \cdot E}{12(1 - \mu^2) \left(\frac{b}{t}\right)^2}}} \quad \dots \dots \dots \quad (3.30)$$

$$\left(\frac{a}{r}\right) = \left(\frac{b}{t}\right) \sqrt{\frac{12(1-\mu^2)}{k}} \dots \dots \dots (3.31)$$

dengan μ baju 0,3 sehingga

Dari persamaan tersebut diatas memperlihatkan bahwa nilai kekakuan suatu batang tekan selalu berbanding terbalik dengan kuadrat panjang batang (a). Sehingga pada profil baja yang sama semakin panjang batang tersebut maka nilai kekakuan dari batang tersebut akan semakin kecil.

3.3 Tegangan Kritis Dengan Metode AISC

American institute of Steel Contructions (AISC) mengemukakan hitungan tegangan kritis yang mempertimbangkan tekuk lokal. Pengaruh tekuk lokal yang terjadi sebelum kekuatan batang tekan keseluruhan tercapai di perhitungkan dengan mengalikan tegangan maksimum yang dapat dicapai dengan faktor bentuk Q. Faktor bentuk dipengaruhi oleh bentuk penampang, dimana

Faktor bentuk Q_s diperhitungkan apabila,

Besar Q_s menurut AISC adalah,

$$Q_s = 1,340 - 0,01174 \sqrt{\frac{b}{t}} \sqrt{F_y} \quad \dots \dots \dots \quad (3.36)$$

Apabila semua elemen penampang diperkuat maka nilai $Q_s = 1,0$

Faktor bentuk untuk elemen penampang yang diperkuat adalah Q_a . Faktor Q_a diperhitungkan apabila,

Besar Q_a menurut AISC adalah

Luas efektif diambil dari lebar efektif, besar lebar efektif menurut penelitian AISC yang dilakukan pada baja ringan adalah,

dengan f adalah tegangan yang bekerja pada elemen.

Besar tegangan kritis menurut AISC dapat ditentukan dengan menggunakan nilai persamaan tegangan kritis seperti pada persamaan dibawah ini

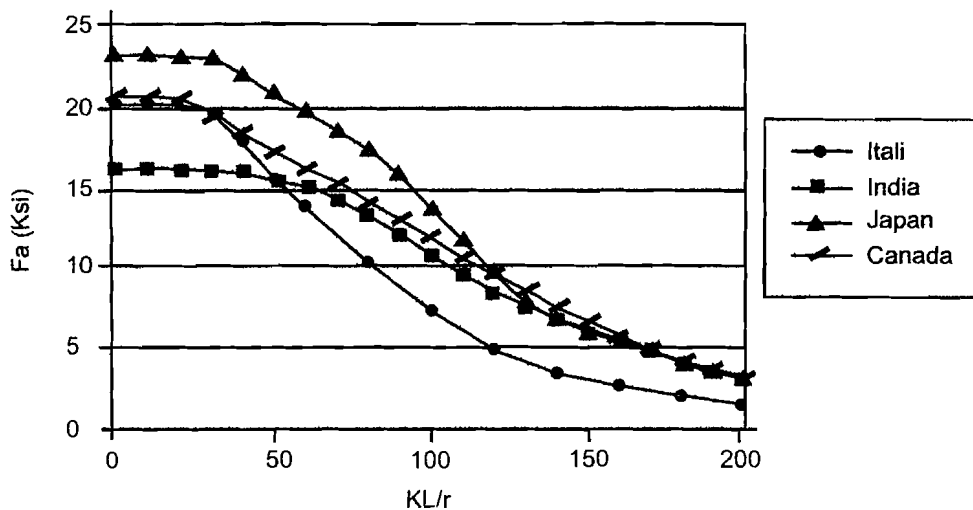
apabila,

maka

Apabila KL/r lebih dari Cc maka tegangan kritis yang terjadi adalah,

Penelitian hubungan antara tegangan yang terjadi dengan kelangsungan (KL/r) yang pernah dilakukan dibeberapa negara memiliki bentuk grafik yang hampir sama. Penurunan tegangan kritis relatif kecil pada KL/r kecil ($0 \text{ s/d } \pm 40$), penurunan tegangan kritis yang terjadi seiring dengan dengan penambahan KL/r.

Untuk $KL/r = \pm 40$ sampai dengan 160, dan kembali relatif datar untuk KL/r lebih dari 160.



Gambar 3.10 Grafik Hubungan KL/r Dengan F_a di beberapa negara
(Lambert Tall, 1974)

3.4 Hubungan Beban-Lendutan

Beban transversal pada kuda-kuda menyebabkan timbulnya lentur, maka mengalami lendutan. Balok dengan dukungan sederhana yang diberi beban memiliki satu titik yang momennya maksimum. Makin besar beban yang diberikan, makin besar pula momennya. Jika beban besar, material akan terdeformasi semakin cepat dan defleksi juga semakin besar (*Lynn S. Beedle, 1958*).

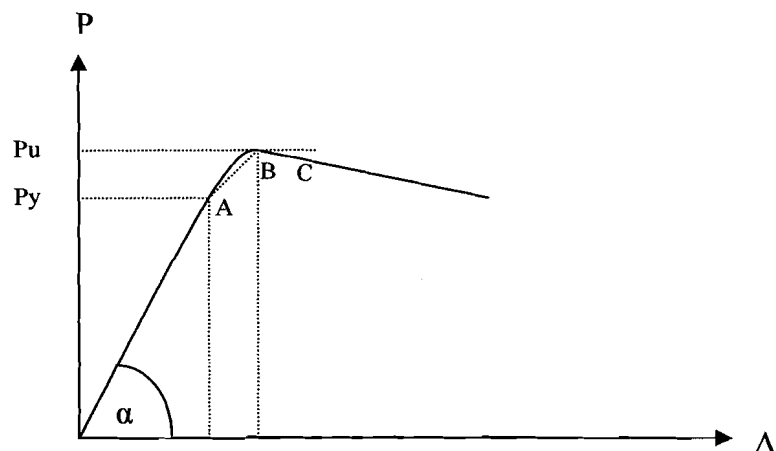
dengan : Δ = Defleksi

P = Beban

E = Modulus Elastis

L = Panjang Bentang

I = Momen Inersia penampang



Gambar 3.11 Grafik Hubungan Beban (P) dan Lendutan (Δ)

Besarnya lendutan sesuai dengan beban yang bekerja pada struktur, sehingga kemiringan dari lengkung yang dihasilkan disebut sebagai kekakuan.

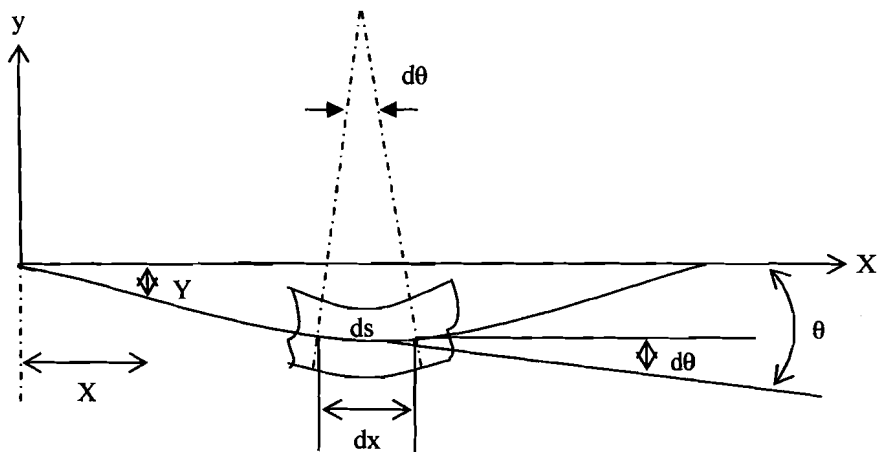
Menurut penelitian yang dilakukan oleh *American Society For Testing and Material (ASTM)* yang ditulis oleh *Timoshenko, 1987*, bahwa kekakuan rangka hingga beban patah dinyatakan oleh garis OA pada diagram beban-lendutan dari gambar 3.4 atau disebut juga dengan daerah elastis. Dengan penambahan beban pada rangka maka rangka akan menjadi plastis sebagian dimana ditunjukkan pada garis AB pada akhirnya rangka menjadi plastis sempurna dimana ditunjukkan pada garis BC, setelah itu rangka atau struktur tidak mampu lagi memikul tambahan beban.

3.5 Hubungan Momen dengan Kelengkungan

Menurut **Popov (1995)**, teori difleksi balok dipengaruhi oleh geometri atau kinematika dari sebuah elemen balok. Kinematika dasar yang menghipotesa irisan-irisan yang berbentuk bidang datar akan tetap merupakan bidang datar selama terdeformasi.

Pandangan samping dari permukaan netral balok yang melendut disebut kurva elastis balok (Gambar 3.10). kurva ini diperlihatkan secara pembesaran, seperti berikut ini.

Dan



Gambar 3.12 Kurva Elastis (*Ferdinand-Pytel, 1984*)

Apabila kita meninjau variasi θ dalam panjang diferensial ds yang disebabkan oleh lenturan pada balok secara nyata bahwa:

$$ds = \rho d\theta \dots \quad (3.48)$$

Dengan ρ jari-jari kurva sepanjang ds , sehingga dari persamaan (3.47) dan pers.

(3.48) diperoleh

Hubungan dasar antara kurva elastis dan regangan linier, didapat:

Karena sifat beban tidak diperhitungkan, maka hubungan ini digunakan untuk masalah-masalah elastis maupun tidak.

Sehingga

Dalam koordinat kurva kartessian suatu garis didefinisikan (*Ferdinand-Pytel, 1984*)

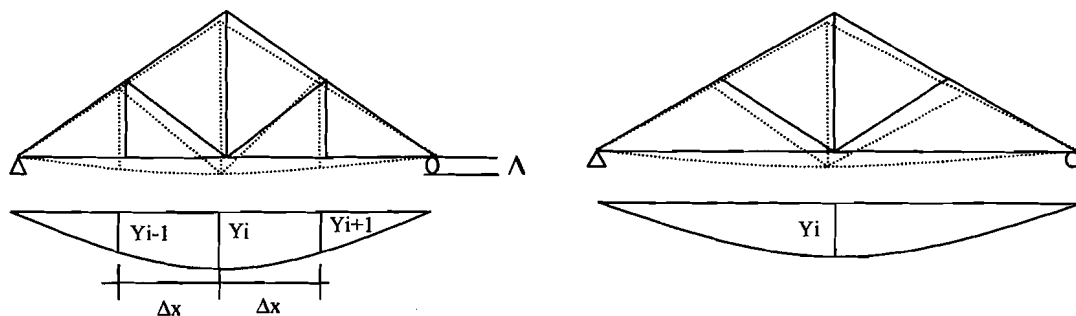
$$\frac{\frac{d^2y}{dx^2}}{\left[1 + \left(\frac{dy}{dx}\right)^2\right]^{\frac{2}{3}}} = \frac{1}{\rho} \quad \dots \dots \dots \quad (3.53)$$

Karena defleksi yang diterima oleh sebagian besar struktur sangat kecil maka kemiringan $\frac{dy}{dx}$ dari kurva adalah sangat kecil

Sehingga persamaan diatas dapat disederhanakan menjadi

$$\frac{1}{\rho} = \frac{d^2y}{dx^2} = \theta = \frac{M}{EI} \dots\dots\dots\dots\dots (3.55)$$

Dari pengujian lentur didapat defleksi pada titik diskrit yaitu y_{i-1} , y_i dan y_{i+1} (Gambar 3.13). Pendekatan kemiringan adalah sebagai berikut :



Gambar 3.13 Momen Kelengkungan

Dari pengujian kuat lentur didapat defleksi pada titik – titik distrik. Pendekatan kemiringan menggunakan metode *Central Difference* (.....).

$$\frac{dy}{dx} = \frac{y_{i+1} - y_{i-1}}{2\Delta x} \dots\dots\dots\dots\dots (3.56)$$

turunan kedua persamaan (3.52) adalah:

$$\frac{d^2y}{dx^2} = \frac{(2\Delta x)\left(\frac{dy}{dx}\right)(y_{i+1} - y_{i-1}) - (y_{i+1} - y_{i-1})\left(\frac{dy}{dx}\right)(2\Delta x)}{(2\Delta x)^2} \dots\dots\dots\dots\dots (3.57)$$

Karena $(2\Delta x)$ adalah konstan maka:

$$\frac{d}{dx}(2\Delta x) = 0 \dots\dots\dots\dots\dots (3.58)$$

sehingga persamaan (3.58) menjadi

$$\frac{d^2y}{dx^2} = \frac{(2\Delta x)\left(\frac{dy}{dx}\right)(y_{i+1} - y_{i-1})}{(2\Delta x)^2} \dots \dots \dots (3.59)$$

kemudian persamaan (3.59) disederhanakan menjadi

$$\frac{d^2y}{dx^2} = \frac{y_{i+2} - 2y_i + y_{i-2}}{(\Delta x)^2} \dots \dots \dots (3.60)$$

$$\frac{d^2y}{dx^2} = \phi = \frac{M}{EI} \dots \dots \dots (3.61)$$

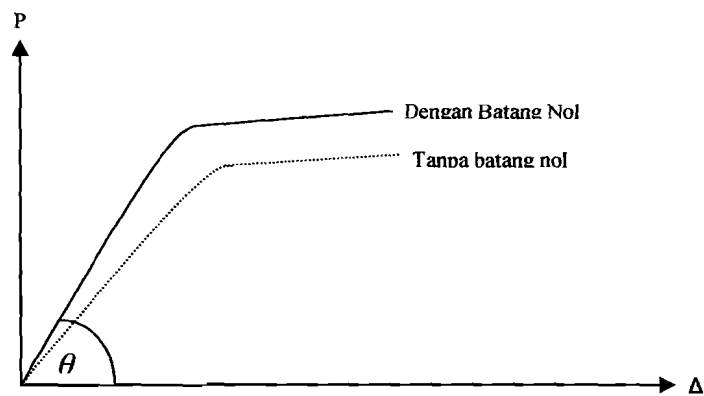
$$M = EI \cdot \phi \dots \dots \dots (3.62)$$

$$M = EI \frac{d^2y}{dx^2} \dots \dots \dots (3.63)$$

3.6 Hipotesis

Berdasarkan latar belakang, tinjauan pustaka, landasan teori diatas bahwa apabila suatu struktur rangka atap baja diberi beban sentris (P) maka akan terjadi lendutan (Δ) yang besarnya dipengaruhi kekuatan bahan dan kekuatan sambungan.

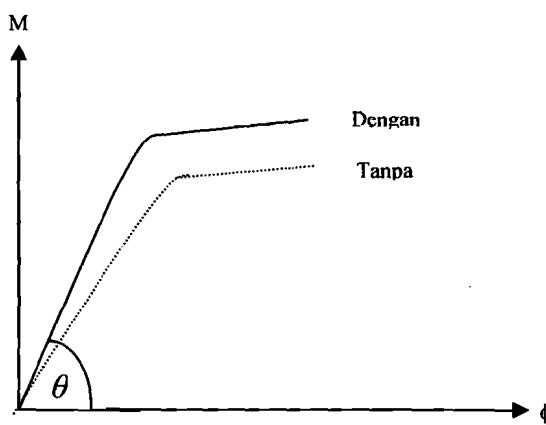
Pada rangka batang yang tidak menggunakan rangka batang nol maka kekakuan rangka batang akan menjadi kecil atau berkurang bila dibandingkan dengan rangka batang yang menggunakan batang nol. Gambar 3.15 menunjukkan hubungan antara beban (P) dan lendutan (Δ) yang terjadi.



Gambar 3.15 Hubungan Beban (P) Lendutan (Δ)

$$\operatorname{tg} \theta = k = \frac{P}{\Delta} \dots\dots\dots\dots\dots\dots\dots\dots (3.64)$$

Sedangkan pada Gambar 3.16 menunjukkan hubungan antara momen dan kelengkungan yang terjadi pada rangka batang.



Gambar 3.15 dan 3.16 Terlihat bahwa semakin besar sudut θ maka kekakuan yang terjadi semakin besar.

BAB IV

METODE PENELITIAN

4.1 Tinjauan Umum

Metode penelitian merupakan suatu sistem yang digunakan dalam pelaksanaan sebuah penelitian untuk mendapatkan hasil akhir atau jawaban permasalahan yang ditinjau. Penelitian yang dilakukan disini merupakan penelitian laboratorium atas model struktur rangka kuda-kuda sesuai yang disebutkan dalam batasan masalah.

4.2 Persiapan Bahan dan Alat

Sebelum melaksanakan penelitian perlu diadakan persiapan bahan dan alat yang digunakan sebagai sarana mencapai maksud dan tujuan penelitian.

4.2.1 Bahan Penelitian

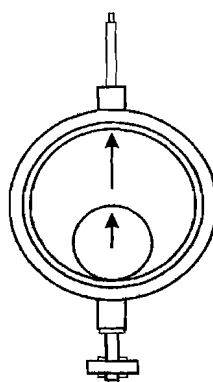
Bahan yang digunakan dalam pembuatan rangka kuda – kuda adalah profil baja *Lip Channel* dengan ukuran $60 \times 22 \times 8 \times 1,2$ mm dan $70 \times 22 \times 8 \times 1,2$ mm

4.2.2 Peralatan Penelitian

Peralatan – peralatan yang dipergunakan dalam penelitian ini adalah:

a. Dial gauge

Dial gauge adalah alat yang digunakan untuk mengukur besarnya lendutan yang terjadi dengan kapasitas lendutan maksimum 50 mm dan ketelitian pembacaan dial 0,01 mm, digunakan 3 buah *dial gauge* dalam pengujian ini.



Gambar 4.1 Dial Gauge

b. Jangka sorong

Alat yang digunakan untuk mengukur dimensi kuda-kuda benda uji

c. Dukungan sendi dan rol.

Untuk membuat model rangka atap baja sederhana sesuai dengan dilapangan maka pada dukungan dipasang dudukan sendi dan rol.

d. *Loading Frame*

Untuk menempatkan benda uji pada penelitian ini. *Loading frame* dari bahan baja profil WF 450 x 200 x 9 x 14 mm. Bentuk dasar *loading frame* berupa portal segi empat yang berdiri diatas lantai beton (*rigid floor*) dengan perantara pelat dasar dari besi setebal 14 mm agar *loading frame* tetap stabil, plat dasar dibaut kelantai beton dan kedua kolomnya dihubungkan oleh balok 450 x 200 x 9 x 14 mm. Posisi balok portal dapat diatur untuk menyesuaikan dengan bentuk dan ukuran model yang akan diuji dengan cara melepas sambungan baut.

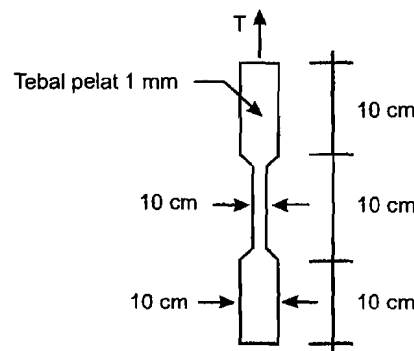
e. *Hidraulic jack*

Alat ini dipakai untuk memberikan pembebahan pada pengujian lentur rangka atap baja skala penuh. Dalam penelitian ini digunakan *hidraulic jack* dengan kapasitas maksimum yang dimiliki adalah 30 ton dan ketelitian pembacaan 0,25 ton.

4.3 Pembuatan Benda Uji Bahan.

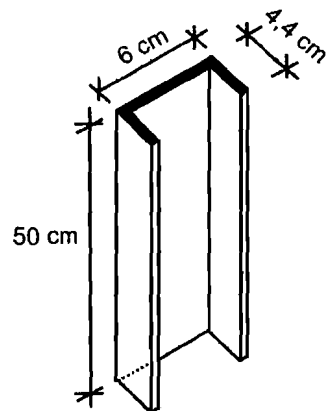
Benda uji yang akan digunakan dalam penelitian ini dibuat terlebih dahulu kemudian diuji di laboratorium, benda uji tersebut berupa:

- a. benda uji kuat tarik baja yang diambil dari profil



Gambar 4.2 Benda Uji Kuat Tarik Baja

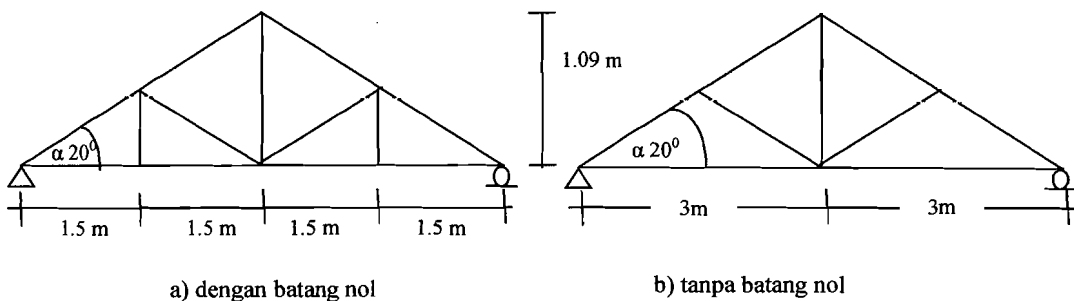
- b. benda uji kuat tekan yang diambil dari profil



Gambar 4.3 Benda uji tekan Profil Lipped Channel

4.4. Pembuatan Model Uji Rangka.

Sampel rangka kuda-kuda sebanyak 4 buah, terdiri dari 2 tipe rangka kuda – kuda Howe : dengan batang nol dan tanpa batang nol. Masing – masing tipe kuda-kuda menggunakan 2 variasi profil baja Lip Channel dengan ukuran 60 x 22 x 8 x 1,2 dan 70 x 22 x 8 x 1,2 mm. Batang atas dan bawah menggunakan profil ganda, sedangkan batang vertikal dan diagonal dengan profil tunggal.



Gambar 4.4 Tipe dan dimensi benda uji rangka kuda-kuda

4.5 Pengujian Sampel

4.5.1 Pengujian Kuat Tarik Bahan

Pengujian kuat tarik baja ini dilakukan di laboratorium. Data yang diambil pada pengujian ini adalah beban leleh, beban maksimum dan beban patah. Dalam pengujian ini baja yang di uji sebanyak 6 bh.

4.5.2 Pengujian Kuat Tekan Bahan

Pengujian kuat tekan baja ini dilakukan di laboratorium. Data yang diambil dalam pengujian ini adalah beban maksimum.

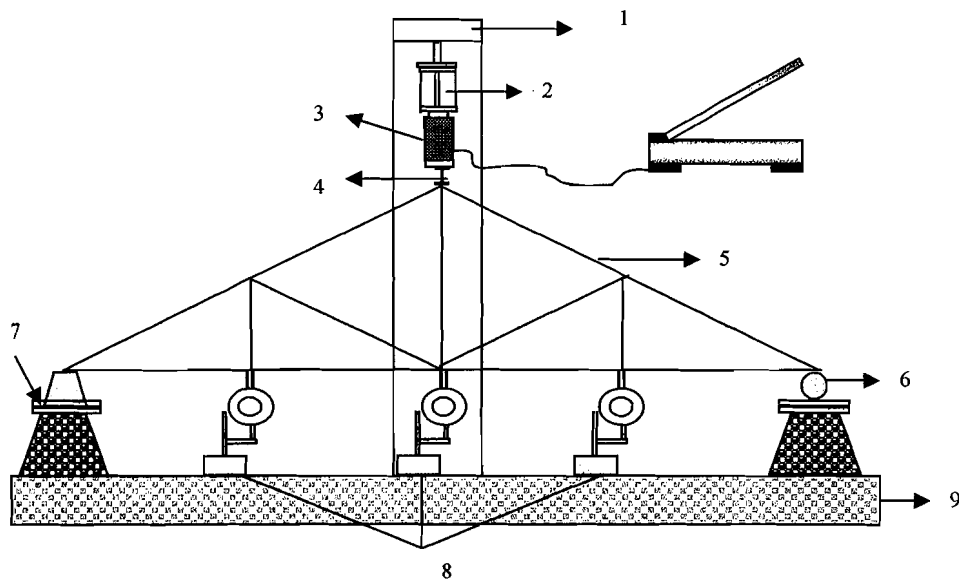
4.4.3 Pengujian Kuat Lentur Rangka

Pengujian ini juga dilakukan di laboratorium. Adapun tahapan-tahapan yang harus dilakukan adalah:

1. Memasang dukungan pada setiap benda ujung-ujung kuda-kuda tersebut.

Dalam hal ini dukungan sendi-rol

2. Kuda-kuda diletakkan diatas dukungan
3. Pengujian benda uji siap dilakukan. Pembebanan dilakukan secara manual dan bertahap sampai maksimum. Pengujian struktur baja ringan dengan beban aksial yang dinaikkan bertahap dari nol sampai terjadi kerusakan dengan penambahan beban 0,875 kN, kemudian beban ditingkatkan berdasarkan kondisi sampel, hingga terjadi penurunan untuk mengetahui defleksi yang terjadi dari *dial gauge* pada benda uji.



Keterangan :

| | | |
|---------------------------|---------------------------|------------------------|
| 1 = <i>Loading Frame</i> | 5 = Benda uji rangka baja | 9 = <i>Rigid Floor</i> |
| 2 = Penumpu beban | 6 = Tumpuan rol | |
| 3 = <i>Hidraulic jack</i> | 7 = Tumpuan sendi | |
| 4 = Perata beban | 8 = <i>Dial gauge</i> | |

Gambar 4.5 Setting – up pengujian rangka kuda-kuda

BAB V

HASIL PENELITIAN DAN PEMBAHASAN

Kekakuan suatu rangka batang diketahui berdasarkan uji lentur yang dilakukan di Laboratorium Mekanika Rekayasa, Fakultas Teknik Sipil dan Perencanaan, Universitas Islam Indonesia.

Uji lentur dilakukan dengan memberikan beban pada puncak struktur secara bertahap dengan kenaikan beban sebesar 0,875 kN. Setiap kenaikan beban dilakukan pencatatan lendutan pada tiga titik yang telah ditentukan guna mengetahui kekuatan dari struktur rangka batang. Uji pendahuluan yang meliputi uji tarik dan uji tekan dari profil yang digunakan sebagai elemen struktur kuda-kuda. Hasil penelitian yang disertai pembahasannya akan disajikan sebagaimana berikut.

5.1 Hasil Pegujian Kuat Tarik Baja

Benda uji kuat tarik baja menggunakan profil *lipped channal* 60x22x8 tebal 1,2mm dan 70x22x8 tebal 1,2mm yang dibentuk sesuai dengan bentukan benda uji sebanyak 3 benda uji dengan profil yang sama. Pelaksanaan pengujian menggunakan alat *Universal Testing Machine (UTM)* Merk Shimatzu Type UMH-30 yang dilakukan di Laboratorium Bahan Konstruksi Teknik, Fakultas Teknik Sipil dan Perencanaan, Universitas Islam Indonesia. Hasil Pengujian diperoleh data beban leleh dan beban maksimum dari benda uji. Dan hasil penghitungan tegangan leleh dan tegangan tarik benda uji seperti Tabel 5.1 dan Tabel 5.2.

Tabel 5.1 Hasil Uji Kuat Tarik Baja channel 60 x 22 x 8 x 1,2

| No | Nilai Hasil Uji | Benda Uji 1 | Benda Uji 2 | Benda Uji 3 | Rata-rata |
|----|--------------------------------|-------------|-------------|-------------|-----------|
| 1 | Beban leleh (Kg) | 240 | 287,5 | 227,5 | 251,667 |
| 2 | Beban maksimum (Kg) | 385 | 385 | 360 | 376,667 |
| 3 | Tegangan leleh (fy) (Mpa) | 100,000 | 118,899 | 92,933 | 103,944 |
| 4 | Tegangan maksimum (Fu) (Mpa) | 160,417 | 157,155 | 147,059 | 154,877 |

Tabel 5.2 Hasil Uji Kuat Tarik Baja channel 70 x 22 x 8 x 1,2

| No | Nilai Hasil Uji | Benda Uji 1 | Benda Uji 2 | Benda Uji 3 | Rata-rata |
|----|--------------------------------|-------------|-------------|-------------|-----------|
| 1 | Beban leleh (Kg) | 252,5 | 296 | 235,5 | 341,667 |
| 2 | Beban maksimum (Kg) | 387,5 | 400 | 377,5 | 388,333 |
| 3 | Tegangan leleh (fy) (Mpa) | 105,208 | 123,333 | 98,125 | 108,889 |
| 4 | Tegangan maksimum (Fu) (Mpa) | 161,458 | 166,667 | 157,292 | 161,806 |

5.2 Hasil Pengujian Kuat Tekan Baja

Benda kuat tekan baja dari profil *lipped channal* 60 x 22 x 8 tebal 1,2mm dan 70 x 22 x 10 x 1,2mm sebanyak 3 benda uji dengan profil yang sama. Pelaksanaan pengujian menggunakan alat *Universal Testing Machine (UTM)* Merk *Shimatzu Type UMH-30* yang dilakukan di Laboratorium Bahan Konstruksi Teknik, Fakultas Teknik Sipil dan Perencanaan, Universitas Islam Indonesia. Hasil pengujian didapat nilai beban maksimum. Dan hasil penghitungan kuat desak benda uji seperti pada Tabel 5.3 dan Tabel 5.4.

Tabel 5.3 Hasil uji kuat tekan profil $60 \times 22 \times 8 \times 1,2$

| No | Nilai Hasil Uji | Benda Uji 1 | Benda Uji 2 | Benda Uji 3 |
|----|------------------------------|-------------|-------------|-------------|
| 1 | Panjang benda uji (cm) | 50 | 50 | 50 |
| 2 | Beban maksimum (Kg) | 1160 | 1335 | 1390 |
| 3 | F_{cr} (Mpa) | 80,556 | 92,708 | 96,528 |
| 5 | F_{cr} rata - rata (Mpa) | | 89,931 | |

Tabel 5.4 Hasil uji kuat tekan profil $70 \times 22 \times 8 \times 1,2$

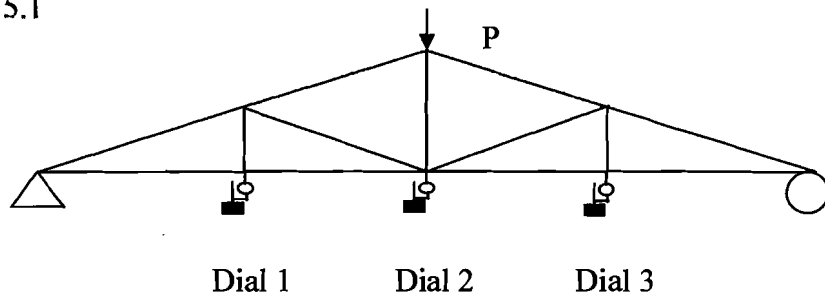
| No | Nilai Hasil Uji | Benda Uji 1 | Benda Uji 2 | Benda Uji 3 |
|----|------------------------------|-------------|-------------|-------------|
| 1 | Panjang benda uji (cm) | 50 | 50 | 50 |
| 2 | Beban maksimum (Kg) | 1320 | 1315 | 1465 |
| 3 | F_{cr} (Mpa) | 84,615 | 84,295 | 93,91 |
| 5 | F_{cr} rata - rata (Mpa) | | 87,607 | |

5.3 Hubungan Beban – Lendutan Uji Lentur Kuda-kuda

5.3.1 Kurva Beban – Lendutan Hasil Pengujian

Pelaksanaan uji lentur dari empat benda uji dilakukan dengan pemberian beban pada puncak struktur dengan kenakian beban sebesar 0,875 KN hingga benda uji mengalami kerusakan. Pencatatan lendutan / penurunan dilakukan pada 3 titik yang telah ditentukan setiap kenaikan beban. Seperti yang tergambar pada

Gambar 5.1



Gambar 5.1 Penempatan Dial pada Rangka Kuda-kuda

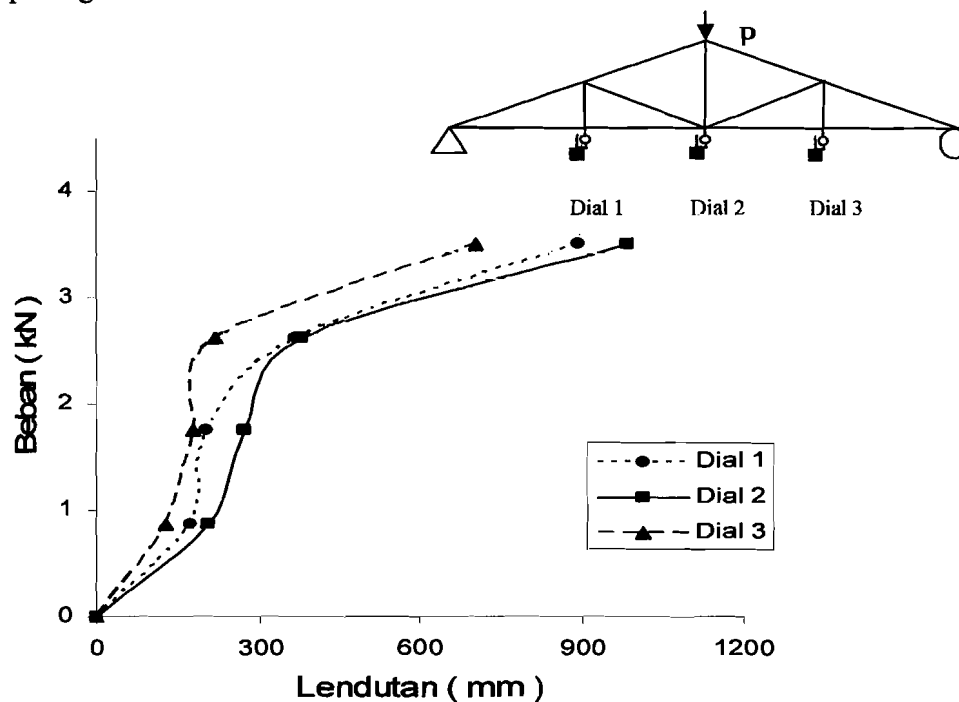
a. Benda Uji 1 (tanpa batang nol)

Merupakan Rangka Kuda – kuda Howe tanpa batang nol dengan Profil *Lipped Channal* 60 x 22 x 10 x 1,2 mm. Data-data berupa hasil pembacaan dial disajikan pada Tabel 5.5 dan untuk lebih memperjelas disajikan grafik hubungan beban – lendutan.

Tabel 5.5 Hubungan beban dan lendutan benda uji 1

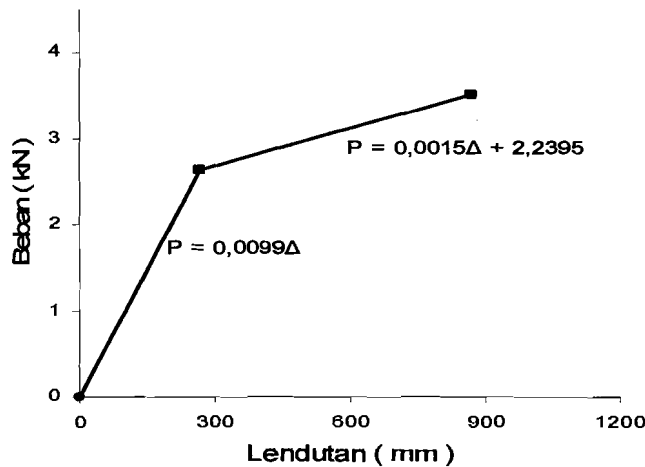
| Beban (kN) | Dial 1 (mm) (*10^-2) | Dial 2 (mm) (*10^-2) | Dial 3 (mm) (*10^-2) |
|------------|----------------------|----------------------|----------------------|
| 0 | 0 | 0 | 0 |
| 0,875 | 175 | 205 | 127 |
| 1,750 | 202 | 274 | 177 |
| 2,625 | 369 | 382 | 220 |
| 3,500 | 894 | 985 | 705 |

Berdasarkan data diatas dibuat grafik hubungan beban – lendutan benda uji 1 seperti pada gambar 5.2



Gambar 5.2 Grafik Hubungan beban – lendutan benda uji 1

Berdasarkan Gambar 5.2, maka dibuat regresi data dial 2 yang ditunjukkan pada Gambar 5.3.



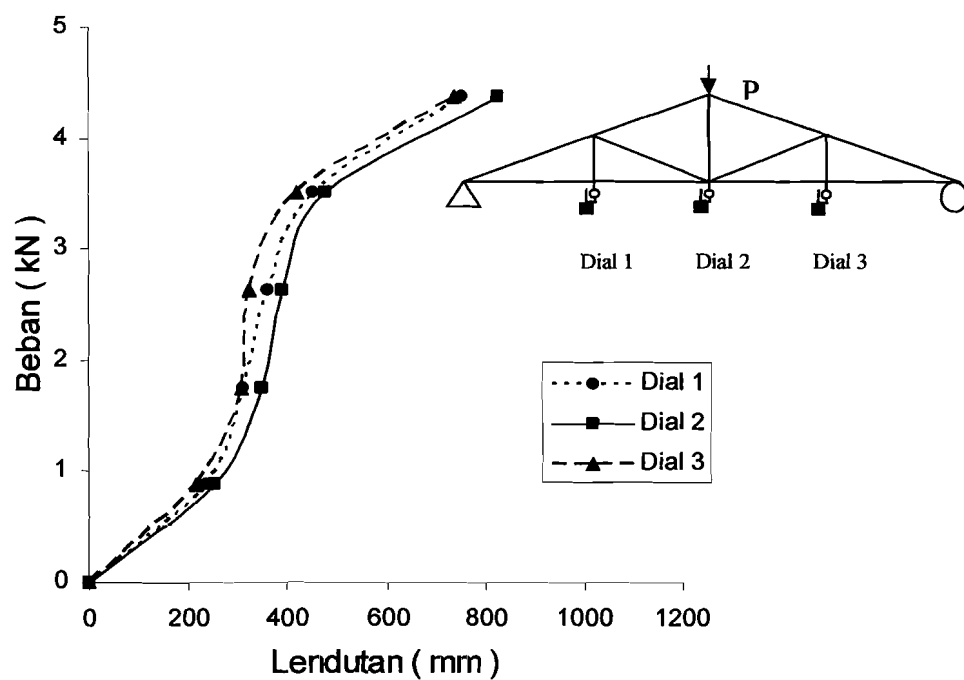
Gambar 5.3 Regresi hubungan beban – lendutan benda uji 1

b. Benda Uji 2

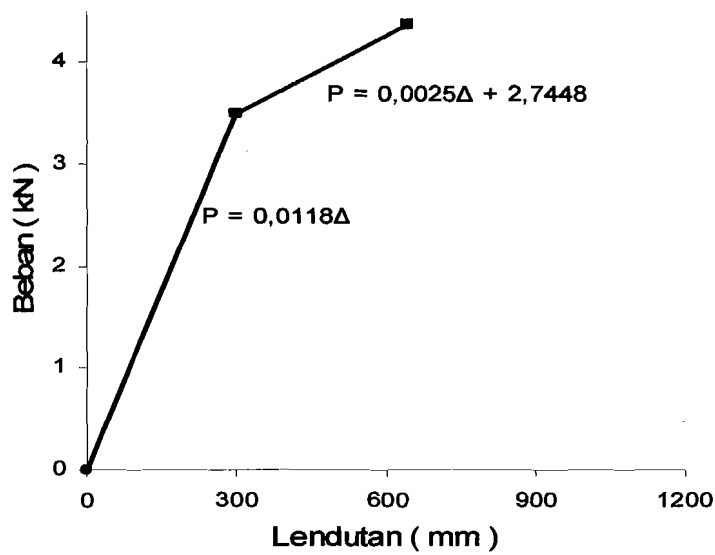
Rangka Kuda – kuda Howe dengan batang nol Profil *Lipped Channal* 60 x 22 x 10 x 1,2 mm. Hasil pengujian beban – lendutan yang terjadi disajikan pada tabel 5.6 dan grafik hubungan beban – lendutan ditampilkan pada Gambar 5.4 dan hasil regresi ditunjukkan pada Gambar 5.5

Tabel 5.6 Hubungan beban dan lendutan benda uji 2

| Beban (kN) | Dial 1 (mm) (*10^-2) | Dial 2 (mm) (*10^-2) | Dial 3 (mm) (*10^-2) |
|------------|--------------------------|--------------------------|--------------------------|
| 0,000 | 0 | 0 | 0 |
| 0,875 | 238 | 257 | 219 |
| 1,750 | 312 | 350 | 311 |
| 2,625 | 364 | 391 | 327 |
| 3,500 | 452 | 480 | 420 |
| 4,375 | 751 | 825 | 735 |



Gambar 5.4 Grafik hubungan beban – lendutan benda uji 2



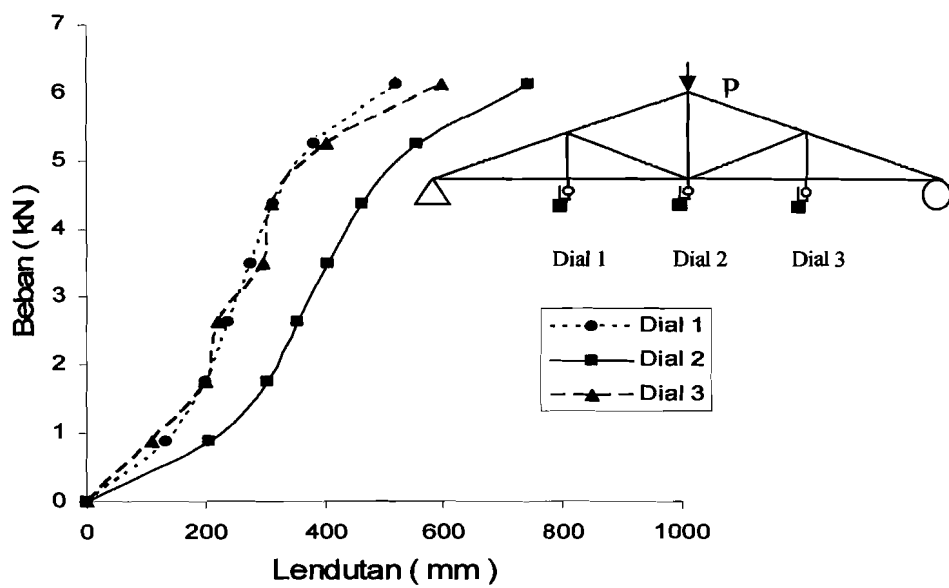
Gambar 5.5 Regresi hubungan beban – lendutan benda uji 2

c. Benda Uji 3

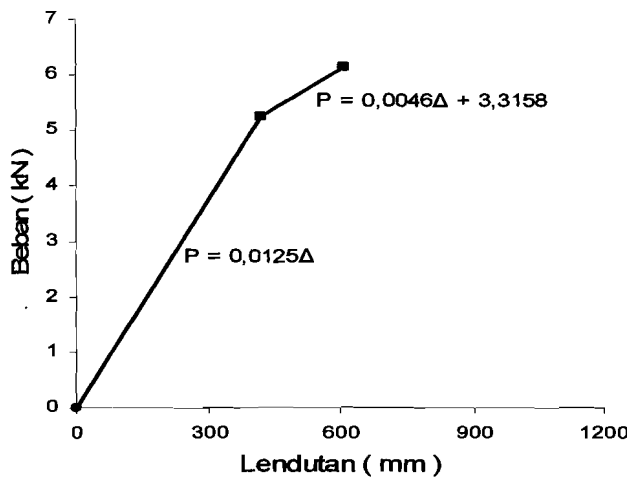
Rangka Kuda – kuda Howe tanpa batang nol dengan Profil *Lipped Channel* 70 x 22 x 10 x 1,2 mm. Untuk Hasil pengujian beban – lendutan yang terjadi disajikan pada Tabel 5.7 dan grafik hubungan beban - lendutan ditampilkan pada Gambar 5.6 dan hasil regresi ditunjukkan pada Gambar 5.7.

Tabel 5.7 Hubungan beban dan lendutan benda uji 3

| Beban (kN) | Dial 1 (mm) (*10^-2) | Dial 2 (mm) (*10^-2) | Dial 3 (mm) (*10^-2) |
|------------|----------------------|----------------------|----------------------|
| 0,000 | 0 | 0 | 0 |
| 0,875 | 133 | 204 | 110 |
| 1,750 | 200 | 300 | 197 |
| 2,625 | 236 | 353 | 220 |
| 3,500 | 275 | 405 | 293 |
| 4,375 | 312 | 461 | 309 |
| 5,250 | 379 | 554 | 400 |
| 6,125 | 519 | 744 | 595 |



Gambar 5.6 Grafik hubungan beban – lendutan benda uji 3



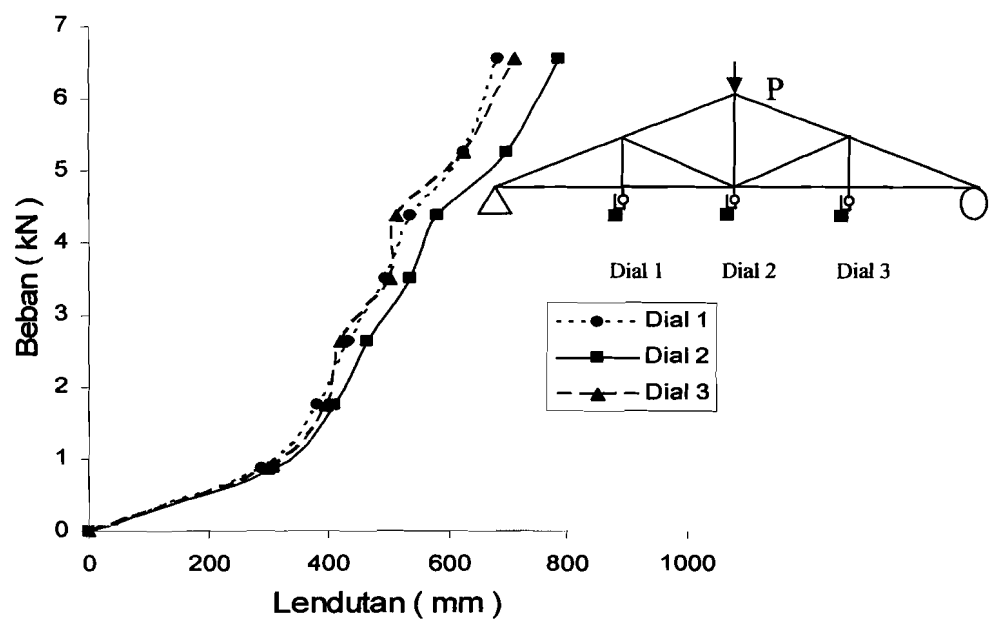
Gambar 5.7 Regresi hubungan beban – lendutan benda uji 3

d. Benda Uji 4

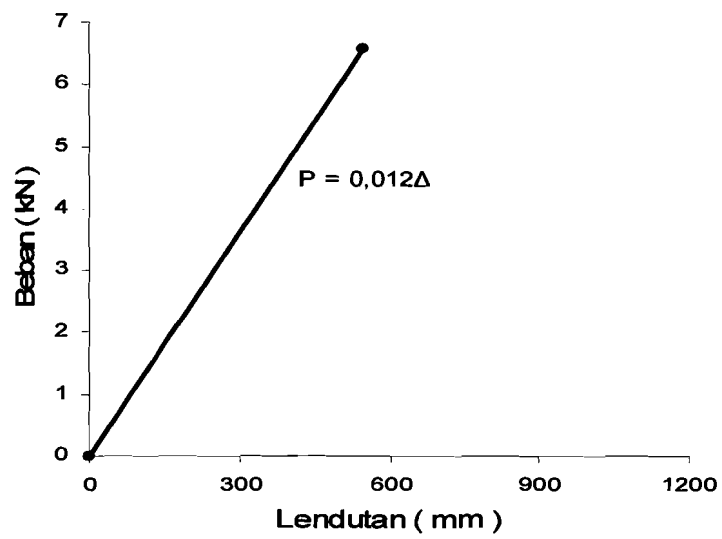
Rangka Kuda – kuda Howe tanpa batang nol dengan Profil *Lipped Channel* 70 x 22 x 10 x 1,2 mm. Untuk Hasil pengujian beban – lendutan yang terjadi disajikan pada Tabel 5.8 dan grafik hubungan beban - lendutan ditampilkan pada Gambar 5.8 dan hasil regresi ditunjukkan pada Gambar 5.9

Tabel 5.8 Hubunga beban dan lendutan benda uji 4

| Beban (kN) | Dial 1 (mm) (*10^-2) | Dial 2 (mm) (*10^-2) | Dial 3 (mm) (*10^-2) |
|------------|--------------------------|--------------------------|--------------------------|
| 0 | 0 | 0 | 0 |
| 0,87 | 289 | 312 | 300 |
| 1,75 | 382 | 410 | 396 |
| 2,62 | 432 | 465 | 421 |
| 3,50 | 496 | 535 | 501 |
| 4,37 | 537 | 580 | 513 |
| 5,25 | 624 | 695 | 625 |
| 6,12 | 684 | 785 | 710 |



Gambar 5.8 Grafik hubungan beban – lendutan benda uji 4



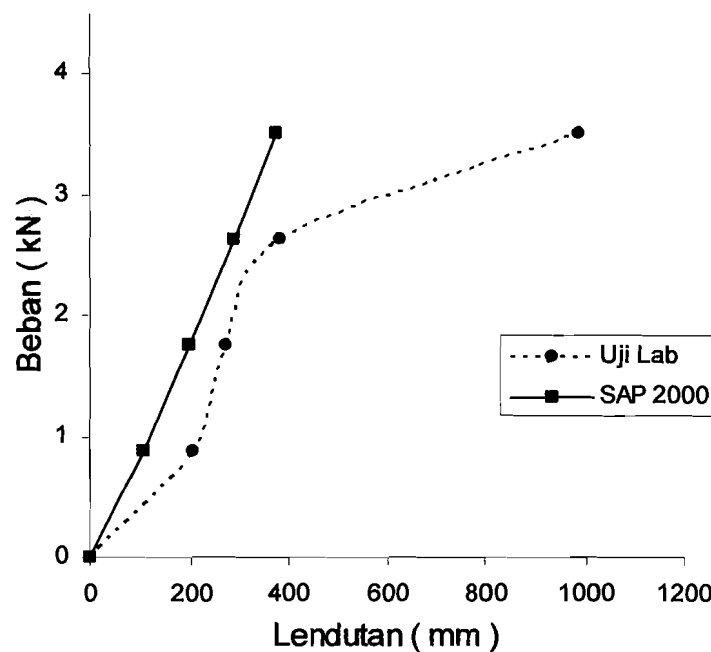
Gambar 5.9 Regresi hubungan beban – lendutan benda uji 4

5.3.2 Kurva Hubungan Beban – Lendutan Analisis SAP 2000 dan Hasil Lab

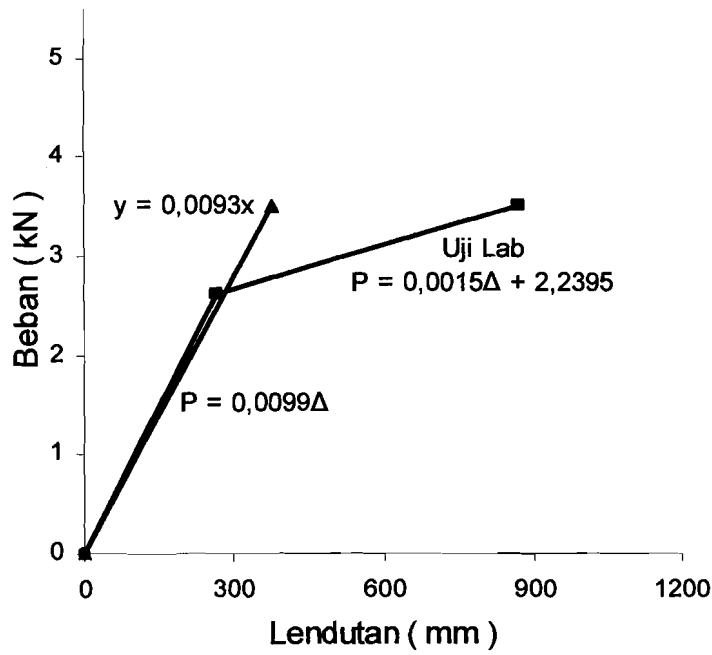
Hubungan beban – lendutan yang didapat dari SAP 2000 berdasarkan data laboratorium disajikan pada Tabel 5.9 dan grafik hubungan beban – lendutan dan hasil regresi dari data tersebut seperti pada Gambar 5.10 dan Gambar 5.11

Tabel 5.9 Hubungan beban – lendutan analisis SAP 2000 benda uji 1

| No | Beban (kN) | Dial 1 (mm) (*10^-2) | Dial 2 (mm) (*10^-2) | Dial 3 (mm) (*10^-2) |
|----|-----------------|------------------------------|------------------------------|------------------------------|
| 1 | 0,000 | 0 | 0 | 0 |
| 2 | 0,875 | 86 | 171 | 86 |
| 3 | 1,750 | 157 | 314 | 157 |
| 4 | 2,625 | 227 | 454 | 227 |
| 5 | 3,500 | 298 | 597 | 298 |



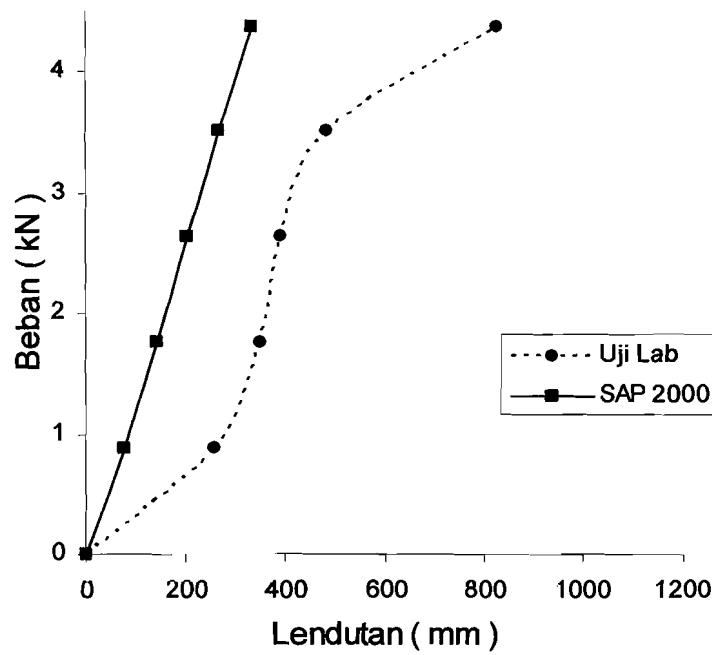
Gambah 5.10 Grafik Beban – Lendutan analisis SAP 2000 benda uji 1



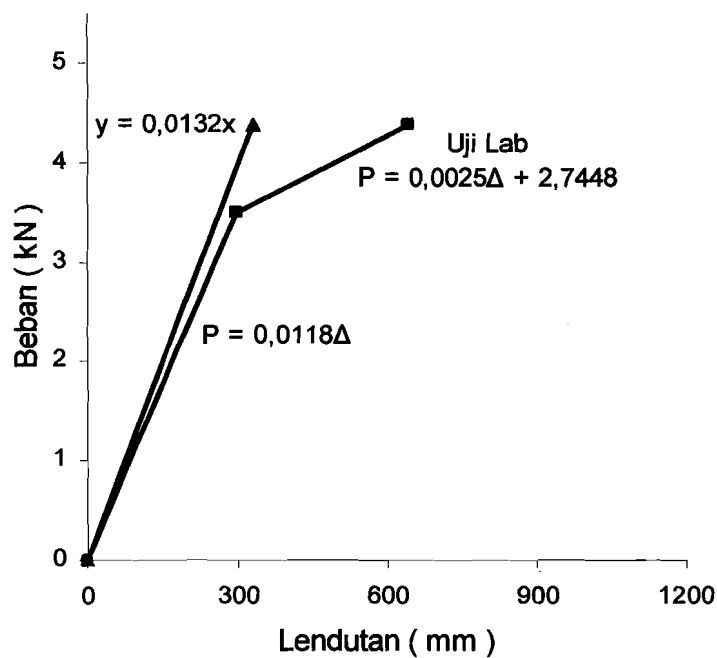
Gambah 5.11 Regresi Beban – Lendutan analisis SAP 2000 benda uji 1

Tabel 5.10 Hubungan beban – lendutan analisis SAP 2000 benda uji 2

| No | Beban (kN) | Dial 1 (mm) ($\times 10^{-2}$) | Dial 2 (mm) ($\times 10^{-2}$) | Dial 3 (mm) ($\times 10^{-2}$) |
|----|------------|-------------------------------------|-------------------------------------|-------------------------------------|
| 1 | 0,000 | 0 | 0 | 0 |
| 2 | 0,875 | 156 | 176 | 156 |
| 3 | 1,750 | 279 | 318 | 279 |
| 4 | 2,625 | 400 | 459 | 400 |
| 5 | 3,500 | 523 | 602 | 523 |
| 6 | 4,375 | 646 | 743 | 646 |



Gambah 5.12 Grafik Beban – Lendutan analisis SAP 2000 benda uji 2

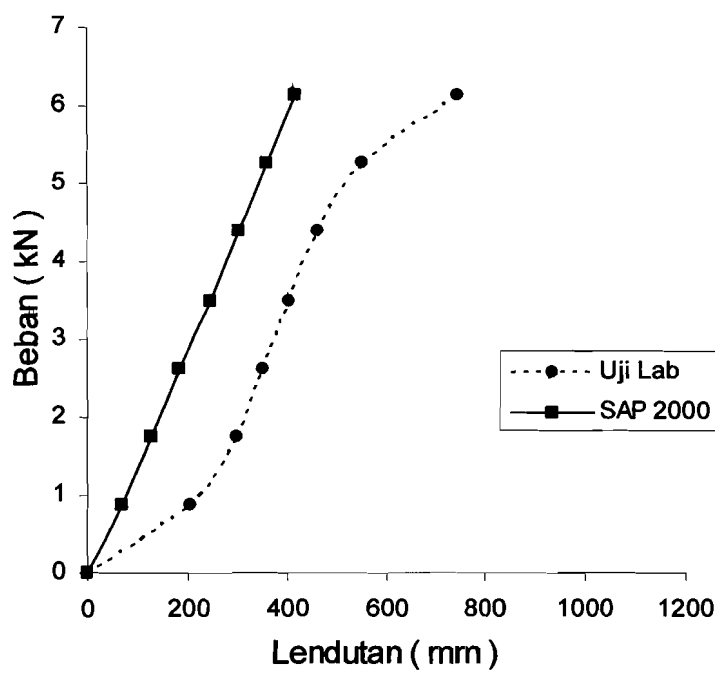


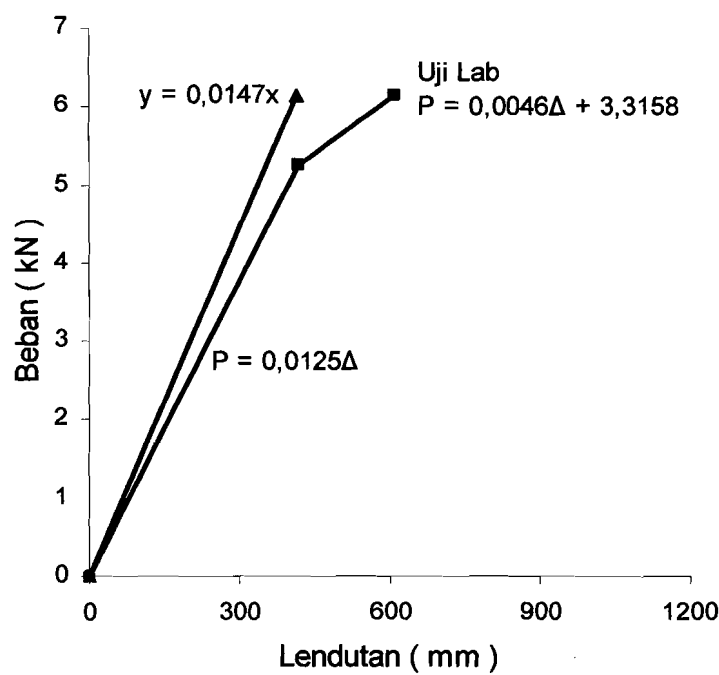
Gambah 5.13 Regresi Beban – Lendutan analisis SAP 2000 benda uji 2



Tabel 5.10 Hubungan beban – lendutan analisis SAP 2000 benda uji 3

| No | Beban (kN) | Dial 1 (mm) (*10 ⁻²) | Dial 2 (mm) (*10 ⁻²) | Dial 3 (mm) (*10 ⁻²) |
|----|-----------------|--|--|--|
| 1 | 0,000 | 0 | 0 | 0 |
| 2 | 0,875 | 50 | 100 | 50 |
| 3 | 1,750 | 91 | 182 | 91 |
| 4 | 2,625 | 131 | 263 | 131 |
| 5 | 3,500 | 172 | 345 | 172 |
| 6 | 4,375 | 213 | 426 | 213 |
| 7 | 5,250 | 254 | 507 | 254 |
| 8 | 6,125 | 294 | 589 | 294 |

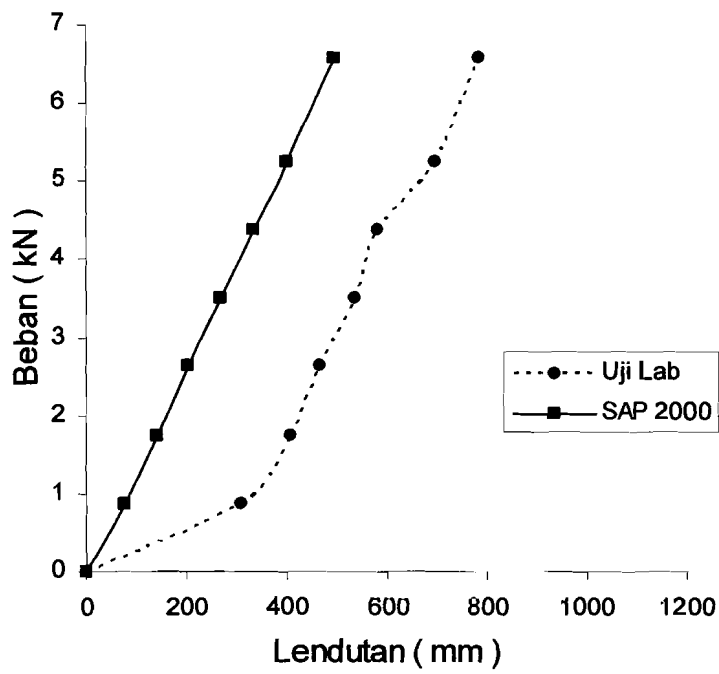
**Gambah 5.14** Grafik Beban – Lendutan analisis SAP 2000 bebda uji 3



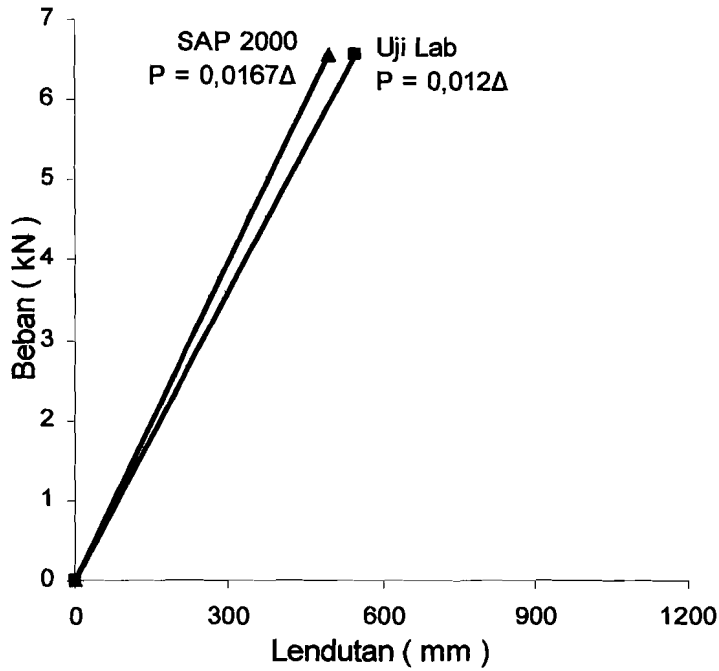
Gambah 5.15 Regresi Beban – Lendutan analisis SAP 2000 bebda uji 3

Tabel 5.9 Hubungan beban – lendutan analisis SAP 2000 benda uji 4

| No | Beban (kN) | Dial 1 (mm) (*10^-2) | Dial 2 (mm) (*10^-2) | Dial 3 (mm) (*10^-2) |
|----|------------|---------------------------|---------------------------|---------------------------|
| 1 | 0,000 | 0,000 | 0,000 | 0,000 |
| 2 | 0,875 | 109,132 | 123,872 | 109,132 |
| 3 | 1,750 | 197,152 | 225,821 | 197,152 |
| 4 | 2,625 | 284,171 | 326,611 | 284,171 |
| 5 | 3,500 | 372,190 | 428,559 | 372,190 |
| 6 | 4,375 | 459,709 | 529,928 | 459,709 |
| 7 | 5,250 | 547,228 | 631,298 | 547,228 |
| 8 | 6,562 | 678,256 | 783,062 | 678,256 |



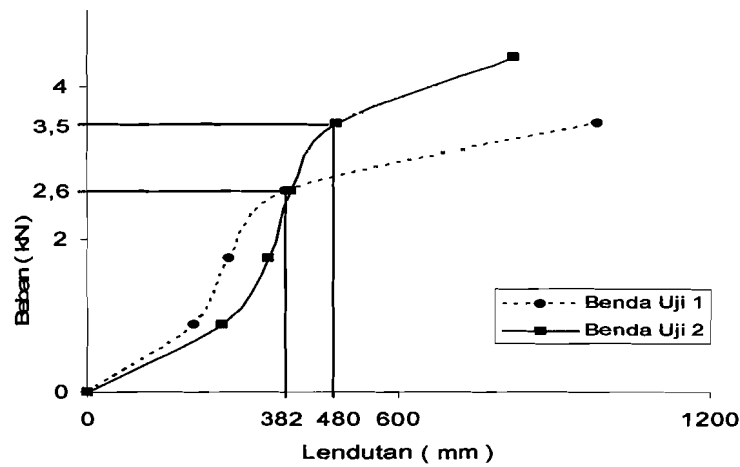
Gambar 5.10 Grafik hubungan beban – lendutan analisis SAP 2000



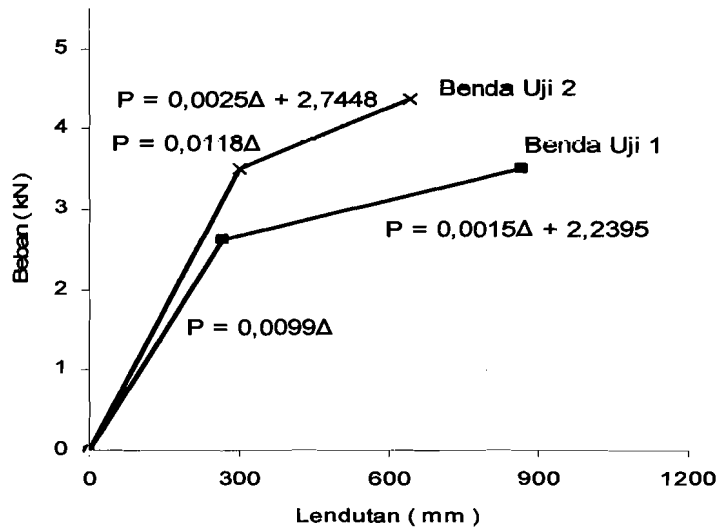
Gambar 5.11 Regresi hubungan beban – lendutan analisis SAP 2000

5.3.3 Analisis Kekakuan Rangka Batang

Grafik hubungan beban – lendutan rangka kuda-kuda dengan ukuran profil yang sama tiap benda uji pada beban maksimum dibandingkan seperti pada Gambar 5.10 dan Gambar 5.12, kemiringan grafik hubungan beban – lendutan merupakan nilai kekakuan struktur, $k = \tan \alpha = \frac{P_y}{\Delta_y}$, yang terlihat pada Gambar 5.11 dan Gambar 5.13.



Gambar 5.10 Grafik Hubungan Beban (P) – Lendutan (Δ)

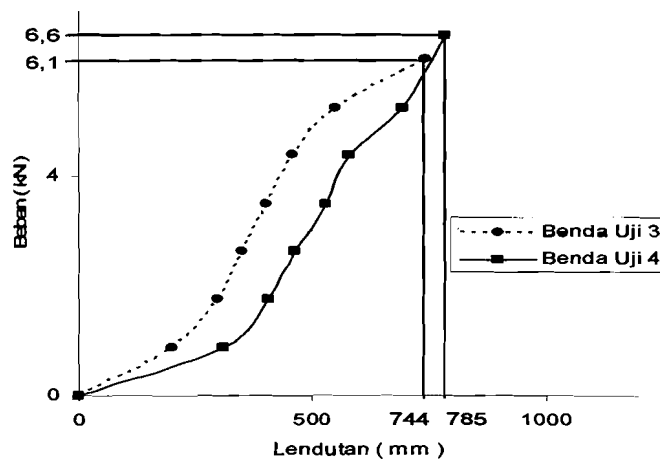
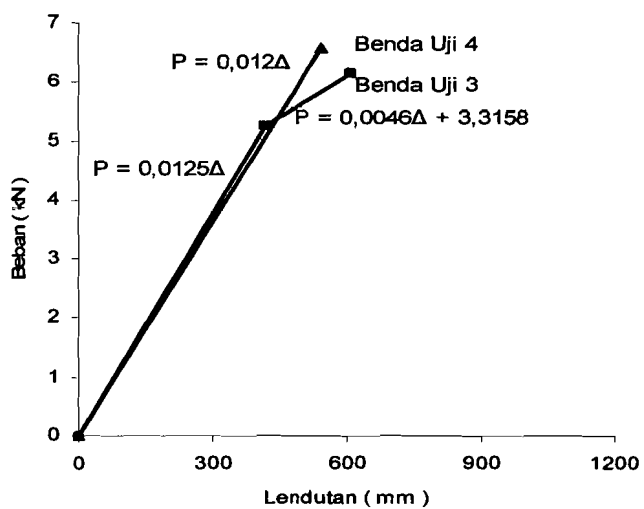


Gambar 5.11 Regresi Hubungan Beban – Lendutan

Tabel 5.10 Analisis Perbandingan Nilai kekakuan (Profil C60x22x8x1,2)

Benda Uji 1 dan 2

| Benda Uji | P yield (kN) | Δ yield (mm) | Kekakuan (k) (kN / mm) | (k / k) |
|-----------------------|-------------------|--------------------------|-------------------------------|-----------|
| 1 (Tanpa Batang Nol) | 2,624993 | 3,82 | 0,687 | |
| 2 (Dengan Batang Nol) | 3,499991 | 4,80 | 0,729 | 0,942 |

**Gambar 5.12** Grafik Hubungan Beban (P) – Lendutan (Δ)**Gambar 5.13** Regresi Hubungan Beban – Lendutan

Tabel 5.11 Analisis Perbandingan Nilai kekakuan (profil C70x22x8x1,2)

Benda Uji 3 dan 4

| Benda Uji | P yield (kN) | Δ yield (mm) | Kekakuan (k) (kN / mm) | (k / k) |
|-----------------------|-------------------|--------------------------|-------------------------------|-----------|
| 3 (Tanpa Batang Nol) | 6,124985 | 7,44 | 0,823 | |
| 4 (Dengan Batang Nol) | 6,562484 | 7,85 | 0,836 | 0,985 |

Empat benda uji rangka kuda-kuda howe dengan batang nol dan kuda-kuda howe tanpa batang nol dengan beda profil diperoleh perbedaan lendutan dari masing-masing benda uji, menggunakan persamaan $k = \tan\alpha = \frac{Py}{\Delta y}$, nilai kekakuan untuk masing masing benda uji terlihat pada Tabel 5.10 dan Tabel 5.11 di diatas.

Berdasarkan gambar 5.10 dan perhitungan kekakuan pada tabel 5.10, benda uji 1 memiliki nilai kekakuan sebesar 0,687 kN/mm dan benda uji 2 memiliki nilai kekakuan sebesar 0,729 kN/mm, sehingga dapat diperoleh nilai perbandingan kekakuan benda uji 1 dan kekakuan benda uji 2 sebesar 0,942.

Berdasarkan gambar 5.12 dan perhitungan kekakuan pada tabel 5.11, benda uji 3 memiliki nilai kekakuan sebesar 0,823 kN/mm dan benda uji 4 memiliki nilai kekakuan sebesar 0,836 kN/mm, sehingga dapat diperoleh nilai perbandingan kekakuan benda uji 3 dan kekakuan benda uji 4 sebesar 0,985.

5.4 Hubungan Momen - Kelengkungan

Dari hasil penelitian didapatkan data beban (P) – lendutan (Δ), sehingga dapat dicari momen (M) – kelengkungan (ϕ) rumus yang dipakai dalam perhitungan ini adalah:

$$\text{Kelengkungan (pers 3.60)} : \phi = \frac{\Delta_1 - 2\Delta_2 + \Delta_3}{\Delta x^2}$$

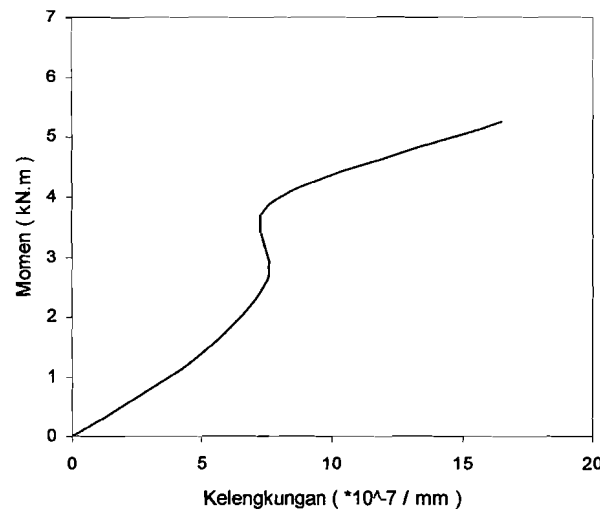
$$\text{Momen} = \frac{1}{4} \times P \times L$$

5.4.1 Hubungan momen (P) - Kelengkungan (ϕ) Hasil Pengujian

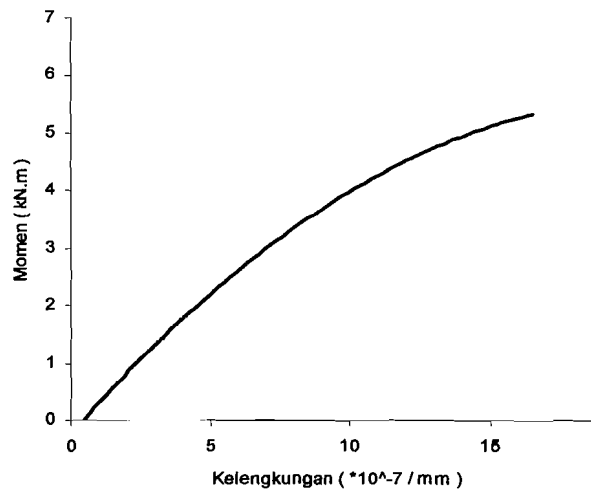
Seperti halnya yang terjadi pada grafik beban dan lendutan, pada grafik momen dan kelengkungan menunjukkan bahwa rangka batang *truss* memiliki faktor kekakuan seperti pada tabel 5.11

Table 5.11 Hubungan momen - kelengkungan benda uji 1

| Beban (kN) | Pembacaan dial (.10⁻² mm) | | | Momen (kN.m) | Kelengkungan (.10⁻⁵/mm) |
|-----------------------|---|---------------|---------------|-------------------------|---|
| | Dial 1 | Dial 2 | Dial 3 | | |
| 0,000 | 0,000 | 0,000 | 0,000 | 0,000 | 0,000 |
| 0,875 | 1,750 | 2,050 | 1,270 | 1,312 | 4,800 |
| 1,750 | 2,020 | 2,740 | 1,770 | 2,625 | 7,511 |
| 2,625 | 3,690 | 3,820 | 2,200 | 3,937 | 7,778 |
| 3,500 | 8,940 | 9,850 | 7,050 | 5,250 | 16,489 |



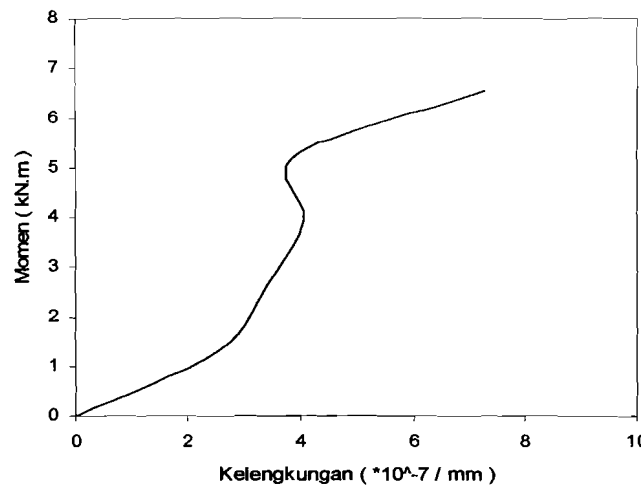
Gambar 5.14 Grafik Hubungan momen - kelengkungan benda uji 1



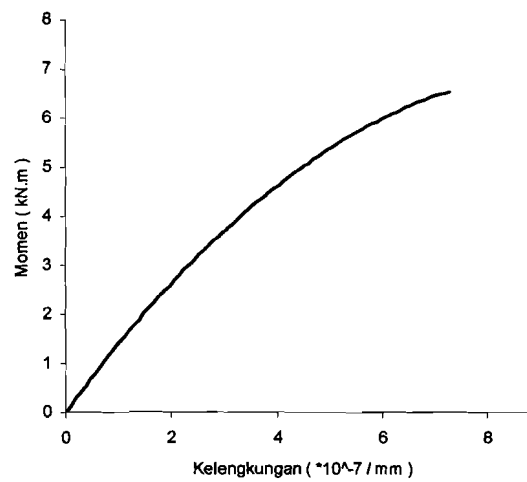
Gambar 5.15 Regresi Hubungan Momen - kelengkungan benda uji 1

Table 5.12 Hubungan momen - kelengkungan benda uji 2

| Beban (kN) | Pembacaan dial ($.10^{-2}$ mm) | | | Momen (kN.m) | Kelengkungan ($.10^{-5}$ /mm) |
|---------------|---------------------------------|--------|--------|-----------------|-----------------------------------|
| | Dial 1 | Dial 2 | Dial 3 | | |
| 0,000 | 0,000 | 0,000 | 0,000 | 0,000 | 0,000 |
| 0,875 | 2,38 | 2,57 | 2,19 | 1,312 | 2,533 |
| 1,750 | 3,12 | 3,50 | 3,11 | 2,625 | 3,422 |
| 2,625 | 3,64 | 3,91 | 3,27 | 3,937 | 4,044 |
| 3,500 | 4,52 | 4,80 | 4,20 | 5,250 | 3,911 |
| 4,375 | 7,51 | 8,25 | 7,35 | 6,562 | 7,289 |



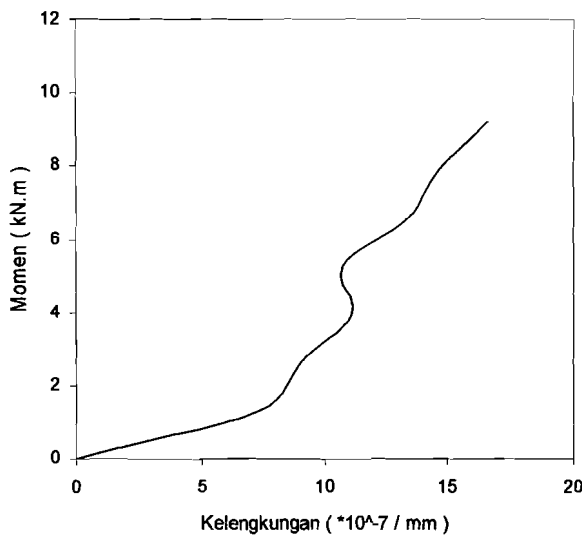
Gambar 5.16 Grafik Hubungan momen - kelengkungan benda uji 2



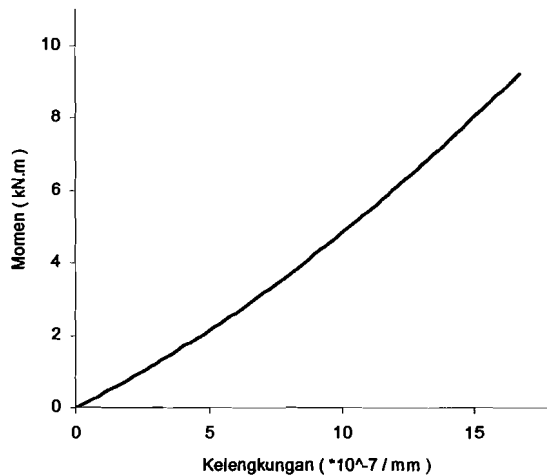
Gambar 5.17 Regresi Hubungan Momen - kelengkungan benda uji 2

Table 5.13 Hubungan momen - kelengkungan benda uji 3

| Beban (kN) | Pembacaan dial ($.10^{-2}$ mm) | | | Momen (kN.m) | Kelengkungan ($.10^{-5}$ /mm) |
|-----------------------|--|---------------|---------------|-------------------------|---|
| | Dial 1 | Dial 2 | Dial 3 | | |
| 0,000 | 0,00 | 0,00 | 0,00 | 0,00 | 0,0000 |
| 0,875 | 1,33 | 2,04 | 1,10 | 1,312 | 7,3330 |
| 1,750 | 2,00 | 3,00 | 1,97 | 2,625 | 9,0220 |
| 2,625 | 2,36 | 3,53 | 2,20 | 3,937 | 11,111 |
| 3,500 | 2,75 | 4,05 | 2,93 | 5,250 | 10,756 |
| 4,375 | 3,12 | 4,61 | 3,09 | 6,562 | 13,378 |
| 5,250 | 3,79 | 5,54 | 4,00 | 7,875 | 14,622 |
| 6,125 | 5,19 | 7,44 | 5,95 | 9,187 | 16,622 |



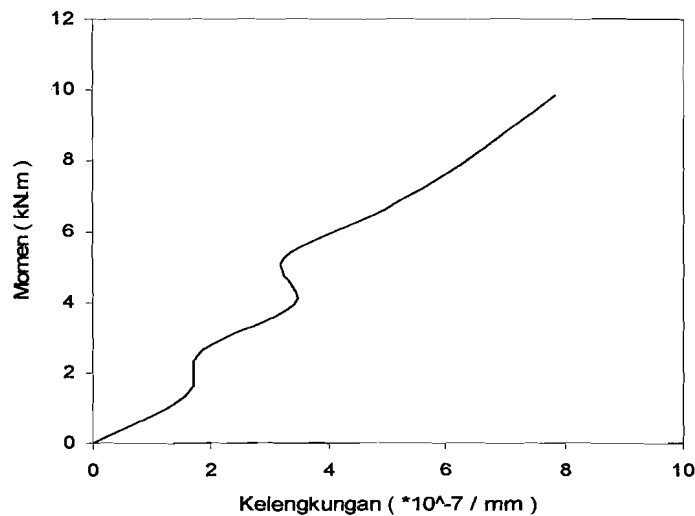
Gambar 5.18 Grafik Hubungan momen - kelengkungan benda uji 3



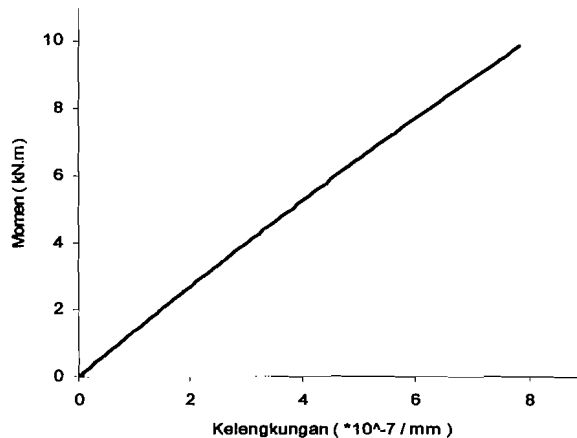
Gambar 5.19 Regresi Hubungan Momen - kelengkungan benda uji 3

Table 5.14 Hubungan momen - kelengkungan benda uji 4

| Beban (kN) | Pembacaan dial (.10⁻² mm) | | | Momen (kN.m) | Kelengkungan (.10⁻⁵ /mm) |
|-----------------------|---|---------------|---------------|-------------------------|--|
| | Dial 1 | Dial 2 | Dial 3 | | |
| 0,000 | 0,00 | 0,00 | 0,00 | 0,00 | 0,000 |
| 0,875 | 2,89 | 3,12 | 3,00 | 1,312 | 1,556 |
| 1,750 | 3,82 | 4,10 | 3,96 | 2,625 | 1,867 |
| 2,625 | 4,32 | 4,65 | 4,21 | 3,937 | 3,422 |
| 3,500 | 4,96 | 5,35 | 5,01 | 5,250 | 3,244 |
| 4,375 | 5,37 | 5,80 | 5,13 | 6,562 | 4,889 |
| 5,250 | 6,24 | 6,95 | 6,25 | 7,875 | 6,267 |
| 6,562 | 6,84 | 7,85 | 7,10 | 9,844 | 7,822 |



Gambar 5.20 Grafik Hubungan momen - kelengkungan benda uji 4

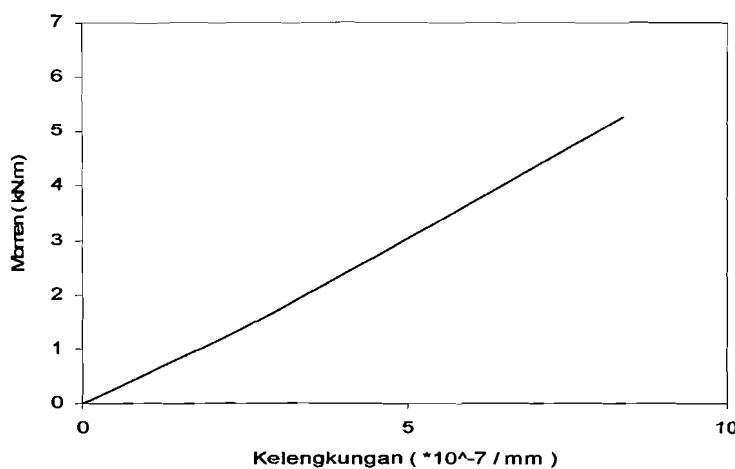


Gambar 5.21 Regresi Hubungan Momen - kelengkungan benda uji 4

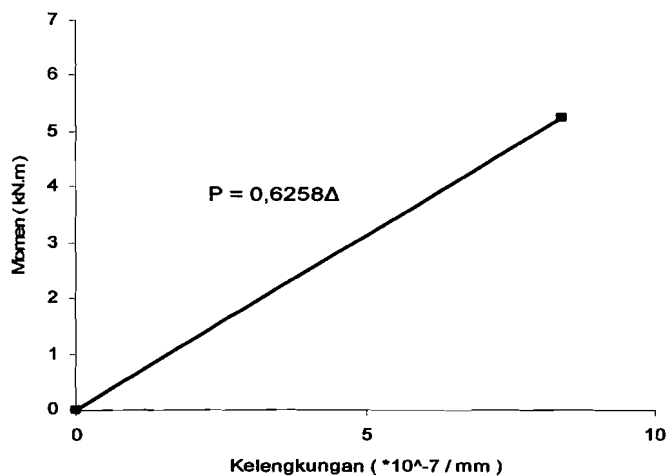
5.4.2 Hubungan momen (P) - Kelengkungan (ϕ) Hasil Analisis SAP 2000

Table 5.15 Hubungan momen - kelengkungan analisis SAP 2000 Benda uji 1

| No | Beban (kN) | Dial 1 (mm) | Dial 2 (mm) | Dial 3 (mm) | Momen (kN.m) | Kelengkungan ($\times 10^{-7}$ / mm) |
|----|------------|-------------|-------------|-------------|--------------|---------------------------------------|
| 1 | 0 | 0,0000 | 0,0000 | 0,0000 | 0 | 0,000 |
| 2 | 0,875 | 0,2704 | 0,5408 | 0,2704 | 1,312 | 2,403 |
| 3 | 1,750 | 0,4957 | 0,9914 | 0,4957 | 2,625 | 4,406 |
| 4 | 2,625 | 0,7184 | 1,4369 | 0,7184 | 3,937 | 6,386 |
| 5 | 3,500 | 0,9437 | 1,8875 | 0,9437 | 5,250 | 8,389 |



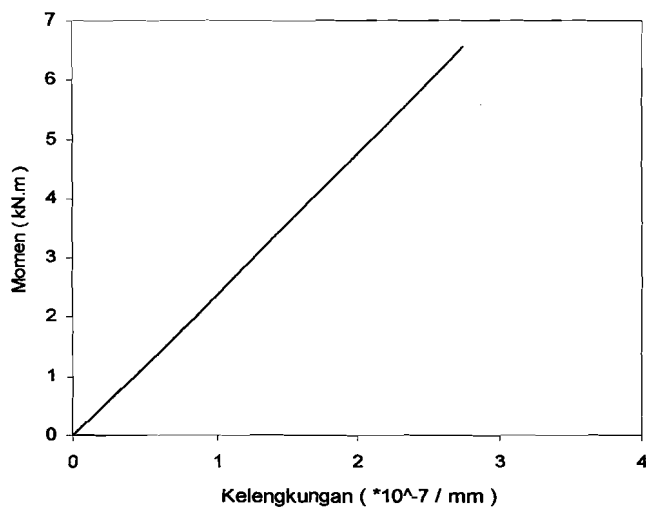
Gambar 5.22 Grafik Hubungan momen - kelengkungan analisis SAP 2000 Benda uji 1



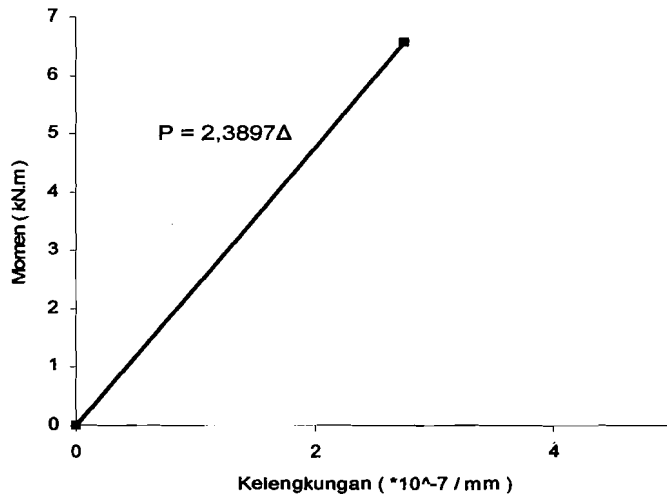
Gambar 5.23 Regresi Hubungan momen - kelengkungan analisis SAP 2000 Benda uji 1

Table 5.16 Hubungan momen - kelengkungan analisis SAP 2000 Benda uji 2

| No | Beban (kN) | Dial 1 (mm) | Dial 2 (mm) | Dial 3 (mm) | Momen (kN.m) | Kelengkungan ($\times 10^{-7} / \text{mm}$) |
|----|------------|-------------|-------------|-------------|--------------|---|
| 1 | 0 | 0 | 0 | 0 | 0 | 0,000 |
| 2 | 0,875 | 0,49 | 0,56 | 0,49 | 1,312 | 0,566 |
| 3 | 1,750 | 0,88 | 1,01 | 0,88 | 2,625 | 1,114 |
| 4 | 2,625 | 1,27 | 1,45 | 1,27 | 3,937 | 1,655 |
| 5 | 3,500 | 1,65 | 1,90 | 1,65 | 5,250 | 2,202 |
| 6 | 4,375 | 2,04 | 2,35 | 2,04 | 6,562 | 2,746 |



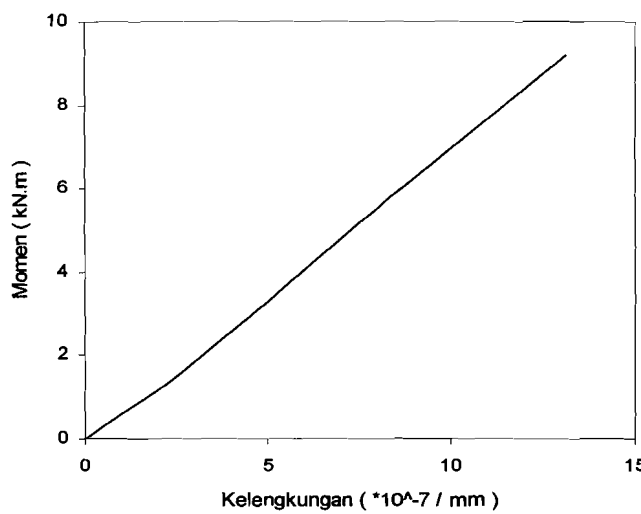
Gambar 5.24 Grafik Hubungan momen - kelengkungan analisis SAP 2000 Benda uji 2



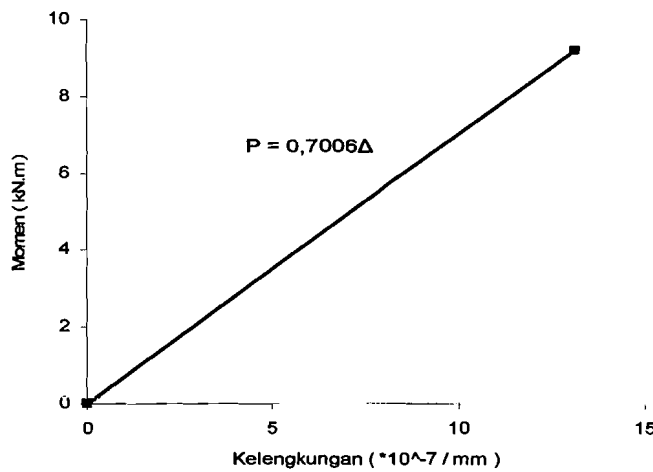
Gambar 5.25 Regresi Hubungan momen - kelengkungan analisis SAP 2000 Benda uji 2

Table 5.17 Hubungan momen - kelengkungan analisis SAP 2000 Benda uji 3

| No | Beban (kN) | Dial 1 (mm) | Dial 2 (mm) | Dial 3 (mm) | Momen (kN.m) | Kelengkungan (*10^-7 /mm) |
|----|------------|-------------|-------------|-------------|--------------|---------------------------|
| 1 | 0 | 0 | 0 | 0 | 0 | 0,000 |
| 2 | 0,875 | 0,25 | 0,50 | 0,25 | 1,312 | 2,226 |
| 3 | 1,750 | 0,46 | 0,91 | 0,46 | 2,625 | 4,049 |
| 4 | 2,625 | 0,66 | 1,32 | 0,66 | 3,937 | 5,852 |
| 5 | 3,500 | 0,86 | 1,73 | 0,86 | 5,250 | 7,675 |
| 6 | 4,375 | 1,07 | 2,13 | 1,07 | 6,563 | 9,488 |
| 7 | 5,250 | 1,27 | 2,54 | 1,27 | 7,875 | 11,301 |
| 8 | 6,125 | 1,48 | 2,95 | 1,48 | 9,187 | 13,114 |



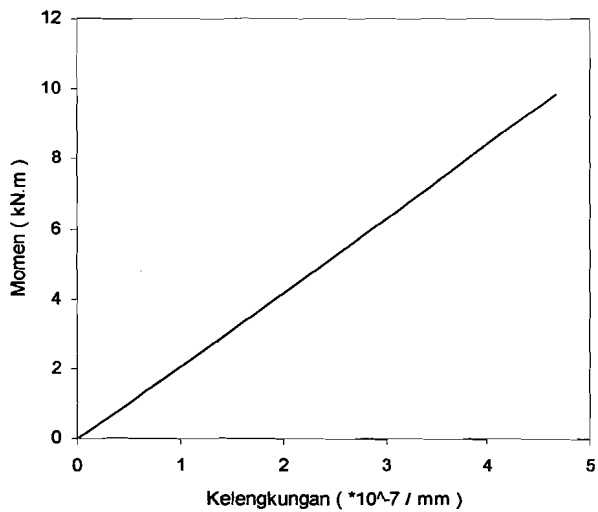
Gambar 5.26 Grafik Hubungan momen - kelengkungan analisis SAP 2000 Benda uji 3



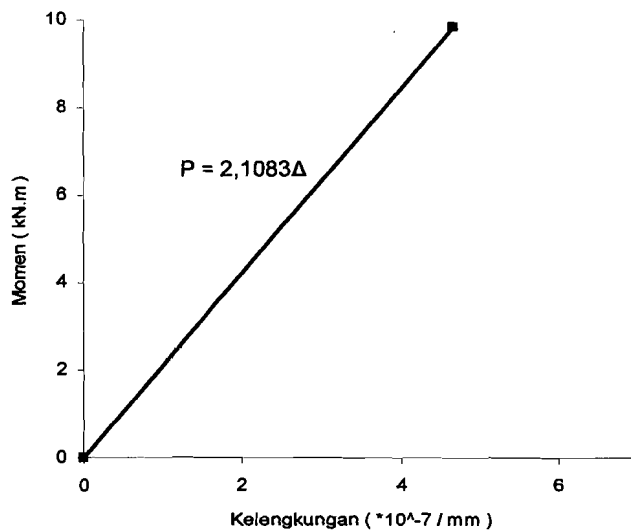
Gambar 5.27 Regresi hubungan momen - kelengkungan analisis SAP 2000 Benda uji 3

Table 5.18 Hubungan momen - kelengkungan analisis SAP 2000 Benda uji 4

| No | Beban (kN) | Dial 1 (mm) | Dial 2 (mm) | Dial 3 (mm) | Momen (kN.m) | Kelengkungan ($\times 10^{-7} / \text{mm}$) |
|----|------------|-------------|-------------|-------------|--------------|---|
| 1 | 0 | 0 | 0 | 0 | 0 | 0,000 |
| 2 | 0,875 | 0,55 | 0,62 | 0,55 | 1,312 | 0,657 |
| 3 | 1,750 | 0,99 | 1,13 | 0,99 | 2,625 | 1,277 |
| 4 | 2,625 | 1,42 | 1,64 | 1,42 | 3,937 | 1,891 |
| 5 | 3,500 | 1,87 | 2,15 | 1,87 | 5,250 | 2,511 |
| 6 | 4,375 | 2,30 | 2,66 | 2,30 | 6,562 | 3,128 |
| 7 | 5,250 | 2,74 | 3,16 | 2,74 | 7,875 | 3,745 |
| 8 | 6,562 | 3,40 | 3,92 | 3,40 | 9,844 | 4,669 |



Gambar 5.28 Grafik Hubungan Momen - kelengkungan analisis SAP 2000 Benda uji 4



Gambar 5.29 Regresi hubungan momen - kelengkungan analisis SAP 2000 Benda uji 4

Grafik hubungan momen dengan kelengkungan menunjukkan faktor kekakuan rangka batang, dimana $EI = \frac{M}{\phi}$ yang berarti semakin besar kelengkungan yang terjadi maka faktor kekakuan pada rangka batang tersebut akan semakin kecil. Gambar 5.24 menunjukkan analisis rangka batang dari empat benda uji dengan bentuk yang sama.

5.5 Analisis Faktor Kekakuan Rangka Batang Hasil Pengujian

Seperti halnya yang terjadi pada grafik beban dan lendutan, pada grafik momen dan kelengkungan menunjukkan bahwa rangka batang *truss* memiliki faktor kekakuan seperti pada tabel 5.19

Tabel 5.19 Faktor Kekakuan Rangka Batang berdasarkan Hasil Pengujian

| Benda Uji | Momen maks (kN - m) | Kelengkungan (ϕ) ($10^{-7}/\text{mm}$) | Faktor Kekakuan (kNm ²) |
|-----------|--------------------------|--|---|
| 1 | 5,249986875 | 16,489 | 0,318395430 |
| 2 | 6,562483594 | 7,2890 | 0,900340737 |
| 3 | 9,187477031 | 16,622 | 0,552722549 |
| 4 | 9,843725391 | 7,8220 | 1,258430803 |

5.6 Analisis Faktor Kekakuan Rangka Batang Hasil Analisis SAP 2000

Tabel 5.20 Faktor Kekakuan Rangka Batang berdasarkan analisis SAP 2000

| Benda Uji | Momen maks (kN - m) | Kelengkungan (ϕ) ($10^{-7}/\text{mm}$) | Faktor Kekakuan (kNm ²) |
|-----------|--------------------------|--|---|
| 1 | 5,2500 | 8,389 | 0,6258 |
| 2 | 6,5625 | 2,746 | 2,3897 |
| 3 | 9,1875 | 13,114 | 0,7006 |
| 4 | 9,8437 | 4,669 | 2,1083 |

5.7 Tinjauan Analitis

Uji lentur kuda-kuda yang dilakukan dilaboratorium menghasilkan beban maksimum yang dapat dipikul oleh kuda-kuda. Gaya batang masing-masing elemen kuda-kuda didapat berdasarkan analisis SAP 2000 dengan menggunakan beban maksimum (P eksperimen). Gaya batang analisis SAP 2000 untuk tiap elemen terdapat pada lampiran 3

5.7.1 Nilai Koefisien Tekuk

a. Koefisien Tekuk Uji Desak

Berdasarkan uji desak benda uji profil lipped channel $70 \times 22 \times 8 \times 1.2$ m, didapat nilai F_{cr} untuk masing-masing benda uji. F_{cr} digunakan untuk mencari nilai koefisien tekuk dengan menggunakan persamaan (3.29) seperti pada lampiran 6 hasil perhitungan pada tabel 5.21 sebagai berikut:

Tabel 5.21 Koefisien Tekuk Uji Lentur Profil $70 \times 22 \times 8 \times 1,2$ mm

| Benda Uji | F_{cr} (Mpa) | A (mm) | (b/t) | Koefisien Tekuk (k) |
|-------------|-------------------|-----------|--------|------------------------|
| Benda uji 1 | 84,615 | 156 | 18,333 | 0,157494 |
| Benda uji 2 | 84,295 | 156 | 18,333 | 0,156898 |
| Benda uji 3 | 93,910 | 156 | 18,333 | 0,174795 |

Tabel 5.22 Koefisien Tekuk Uji Lentur Profil $60 \times 22 \times 8 \times 1,2$ mm

| Benda Uji | F_{cr} (Mpa) | A (mm) | (b/t) | Koefisien Tekuk (k) |
|-------------|-------------------|-----------|--------|------------------------|
| Benda uji 1 | 80,556 | 156 | 18,333 | 0,149939 |
| Benda uji 2 | 92,708 | 156 | 18,333 | 0,172557 |
| Benda uji 3 | 96,528 | 156 | 18,333 | 0,179667 |

b. Koefisien Tekuk Uji Lentur

Dari hasil analisis SAP 2000 diperoleh *element forces* (P) sehingga dapat dicari nilai F_{cr} seperti yang terdapat pada lampiran 6 dan dapat dicari pula koefisien tekuk (k) pelat menggunakan persamaan (3.30). koefisien tekuk (k) hanya dapat diperoleh dari batang yang rusak akibat tekuk yang terlihat pada sampel benda uji.

Tabel 5.23 Koefisien Tekuk Uji Lentur

| Benda Uji | Batang | P_{cr} (Mpa) | F_{cr} (Mpa) | A (mm) | (b/t) | Koefisien Tekuk (k) |
|-----------|-----------|-------------------|-------------------|-----------|--------|------------------------|
| BU 1 | 1 dan 4 | 5,394 | 34,576 | 156 | 18,333 | 0,064357 |
| BU 2 | 10 dan 13 | 6,729 | 43,135 | 156 | 18,333 | 0,080287 |
| BU 3 | 1 dan 4 | 9,258 | 9,2580 | 156 | 18,333 | 0,110466 |
| BU 4 | 10 dan 13 | 9,900 | 9,2580 | 156 | 18,333 | 0,118117 |

BAB VI

KESIMPULAN DAN SARAN

Dari pembahasan serta uraian tugas akhir ini, kesimpulan dan saran yang dapat diajukan adalah sebagai berikut:

6.1 Kesimpulan

1. Dengan ada batang nol atau tidak ada batang nol berpengaruh terhadap kekuatan atau kemampuan rangka kuda-kuda dalam menahan beban kecil. Pada Sampel yang menggunakan profil C 60x22x8x1,2 dengan meniadakan batang nol hanya mengalami penurunan kekuatan memikul beban sebesar 0,875 kN. Dan pada Sampel yang menggunakan profil C 70x22x8x1,2 dengan meniadakan batang nol hanya mengalami penurunan kekuatan memikul beban sebesar 0,435 kN
2. Rangka kuda-kuda dengan batang nol memiliki nilai kekakuan yang lebih besar daripada rangka kuda-kuda tanpa batang nol. Pada Sampel yang menggunakan profil C 60x22x8x1,2 dengan meniadakan batang nol diperoleh nilai perbandingannya (k/k) sebesar 0,942. Dan pada Sampel yang menggunakan profil C 70x22x8x1,2 dengan meniadakan batang nol diperoleh nilai perbandingannya (k/k) sebesar 0,985.
3. Berdasarkan hubungan momen (M) - kelengkungan (ϕ) pada profil C 60x22x8x1,2 dengan menghilangkan batang nol diperoleh penurunan faktor kekakuan sebesar $0,582 \text{ kN.mm}^2$ dan pada profil C 60x22x8x1,2 dengan

menghilangkan batang nol diperoleh penurunan factor kekakuan sebesar 0,706 kN.mm^2

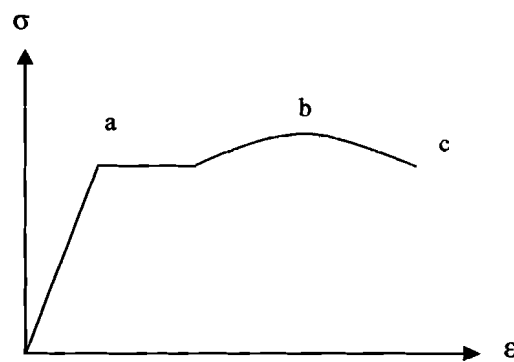
6.2 Saran

Dari hasil penelitian dan pembahasan yang telah diuraikan serta kesimpulan, maka disarankan:

1. Pemasangan hidraulik jack harus benar benar-benar pada pisi tengah, karena berpengaruh terhadap perilaku maupun kekuatan benda uji.
2. Pada saat pengujian diperlukan kecermatan dalam pembacaan dial (kuda-kuda pada posisi tidak bergerak).
3. Untuk penelitian selanjutnya diharapkan dapat membandingkan hal - hal sebagai berikut:
 1. Pengaruh jarak lateral
 2. Penambahan plat kopel pada batang ganda
 3. Penambahan variasi benda uji baik berupa ukuran maupun model.

Hasil Pengujian Bahan

Pengujian ini merupakan uji terhadap kekuatan tarik bahan profil lipped channel $60 \times 22 \times 8 \times 1,2$ mm dan $70 \times 22 \times 10 \times 1,2$ mm yang dilakukan di laboratorium Teknik Sipil UII Jogjakarta. Adapun hasil pendahuluan sebagai berikut:

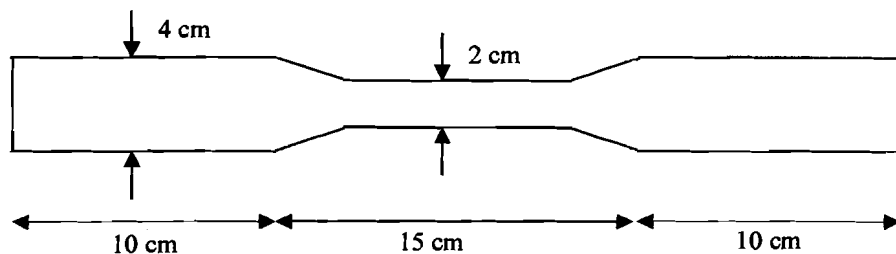


Gambar 1.1 Grafik tegangan – regangan

Beban leleh (a)

Beban maksimum (b)

Beban patah (c)



Gambar L1.1 Benda uji kuat tarik baja

Lampiran 1

1.1. hasil pengujian kuat tarik profil lipped channel 60 x 22 x 8 x 1,2 mm

a. Sampel I

$$\text{Beban leleh} = 240 \text{ kg}$$

$$\text{Beban maksimum} = 385 \text{ kg}$$

Perhitungan

$$\text{Lebar} = 2 \text{ cm}$$

$$\text{Tebal} = 0.12 \text{ cm}$$

$$A_0 = l \times t = 0.24 \text{ cm}$$

$$\text{Kuat leleh (Fy)} = \frac{P_y}{A_0}$$

$$= \frac{240}{0,24}$$

$$= 1000 \text{ kg/cm}^2$$

$$= 100 \text{ Mpa}$$

$$\text{Kuat tarik (Fu)} = \frac{P_u}{A_0}$$

$$= \frac{385}{0,24}$$

$$= 1604,17 \text{ kg/cm}^2$$

$$= 160,417 \text{ Mpa}$$

Lampiran 1

b. Sampel II

$$\text{Beban leleh} = 287,5 \text{ kg}$$

$$\text{Beban maksimum} = 380 \text{ kg}$$

Perhitungan:

$$\text{Lebar} = 2,015 \text{ cm}$$

$$\text{Tebal} = 0,12 \text{ cm}$$

$$A_0 = l \times t = 0,2418 \text{ cm}^2$$

$$\text{Kuat leleh (Fy)} = \frac{P_y}{A_0}$$

$$= \frac{287,5}{0,2418}$$

$$= 1188,99 \text{ kg/cm}^2$$

$$= 118,899 \text{ Mpa}$$

$$\text{Kuat tarik (Fu)} = \frac{P_u}{A_0}$$

$$= \frac{380}{0,2418}$$

$$= 1571,55 \text{ kg/cm}^2$$

$$= 157,155 \text{ Mpa}$$

Lampiran 1

c. Sampel III

Beban leleh = 227,5 kg

Beban maksimum = 360 kg

Perhitungan

Lebar = 2 cm

Tebal = 0,12 cm

$A_0 = l \times t$ = 0,240 cm

$$\text{Kuat leleh } (F_y) = \frac{P_y}{A_0}$$

$$= \frac{227}{0,240}$$

$$= 929,23 \text{ kg/cm}^2$$

$$= 92,923 \text{ Mpa}$$

$$\text{Kuat tarik } (F_u) = \frac{P_u}{A_0}$$

$$= \frac{360}{0,240}$$

$$= 1470,59 \text{ kg/cm}^2$$

$$= 147,059 \text{ Mpa}$$

Lampiran 1

$$\text{kuat leleh rata-rata} = \frac{100 + 118,899 + 92,933}{3}$$

$$= 103,944 \text{ Mpa}$$

$$\text{kuat tarik rata-rata} = \frac{160,417 + 157,155 + 147,059}{3}$$

$$= 154,877 \text{ Mpa}$$

Tabel 1.1 Hasil pengujian kuat tarik baja

| Nilai hasil uji | Benda uji 1 | Benda uji 2 | Benda uji 3 |
|---------------------------------|-------------|-------------|-------------|
| Beban leleh (Kg) | 240 | 287,5 | 227,5 |
| Beban maksimum (Kg) | 385 | 385 | 360 |
| Tegangan Leleh (F_y) | 100 | 118,899 | 92,933 |
| Teg maksimum (F_u) | 160,417 | 157,155 | 147,059 |
| F_y rata-rata (Mpa) (F_u) | 103,944 | | |
| F_u rata-rata (Mpa) | 154,877 | | |

Lampiran 1

1.2 hasil pengujian kuat tarik profil lipped channel 70 x 22 x 8 x 1,2 mm

a. Sampel I

$$\text{Beban leleh} = 252,5 \text{ kg}$$

$$\text{Beban maksimum} = 387,5 \text{ kg}$$

Perhitungan

$$\text{Lebar} = 2 \text{ cm}$$

$$\text{Tebal} = 0,12 \text{ cm}$$

$$A_0 = l \times t = 0,24 \text{ cm}^2$$

$$\text{Kuat leleh } (F_y) = \frac{P_y}{A_0}$$

$$= \frac{252,5}{0,240}$$

$$= 1052,08 \text{ kg/cm}^2$$

$$= 105,208 \text{ Mpa}$$

$$\text{Kuat tarik } (F_u) = \frac{P_u}{A_0}$$

$$= \frac{387,5}{0,240}$$

$$= 1614,58 \text{ kg/cm}^2$$

$$= 161,458 \text{ Mpa}$$

Lampiran 1

b. Sampel II

$$\text{Beban leleh} = 296 \text{ kg}$$

$$\text{Beban maksimum} = 400 \text{ kg}$$

Perhitungan

$$\text{Lebar} = 2,015 \text{ cm}$$

$$\text{Tebal} = 0.12 \text{ cm}$$

$$A_0 = l \times t = 0.2418 \text{ cm}^2$$

$$\text{Kuat leleh } (F_y) = \frac{P_y}{A_0}$$

$$= \frac{296}{0,2418}$$

$$= 1233,33 \text{ kg/cm}^2$$

$$= 123,333 \text{ Mpa}$$

$$\text{Kuat tarik } (F_u) = \frac{P_u}{A_0}$$

$$= \frac{400}{0,2418}$$

$$= 1666,67 \text{ kg/cm}^2$$

$$= 166,667 \text{ Mpa}$$

Lampiran 1

c. Sampel III

Beban leleh = 235,5 kg

Beban maksimum = 377,5 kg

Perhitungan

Lebar = 2 cm

Tebal = 0.12 cm

$A_0 = l \times t$ = 0.240 cm

$$\begin{aligned}\text{Kuat leleh } (F_y) &= \frac{P_y}{A_0} \\ &= \frac{235,5}{0,240} \\ &= 981,25 \text{ kg/cm}^2 \\ &= 98,125 \text{ Mpa}\end{aligned}$$

$$\begin{aligned}\text{Kuat tarik } (F_u) &= \frac{P_u}{A_0} \\ &= \frac{377,5}{0,240} \\ &= 1088,89 \text{ kg/cm}^2 \\ &= 108,889 \text{ Mpa}\end{aligned}$$



Lampiran 1

$$\begin{aligned}\text{kuat leleh rata-rata} &= \frac{105,208 + 123,333 + 98,125}{3} \\ &= 108,889 \text{ Mpa}\end{aligned}$$

$$\begin{aligned}\text{kuat tarik rata-rata} &= \frac{161,458 + 166,667 + 157,292}{3} \\ &= 161,806 \text{ Mpa}\end{aligned}$$

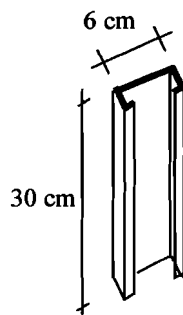
Tabel 1.2 Hasil pengujian kuat tarik baja

| Nilai hasil uji | Benda uji 1 | Benda uji 2 | Benda uji 3 |
|---------------------------------|-------------|-------------|-------------|
| Beban leleh (Kg) | 372,5 | 325 | 327,5 |
| Beban maksimum (Kg) | 387,5 | 400 | 377,5 |
| Tegangan Leleh (F_y) | 105,208 | 123,333 | 98,125 |
| Teg maksimum (F_u) | 161,458 | 166,667 | 157,292 |
| F_y rata-rata (Mpa) (F_u) | 108,889 | | |
| F_u rata-rata (Mpa) | 166,853 | | |

Lampiran 1

2. Uji kuat tekan baja

Pengujian ini merupakan uji terhadap kekuatan tekan bahan profil lipped channel $60 \times 22 \times 8 \times 1,2$ mm yang dilakukan di laboratorium Teknik sipil UII Jogjakarta pengujian menggunakan dua buah benda uji yaitu untuk uji tekuk lokal dan uji tekuk keseluruhan.



Gambar benda uji untuk tekuk lokal & keseluruhan

2.1 Hasil pengujian kuat tekan profil lipped channel $60 \times 22 \times 8 \times 1,2$ mm untuk tekuk lokal

a. Sampel 1

$$\text{beban maksimum} = 1160 \text{ kg}$$

$$\text{kuat desak sampel 1} = \frac{\text{beban maksimum}}{\text{luas tampang}}$$

$$= \frac{1160 \text{ kg}}{114 \cdot 10^{-2} \text{ cm}^2}$$

$$= 805,56 \text{ kg/cm}^2$$

$$= 80,556 \text{ Mpa}$$

Lampiran 1

b. Sampel 2

$$\text{beban maksimum} = 1335 \text{ kg}$$

$$\text{kuat desak sampel 2} = \frac{\text{beban maksimum}}{\text{luas tampang}}$$

$$= \frac{1335\text{kg}}{114.10^{-2}\text{cm}^2}$$

$$= 927,08 \text{ kg/cm}^2$$

$$= 92,708 \text{ Mpa}$$

c. Sampel 3

$$\text{beban maksimum} = 1390 \text{ kg}$$

$$\text{kuat desak sample 3} = \frac{\text{beban maksimum}}{\text{luas tampang}}$$

$$= \frac{1390\text{kg}}{114.10^{-2}\text{cm}^2}$$

$$= 965,28 \text{ kg/cm}^2$$

$$= 96,528 \text{ Mpa}$$

Tabel 1.3 Hasil uji tekan baja untuk tekuk lokal

| Hasil benda uji | Benda uji 1 | Benda uji 2 | Benda uji 3 |
|----------------------------|-------------|-------------|-------------|
| Beban maksimum (kg) | 1160 | 1335 | 1390 |
| Kuat desak (Mpa) | 80,556 | 92,708 | 96,528 |
| Kuat desak rata-rata (Mpa) | 89,931 | | |

Lampiran 1

Hasil pengujian kuat tekan profil lipped channel 60 x 22 x 8 x 1,2 mm untuk tekuk lokal

a. Sampel 1

$$\text{beban maksimum} = 1150 \text{ kg}$$

$$\text{kuat desak sampel 1} = \frac{\text{beban maksimum}}{\text{luas tampang}}$$

$$= \frac{1150\text{kg}}{114 \cdot 10^{-2} \text{cm}^2}$$

$$= 798,61 \text{ kg/cm}^2$$

$$= 79,861 \text{ Mpa}$$

b. Sampel 2

$$\text{beban maksimum} = 1070 \text{ kg}$$

$$\text{kuat desak sampel 2} = \frac{\text{beban maksimum}}{\text{luas tampang}}$$

$$= \frac{1070\text{kg}}{114 \cdot 10^{-2} \text{cm}^2}$$

$$= 743,06 \text{ kg/cm}^2$$

$$= 74,306 \text{ Mpa}$$

c. Sampel 3 luas tampang

$$\text{beban maksimum} = 910 \text{ kg}$$

$$\text{kuat desak sampel 3} = \frac{\text{beban maksimum}}{\text{luas tampang}}$$

$$= \frac{910\text{kg}}{114 \cdot 10^{-2} \text{cm}^2}$$

Lampiran 1

$$= 631,94 \text{ kg/cm}^2$$

$$= 63,194 \text{ Mpa}$$

Tabel 1.4 Hasil uji tekan baja untuk tekuk keseluruhan

| Hasil benda uji | Benda uji 1 | Benda uji 2 | Benda uji 3 |
|----------------------------|-------------|-------------|-------------|
| Beban maksimum (kg) | 1150 | 1070 | 910 |
| Kuat desak (Mpa) | 79,861 | 74,306 | 63,194 |
| Kuat desak rata-rata (Mpa) | | 72,120 | |

Lampiran 1

2.1 Hasil pengujian kuat tekan profil lipped channel 70 x 22 x 8 x 1,2 mm untuk tekuk lokal

a. Sampel 1

$$\text{beban maksimum} = 1320 \text{ kg}$$

$$\text{kuat desak sampel 1} = \frac{\text{beban maksimum}}{\text{luas tampang}}$$

$$= \frac{1320\text{kg}}{156 \cdot 10^{-2} \text{cm}^2}$$

$$= 846,15 \text{ kg/cm}^2$$

$$= 84,615 \text{ Mpa}$$

b. Sampel 2

$$\text{beban maksimum} = 1315 \text{ kg}$$

$$\text{kuat desak sampel 2} = \frac{\text{beban maksimum}}{\text{luas tampang}}$$

$$= \frac{1315\text{kg}}{156 \cdot 10^{-2} \text{cm}^2}$$

$$= 842,95 \text{ kg/cm}^2$$

$$= 84,295 \text{ Mpa}$$

c. Sampel 3

$$\text{beban maksimum} = 1465 \text{ kg}$$

$$\text{kuat desak sample 3} = \frac{\text{beban maksimum}}{\text{luas tampang}}$$

$$= \frac{1465\text{kg}}{156 \cdot 10^{-2} \text{cm}^2}$$

Lampiran 1

$$= 939,10 \text{ kg/cm}^2$$

$$= 93,910 \text{ Mpa}$$

Tabel 1.5 hasil uji tekan baja untuk tekuk lokal

| Hasil benda uji | Benda uji 1 | Benda uji 2 | Benda uji 3 |
|----------------------------|-------------|-------------|-------------|
| Beban maksimum (kg) | 1320 | 1315 | 1465 |
| Kuat desak (Mpa) | 84,615 | 84,295 | 93,91 |
| Kuat desak rata-rata (Mpa) | 87,607 | | |

Hasil pengujian kuat tekan profil lipped channel 70 x 22 x 8 x 1,2 mm untuk tekuk lokal

a. Sampel 1

$$\text{beban maksimum} = 1150 \text{ kg}$$

$$\text{kuat desak sampel 1} = \frac{\text{beban maksimum}}{\text{luas tampang}}$$

$$= \frac{1150\text{kg}}{114 \cdot 10^{-2} \text{cm}^2}$$

$$= 798,61 \text{ kg/cm}^2$$

$$= 79,861 \text{ Mpa}$$

Lampiran 1

b. Sampel 2

$$\text{beban maksimum} = 1070 \text{ kg}$$

$$\begin{aligned}\text{kuat desak sampel 2} &= \frac{\text{beban maksimum}}{\text{luas tampang}} \\ &= \frac{1070\text{kg}}{114.10^{-2}\text{cm}^2} \\ &= 743,06 \text{ kg/cm}^2 \\ &= 74,306 \text{ Mpa}\end{aligned}$$

c. Sampel 3 luas tampang

$$\text{beban maksimum} = 910 \text{ kg}$$

$$\begin{aligned}\text{kuat desak sampel 3} &= \frac{\text{beban maksimum}}{\text{luas tampang}} \\ &= \frac{910\text{kg}}{114.10^{-2}\text{cm}^2} \\ &= 631,94 \text{ kg/cm}^2 \\ &= 63,194 \text{ Mpa}\end{aligned}$$

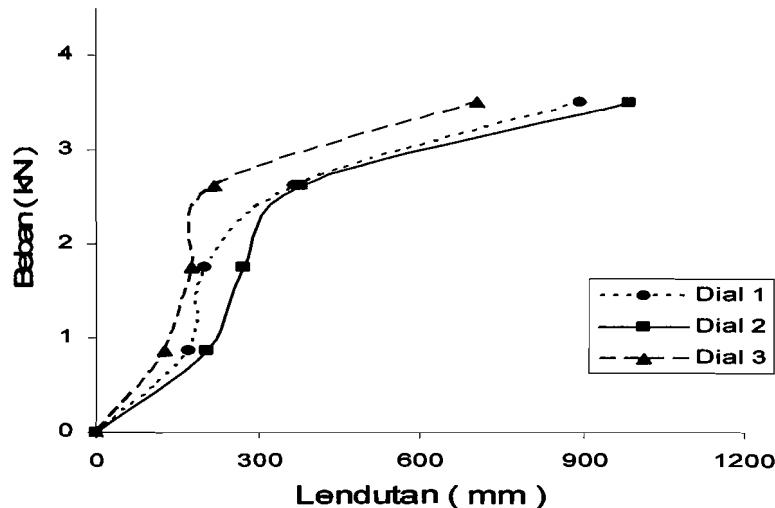
Tabel 1.6 hasil uji tekan baja untuk tekuk keseluruhan

| Hasil benda uji | Benda uji 1 (30 cm) | Benda uji 2 (30 cm) | Benda uji 3 (30 cm) |
|----------------------------|------------------------|------------------------|------------------------|
| Beban maksimum (kg) | 1150 | 1070 | 910 |
| Kuat desak (Mpa) | 79,861 | 74,306 | 63,194 |
| Kuat desak rata-rata (Mpa) | 72,120 | | |

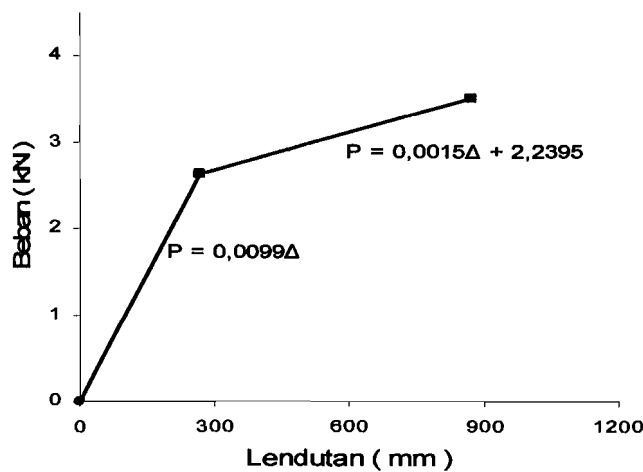
Hasil Pengujian Struktur Rangka Batang Kuda-kuda.

Tabel 5.5 Hubungan beban dan lendutan benda uji 1

| Beban (kN) | Dial 1 (mm) (*10^-2) | Dial 2 (mm) (*10^-2) | Dial 3 (mm) (*10^-2) |
|---------------|----------------------------|----------------------------|----------------------------|
| 0 | 0 | 0 | 0 |
| 0,875 | 175 | 205 | 127 |
| 1,750 | 202 | 274 | 177 |
| 2,625 | 369 | 382 | 220 |
| 3,500 | 894 | 985 | 705 |



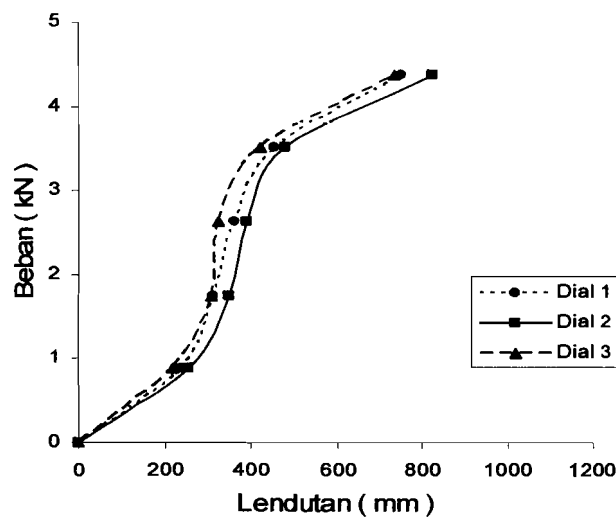
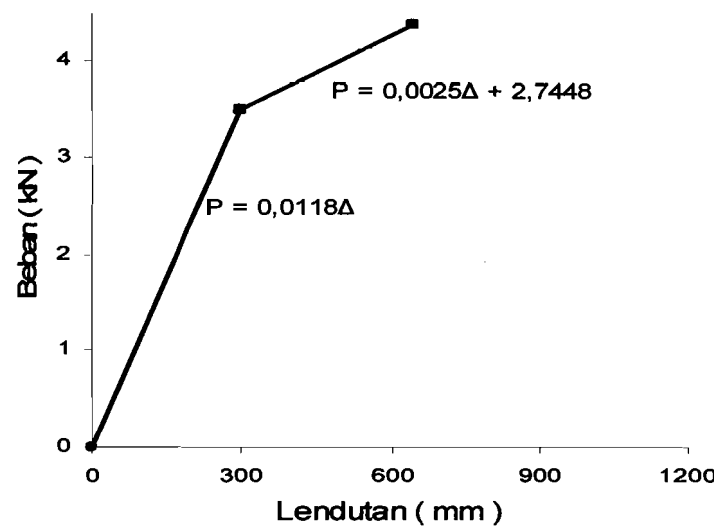
Gambar 5.2 Grafik Hubungan beban – lendutan benda uji 1



Gambar 5.3 Regresi hubungan beban – lendutan benda uji 1

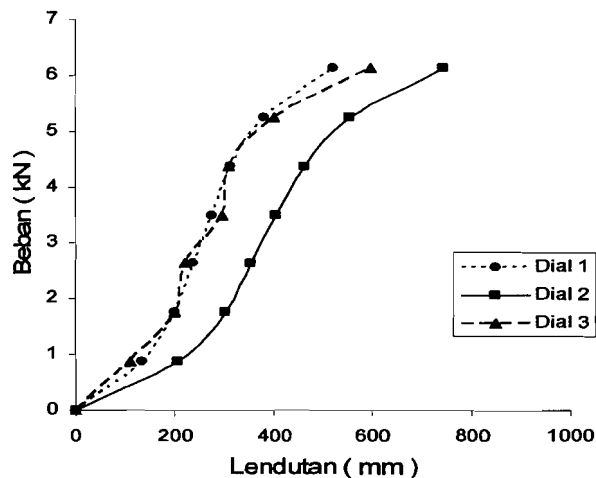
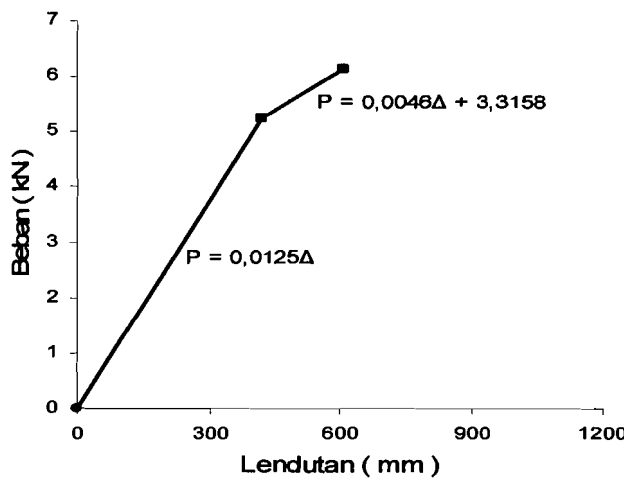
Tabel 5.6 Hubungan beban dan lendutan benda uji 2

| Beban (kN) | Dial 1 (mm) (*10^-2) | Dial 2 (mm) (*10^-2) | Dial 3 (mm) (*10^-2) |
|-----------------|----------------------------|----------------------------|----------------------------|
| 0,000 | 0 | 0 | 0 |
| 0,875 | 238 | 257 | 219 |
| 1,750 | 312 | 350 | 311 |
| 2,625 | 364 | 391 | 327 |
| 3,500 | 452 | 480 | 420 |
| 4,375 | 751 | 825 | 735 |

**Gambar 5.4** Grafik hubungan beban – lendutan benda uji 2**Gambar 5.5** Regresi hubungan beban – lendutan benda uji 2

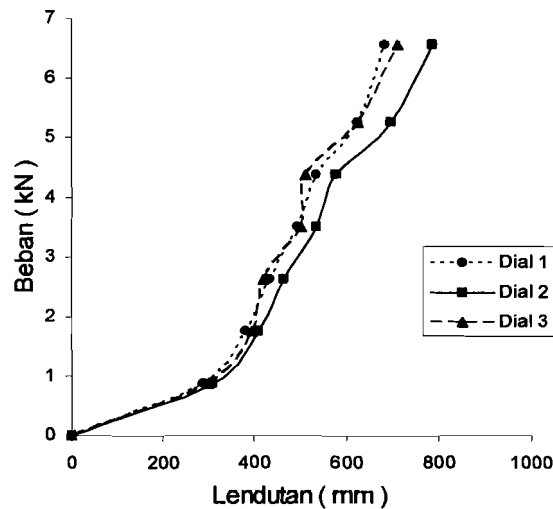
Tabel 5.7 Hubungan beban dan lendutan benda uji 3

| Beban (kN) | Dial 1 (mm) (*10^-2) | Dial 2 (mm) (*10^-2) | Dial 3 (mm) (*10^-2) |
|-----------------|----------------------------|----------------------------|----------------------------|
| 0,000 | 0 | 0 | 0 |
| 0,875 | 133 | 204 | 110 |
| 1,750 | 200 | 300 | 197 |
| 2,625 | 236 | 353 | 220 |
| 3,500 | 275 | 405 | 293 |
| 4,375 | 312 | 461 | 309 |
| 5,250 | 379 | 554 | 400 |
| 6,125 | 519 | 744 | 595 |

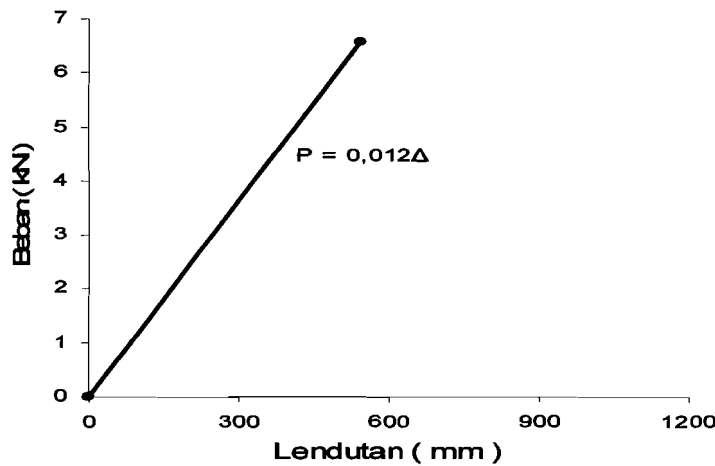
**Gambar 5.6** Grafik hubungan beban – lendutan benda uji 3**Gambar 5.7** Regresi hubungan beban – lendutan benda uji 3

Tabel 5.8 Hubunga beban dan lendutan benda uji 4

| Beban (kN) | Dial 1 (mm) (*10^-2) | Dial 2 (mm) (*10^-2) | Dial 3 (mm) (*10^-2) |
|-----------------|----------------------------|----------------------------|----------------------------|
| 0 | 0 | 0 | 0 |
| 0,87 | 289 | 312 | 300 |
| 1,75 | 382 | 410 | 396 |
| 2,62 | 432 | 465 | 421 |
| 3,50 | 496 | 535 | 501 |
| 4,37 | 537 | 580 | 513 |
| 5,25 | 624 | 695 | 625 |
| 6,56 | 684 | 785 | 710 |



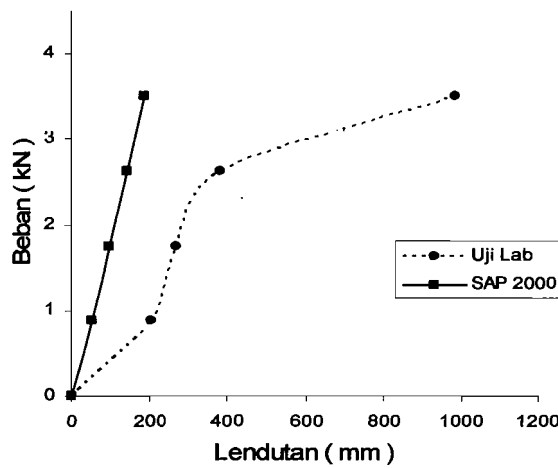
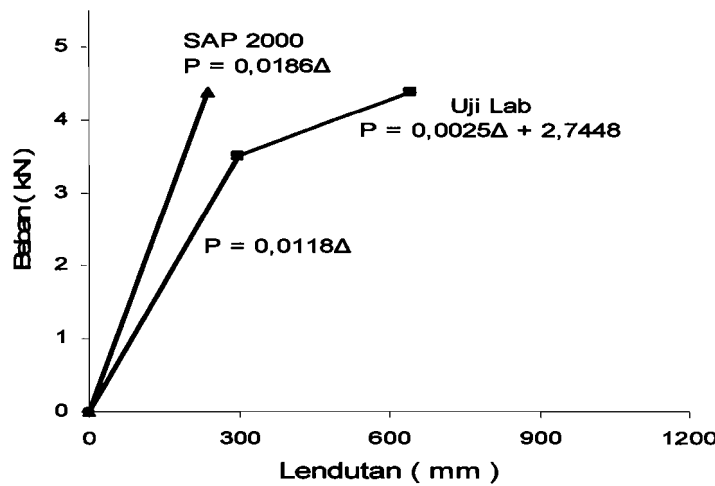
Gambar 5.8 Grafik hubungan beban – lendutan benda uji 4



Gambar 5.9 Regresi hubungan beban – lendutan benda uji 4

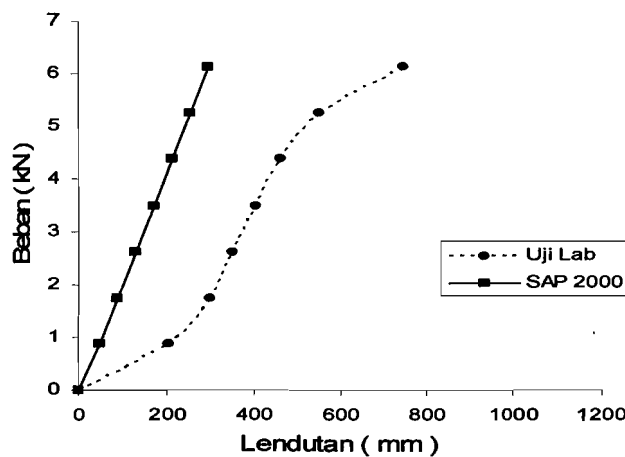
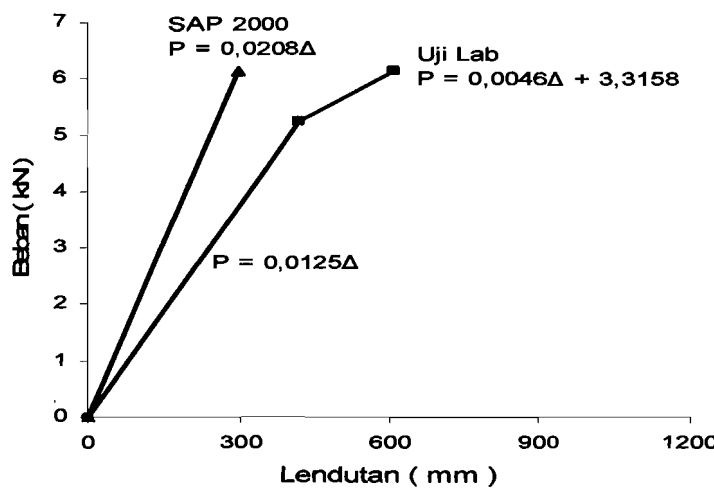
Tabel 5.9 Hubungan beban – lendutan analisis SAP 2000 benda uji 1

| No | Beban (kN) | Dial 1 (mm) (*10^-2) | Dial 2 (mm) (*10^-2) | Dial 3 (mm) (*10^-2) |
|----|-----------------|------------------------------|------------------------------|------------------------------|
| 1 | 0,000 | 0 | 0 | 0 |
| 2 | 0,875 | 86 | 171 | 86 |
| 3 | 1,750 | 157 | 314 | 157 |
| 4 | 2,625 | 227 | 454 | 227 |
| 5 | 3,500 | 298 | 597 | 298 |

**Gambah 5.10** Grafik Beban – Lendutan analisis SAP 2000 bebda uji 1**Gambah 5.11** Regresi Beban – Lendutan analisis SAP 2000 bebda uji 1

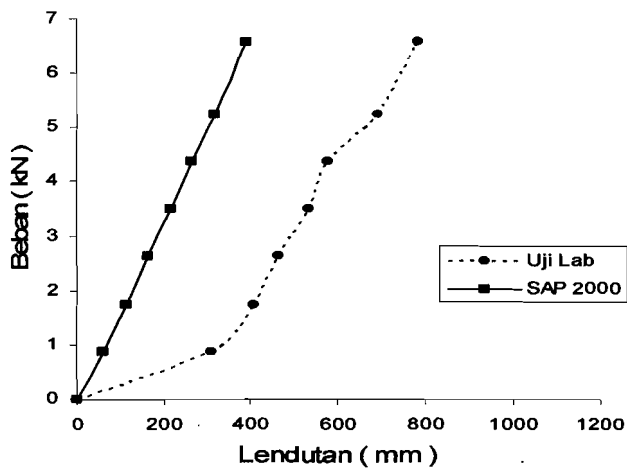
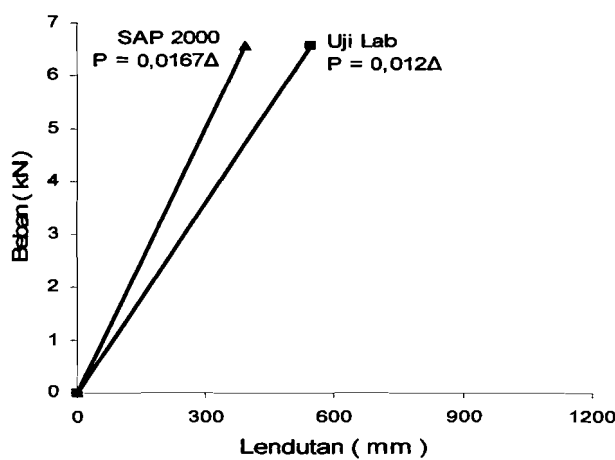
Tabel 5.10 Hubungan beban – lendutan analisis SAP 2000 benda uji 2

| No | Beban (kN) | Dial 1 (mm) (*10^-2) | Dial 2 (mm) (*10^-2) | Dial 3 (mm) (*10^-2) |
|----|------------|------------------------|------------------------|------------------------|
| 1 | 0,000 | 0 | 0 | 0 |
| 2 | 0,875 | 156 | 176 | 156 |
| 3 | 1,750 | 279 | 318 | 279 |
| 4 | 2,625 | 400 | 459 | 400 |
| 5 | 3,500 | 523 | 602 | 523 |
| 6 | 4,375 | 646 | 743 | 646 |

**Gambah 5.12** Grafik Beban – Lendutan analisis SAP 2000 bebda uji 2**Gambah 5.13** Regresi Beban – Lendutan analisis SAP 2000 bebda uji 2

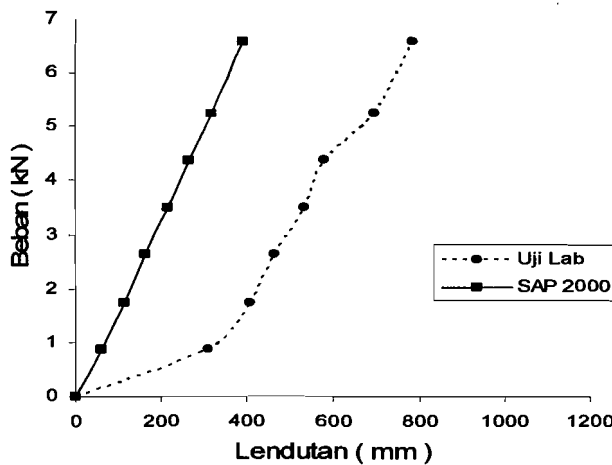
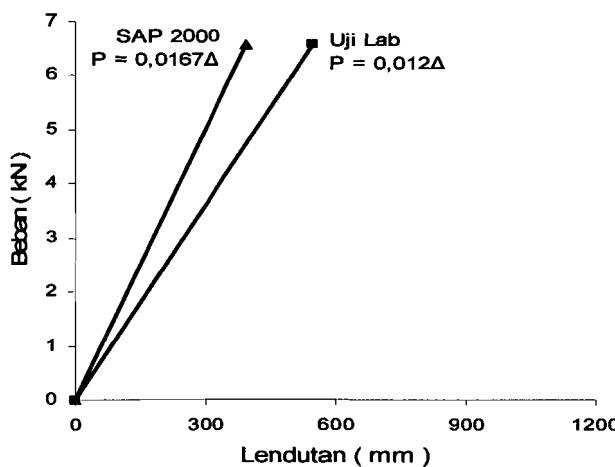
Tabel 5.10 Hubungan beban – lendutan analisis SAP 2000 benda uji 3

| No | Beban (kN) | Dial 1 (mm) (*10^-2) | Dial 2 (mm) (*10^-2) | Dial 3 (mm) (*10^-2) |
|----|------------|------------------------|------------------------|------------------------|
| 1 | 0,000 | 0 | 0 | 0 |
| 2 | 0,875 | 50 | 100 | 50 |
| 3 | 1,750 | 91 | 182 | 91 |
| 4 | 2,625 | 131 | 263 | 131 |
| 5 | 3,500 | 172 | 345 | 172 |
| 6 | 4,375 | 213 | 426 | 213 |
| 7 | 5,250 | 254 | 507 | 254 |
| 8 | 6,125 | 294 | 589 | 294 |

**Gambah 5.14** Grafik Beban – Lendutan analisis SAP 2000 bebda uji 3**Gambah 5.15** Regresi Beban – Lendutan analisis SAP 2000 bebda uji 3

Tabel 5.9 Hubungan beban – lendutan analisis SAP 2000 benda uji 4

| No | Beban (kN) | Dial 1 (mm) (*10^-2) | Dial 2 (mm) (*10^-2) | Dial 3 (mm) (*10^-2) |
|----|------------|------------------------|------------------------|------------------------|
| 1 | 0,000 | 0,000 | 0,000 | 0,000 |
| 2 | 0,875 | 109,132 | 123,872 | 109,132 |
| 3 | 1,750 | 197,152 | 225,821 | 197,152 |
| 4 | 2,625 | 284,171 | 326,611 | 284,171 |
| 5 | 3,500 | 372,190 | 428,559 | 372,190 |
| 6 | 4,375 | 459,709 | 529,928 | 459,709 |
| 7 | 5,250 | 547,228 | 631,298 | 547,228 |
| 8 | 6,562 | 678,256 | 783,062 | 678,256 |

**Gambar 5.10** Grafik hubungan beban – lendutan analisis SAP 2000**Gambar 5.11** Regresi hubungan beban – lendutan analisis SAP 2000

Perhitungan kekakuan benda uji

a. benda uji 1

Persamaan garis regresi 1

$$P = 0.0069 \Delta$$

$$\phi = \frac{P}{\Delta} = 0.0069 \Delta$$

$$P = 2,6249934 \text{ kN}$$

$$\Delta = 3.82 \text{ mm}$$

$$\begin{aligned} \operatorname{tg} \varphi &= k = \frac{2,6249934}{3.82} \\ &= 0.6871711 \text{ kN/mm} \end{aligned}$$

Persamaan garis regresi 2

$$P = 0.0069 \Delta + 2.0707$$

$$\phi = \frac{P}{\Delta} = 0.0069 \Delta + 2,0707$$

$$P = 3.4999913 \text{ kN}$$

$$\Delta = 9,85 \text{ mm}$$

$$\begin{aligned} \operatorname{tg} \varphi &= k = \frac{3,4999913}{9,85} \\ &= 0,3553291 \text{ kN/mm} \end{aligned}$$

b. benda uji 2

Persamaan garis regresi 1

$$P = 0,0073 \Delta$$

$$\phi = \frac{P}{\Delta} = 0,0073 \Delta$$

$$P = 3,4999913 \text{ kN}$$

$$\Delta = 4,8 \text{ mm}$$

$$\begin{aligned}\operatorname{tg} \varphi &= k = \frac{3,4999913}{4,8} \\ &= 0,7291648 \text{ kN/mm}\end{aligned}$$

Persamaan garis regresi 2

$$P = 0,0025 \Delta + 2,2826$$

$$\phi = \frac{P}{\Delta} = 0,0069 \Delta + 2,2826$$

$$P = 4,3749891 \text{ kN}$$

$$\Delta = 8,25 \text{ mm}$$

$$\begin{aligned}\operatorname{tg} \varphi &= k = \frac{4,3749891}{8,25} \\ &= 0,5303017 \text{ kN/mm}\end{aligned}$$

c. benda uji 3

Persamaan garis regresi 1

$$P = 0,0095 \Delta$$

$$\phi = \frac{P}{\Delta} = 0,0095 \Delta$$

$$P = 5,2499869 \text{ kN}$$

$$\Delta = 5,54 \text{ mm}$$

$$\begin{aligned}\operatorname{tg} \varphi &= k = \frac{5,2499869}{5,54} \\ &= 0,9476511 \text{ kN/mm}\end{aligned}$$

Persamaan garis regresi 2

$$P = 0,0046 \Delta + 2,6987$$

$$\phi = \frac{P}{\Delta} = 0,0046 \Delta + 2,6987$$

$$P = 6,1249847 \text{ kN}$$

$$\Delta = 7,44 \text{ mm}$$

$$\begin{aligned} \operatorname{tg} \varphi &= k = \frac{6,1249847}{7,44} \\ &= 0,9476511 \text{ kN/mm} \end{aligned}$$

d. benda uji 4

Persamaan garis regresi 1

$$P = 0,0084 \Delta$$

$$\phi = \frac{P}{\Delta} = 0,0084 \Delta$$

$$P = 6,5624836 \text{ kN}$$

$$\Delta = 7,85 \text{ mm}$$

$$\begin{aligned} \operatorname{tg} \varphi &= k = \frac{6,5624836}{7,85} \\ &= 0,8359852 \text{ kN/mm} \end{aligned}$$

| Benda Uji | Beban maks (kN) | Lendutan (mm) | Kekakuan (kN / mm) |
|-----------|-------------------|-----------------|----------------------|
| 1 | 3,500 | 9,85 | 0,3553291 |
| 2 | 4,375 | 8,25 | 0,5303017 |
| 3 | 6,125 | 7,44 | 0,8232506 |
| 4 | 6,562 | 7,85 | 0,8359852 |

Table 5.11 Hubungan momen - kelengkungan benda uji 1

| Beban (kN) | Pembacaan dial (.10 ⁻² mm) | | | Momen (kN.m) | Kelengkungan (.10 ⁻⁵ /mm) |
|---------------|---------------------------------------|--------|--------|-----------------|---|
| | Dial 1 | Dial 2 | Dial 3 | | |
| 0,000 | 0,000 | 0,000 | 0,000 | 0,000 | 0,000 |
| 0,875 | 1,750 | 2,050 | 1,270 | 1,312 | 4,800 |
| 1,750 | 2,020 | 2,740 | 1,770 | 2,625 | 7,511 |
| 2,625 | 3,690 | 3,820 | 2,200 | 3,937 | 7,778 |
| 3,500 | 8,940 | 9,850 | 7,050 | 5,250 | 16,489 |

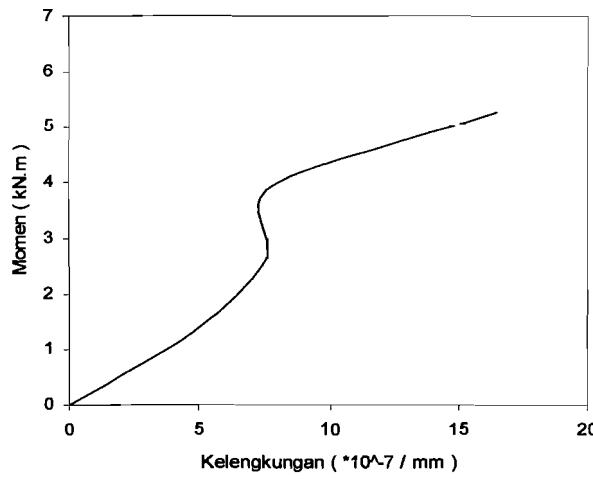
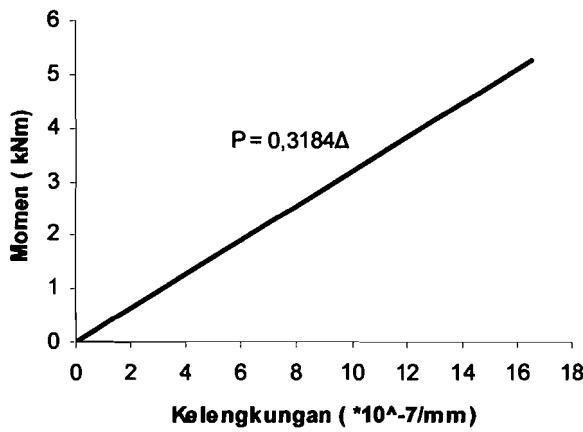
**Gambar 5.14** Grafik Hubungan momen - kelengkungan benda uji 1**Gambar 5.15** Regresi Hubungan Momen - kelengkungan benda uji 1

Table 5.12 Hubungan momen - kelengkungan benda uji 2

| Beban (kN) | Pembacaan dial (.10 ⁻² mm) | | | Momen (kN.m) | Kelengkungan (.10 ⁻⁵ /mm) |
|---------------|---------------------------------------|--------|--------|-----------------|---|
| | Dial 1 | Dial 2 | Dial 3 | | |
| 0,000 | 0,000 | 0,000 | 0,000 | 0,000 | 0,000 |
| 0,875 | 2,38 | 2,57 | 2,19 | 1,312 | 2,533 |
| 1,750 | 3,12 | 3,50 | 3,11 | 2,625 | 3,422 |
| 2,625 | 3,64 | 3,91 | 3,27 | 3,937 | 4,044 |
| 3,500 | 4,52 | 4,80 | 4,20 | 5,250 | 3,911 |
| 4,375 | 7,51 | 8,25 | 7,35 | 6,562 | 7,289 |

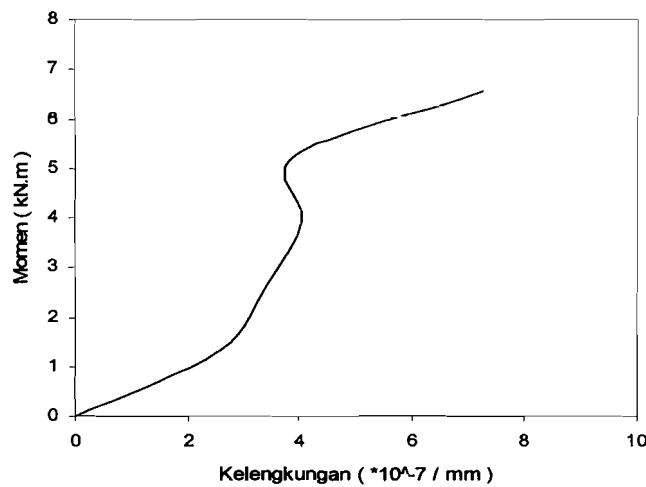
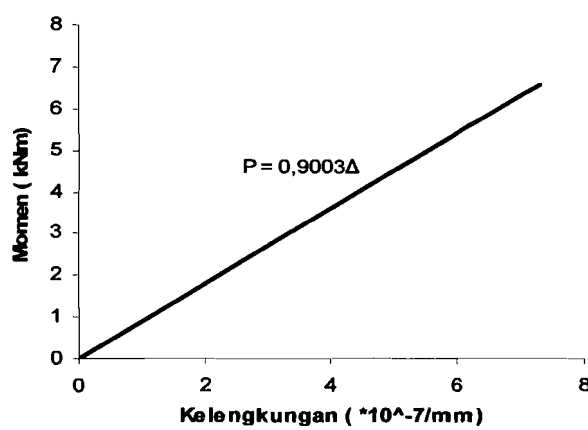
**Gambar 5.16** Grafik Hubungan momen - kelengkungan benda uji 2**Gambar 5.17** Regresi Hubungan Momen - kelengkungan benda uji 2

Table 5.13 Hubungan momen - kelengkungan benda uji 3

| Beban (kN) | Pembacaan dial (.10 ⁻² mm) | | | Momen (kN.m) | Kelengkungan (.10 ⁻⁵ /mm) |
|---------------|---------------------------------------|--------|--------|-----------------|---|
| | Dial 1 | Dial 2 | Dial 3 | | |
| 0,000 | 0,00 | 0,00 | 0,00 | 0,00 | 0,0000 |
| 0,875 | 1,33 | 2,04 | 1,10 | 1,312 | 7,3330 |
| 1,750 | 2,00 | 3,00 | 1,97 | 2,625 | 9,0220 |
| 2,625 | 2,36 | 3,53 | 2,20 | 3,937 | 11,111 |
| 3,500 | 2,75 | 4,05 | 2,93 | 5,250 | 10,756 |
| 4,375 | 3,12 | 4,61 | 3,09 | 6,562 | 13,378 |
| 5,250 | 3,79 | 5,54 | 4,00 | 7,875 | 14,622 |
| 6,125 | 5,19 | 7,44 | 5,95 | 9,187 | 16,622 |

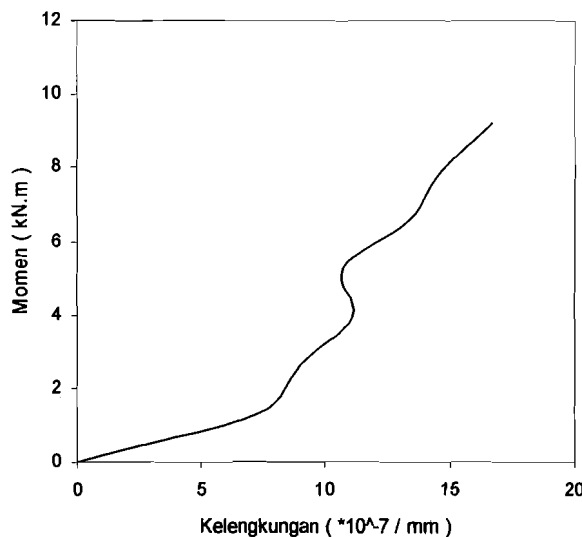
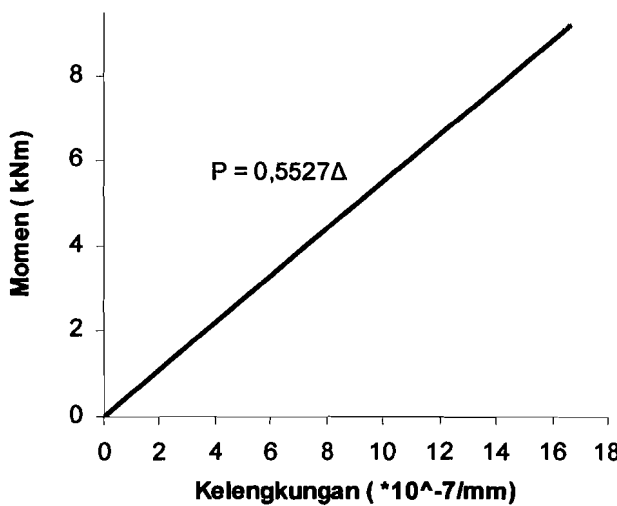
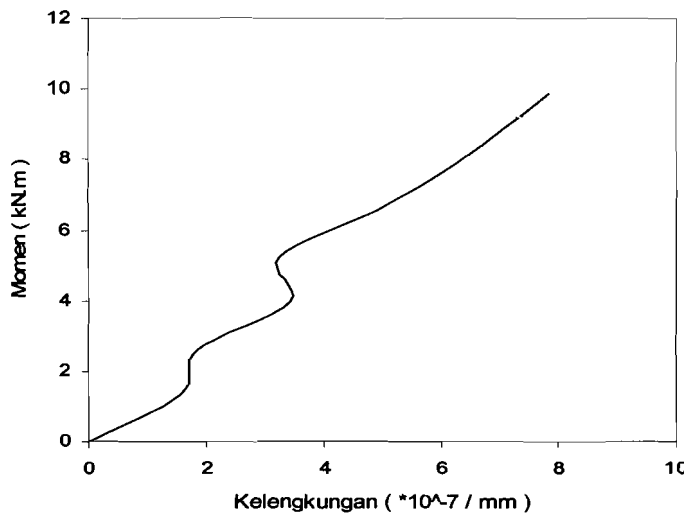
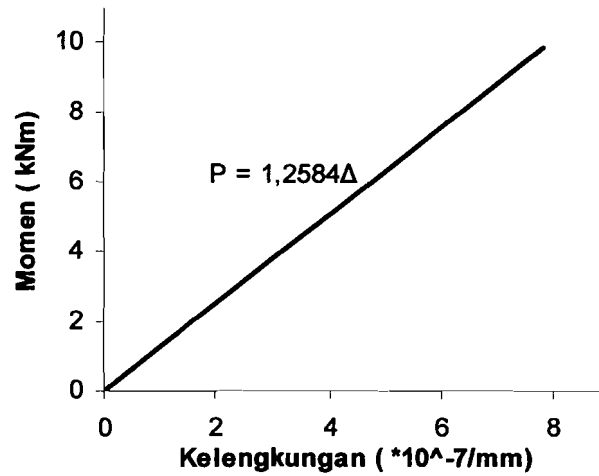
**Gambar 5.18** Grafik Hubungan momen - kelengkungan benda uji 3**Gambar 5.19** Regresi Hubungan Momen - kelengkungan benda uji 3

Table 5.14 Hubungan momen - kelengkungan benda uji 4

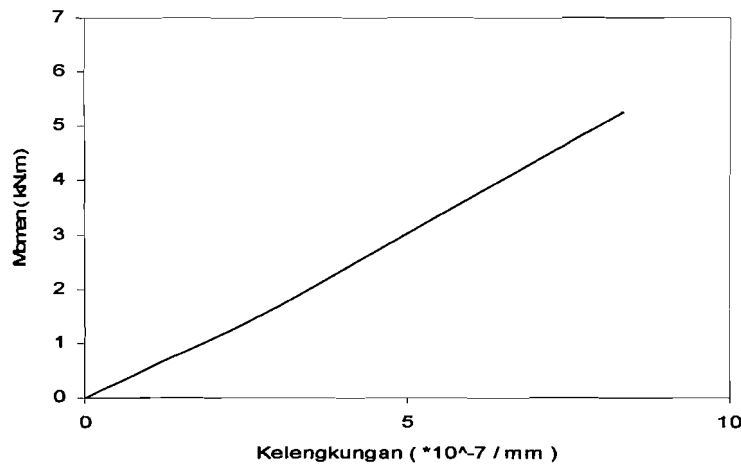
| Beban (kN) | Pembacaan dial (.10 ⁻² mm) | | | Momen (kN.m) | Kelengkungan (.10 ⁻⁵ /mm) |
|---------------|---------------------------------------|--------|--------|-----------------|---|
| | Dial 1 | Dial 2 | Dial 3 | | |
| 0,000 | 0,00 | 0,00 | 0,00 | 0,00 | 0,000 |
| 0,875 | 2,89 | 3,12 | 3,00 | 1,312 | 1,556 |
| 1,750 | 3,82 | 4,10 | 3,96 | 2,625 | 1,867 |
| 2,625 | 4,32 | 4,65 | 4,21 | 3,937 | 3,422 |
| 3,500 | 4,96 | 5,35 | 5,01 | 5,250 | 3,244 |
| 4,375 | 5,37 | 5,80 | 5,13 | 6,562 | 4,889 |
| 5,250 | 6,24 | 6,95 | 6,25 | 7,875 | 6,267 |
| 6,562 | 6,84 | 7,85 | 7,10 | 9,844 | 7,822 |

**Gambar 5.20** Grafik Hubungan momen - kelengkungan benda uji 4**Gambar 5.21** Regresi Hubungan Momen - kelengkungan benda uji 4

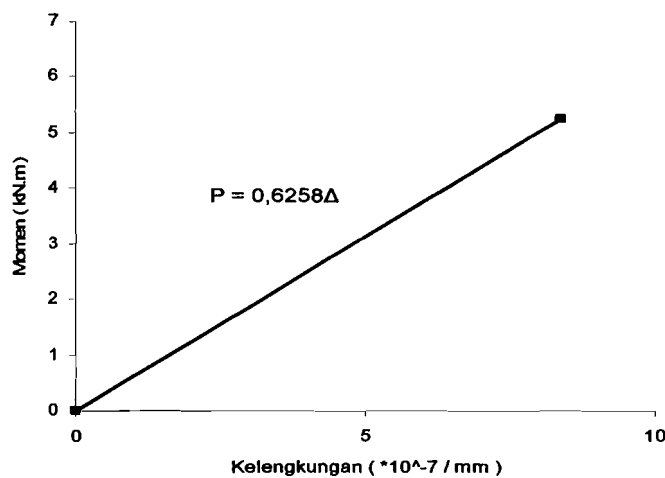
5.4.1 Hubungan momen (P) - Kelengkungan (ϕ) Hasil Analisis SAP 2000

Table 5.15 Hubungan momen - kelengkungan analisis SAP 2000 Benda uji 1

| No | Beban (kN) | Dial 1 (mm) | Dial 2 (mm) | Dial 3 (mm) | Momen (kN.m) | Kelengkungan (*10^-7 / mm) |
|----|------------|-------------|-------------|-------------|--------------|----------------------------|
| 1 | 0 | 0,0000 | 0,0000 | 0,0000 | 0 | 0,000 |
| 2 | 0,875 | 0,2704 | 0,5408 | 0,2704 | 1,312 | 2,403 |
| 3 | 1,750 | 0,4957 | 0,9914 | 0,4957 | 2,625 | 4,406 |
| 4 | 2,625 | 0,7184 | 1,4369 | 0,7184 | 3,937 | 6,386 |
| 5 | 3,500 | 0,9437 | 1,8875 | 0,9437 | 5,250 | 8,389 |



Gambar 5.22 Grafik Hubungan momen - kelengkungan analisis SAP 2000 Benda uji 1



Gambar 5.23 Regresi Hubungan momen - kelengkungan analisis SAP 2000 Benda uji 1

Table 5.16 Hubungan momen - kelengkungan analisis SAP 2000 Benda uji 2

| No | Beban (kN) | Dial 1 (mm) | Dial 2 (mm) | Dial 3 (mm) | Momen (kN.m) | Kelengkungan (*10^-7 /mm) |
|----|------------|---------------|---------------|---------------|----------------|----------------------------|
| 1 | 0 | 0 | 0 | 0 | 0 | 0,000 |
| 2 | 0,875 | 0,49 | 0,56 | 0,49 | 1,312 | 0,566 |
| 3 | 1,750 | 0,88 | 1,01 | 0,88 | 2,625 | 1,114 |
| 4 | 2,625 | 1,27 | 1,45 | 1,27 | 3,937 | 1,655 |
| 5 | 3,500 | 1,65 | 1,90 | 1,65 | 5,250 | 2,202 |
| 6 | 4,375 | 2,04 | 2,35 | 2,04 | 6,562 | 2,746 |

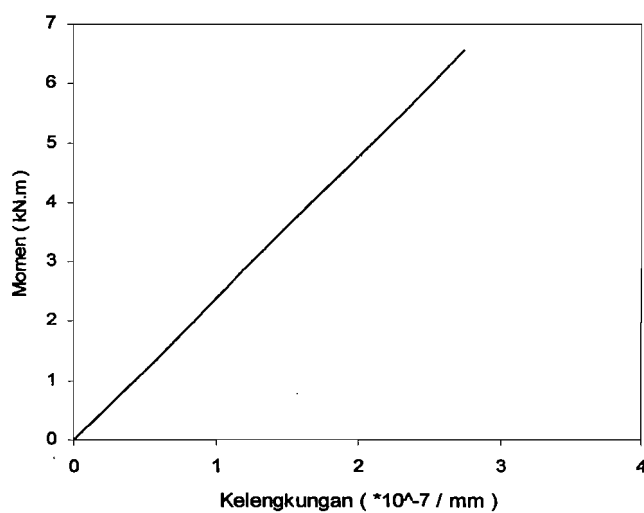
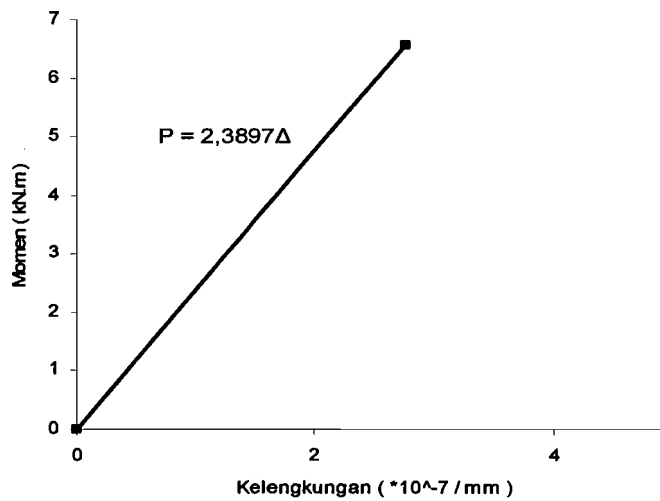
**Gambar 5.24** Grafik Hubungan momen - kelengkungan analisis SAP 2000 Benda uji 2**Gambar 5.25** Regresi Hubungan momen - kelengkungan analisis SAP 2000 Benda uji 2

Table 5.17 Hubungan momen - kelengkungan analisis SAP 2000 Benda uji 3

| No | Beban (kN) | Dial 1 (mm) | Dial 2 (mm) | Dial 3 (mm) | Momen (kN.m) | Kelengkungan (*10^-7 /mm) |
|----|------------|---------------|---------------|---------------|----------------|----------------------------|
| 1 | 0 | 0 | 0 | 0 | 0 | 0,000 |
| 2 | 0,875 | 0,25 | 0,50 | 0,25 | 1,312 | 2,226 |
| 3 | 1,750 | 0,46 | 0,91 | 0,46 | 2,625 | 4,049 |
| 4 | 2,625 | 0,66 | 1,32 | 0,66 | 3,937 | 5,852 |
| 5 | 3,500 | 0,86 | 1,73 | 0,86 | 5,250 | 7,675 |
| 6 | 4,375 | 1,07 | 2,13 | 1,07 | 6,563 | 9,488 |
| 7 | 5,250 | 1,27 | 2,54 | 1,27 | 7,875 | 11,301 |
| 8 | 6,125 | 1,48 | 2,95 | 1,48 | 9,187 | 13,114 |

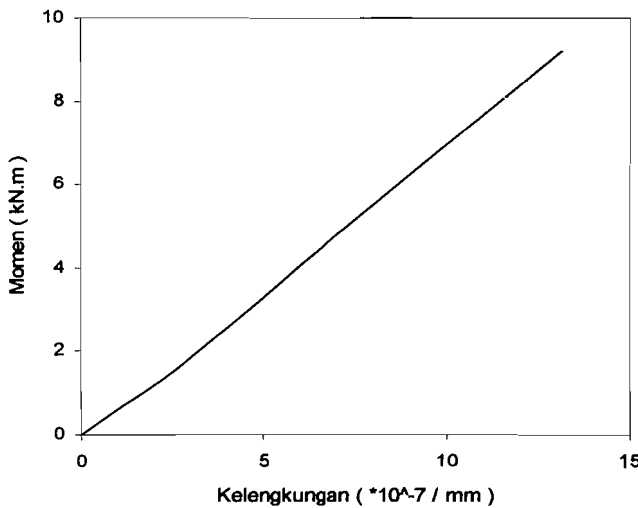
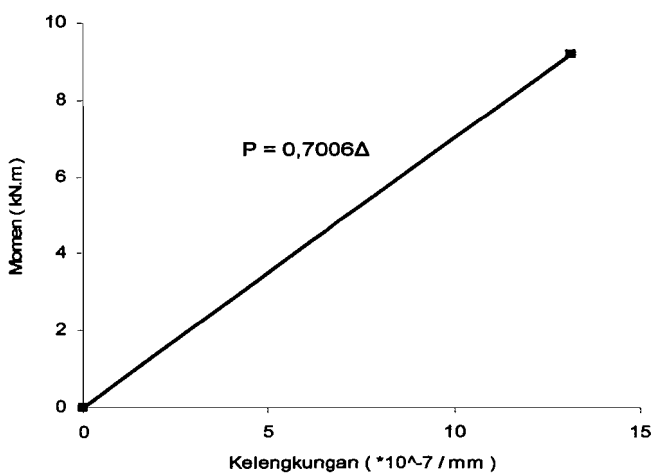
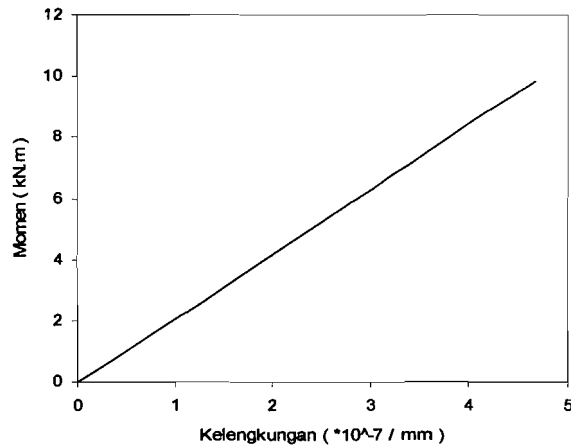
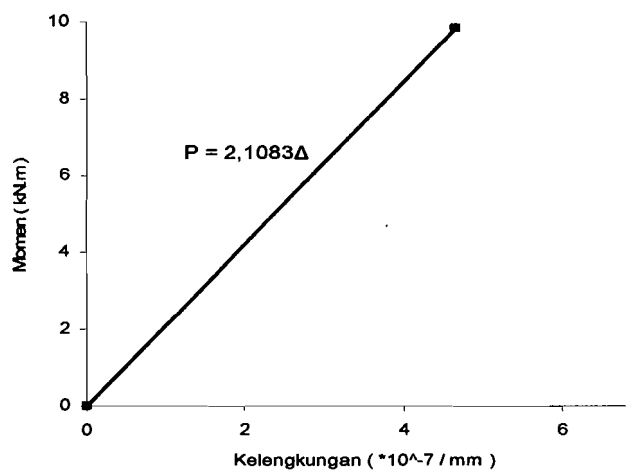
**Gambar 5.26** Grafik Hubungan momen - kelengkungan analisis SAP 2000 Benda uji 3**Gambar 5.27** Regresi hubungan momen - kelengkungan analisis SAP 2000 Benda uji 3

Table 5.18 Hubungan momen - kelengkungan analisis SAP 2000 Benda uji 4

| No | Beban (kN) | Dial 1 (mm) | Dial 2 (mm) | Dial 3 (mm) | Momen (kN.m) | Kelengkungan (*10 ⁻⁷ / mm) |
|----|------------|---------------|---------------|---------------|----------------|--|
| 1 | 0 | 0 | 0 | 0 | 0 | 0,000 |
| 2 | 0,875 | 0,55 | 0,62 | 0,55 | 1,312 | 0,657 |
| 3 | 1,750 | 0,99 | 1,13 | 0,99 | 2,625 | 1,277 |
| 4 | 2,625 | 1,42 | 1,64 | 1,42 | 3,937 | 1,891 |
| 5 | 3,500 | 1,87 | 2,15 | 1,87 | 5,250 | 2,511 |
| 6 | 4,375 | 2,30 | 2,66 | 2,30 | 6,562 | 3,128 |
| 7 | 5,250 | 2,74 | 3,16 | 2,74 | 7,875 | 3,745 |
| 8 | 6,562 | 3,40 | 3,92 | 3,40 | 9,844 | 4,669 |



Gambar 5.28 Grafik Hubungan Momen - kelengkungan analisis SAP 2000 Benda uji 4



Gambar 5.29 Regresi hubungan momen - kelengkungan analisis SAP 2000 Benda uji 4

Perhitungan Faktor kekakuan berdasarkan hubungan momen – kelengkungan

a. benda uji 1

Momen Maksimum = 5,256 kNm; $\phi = 16,489 \cdot 10^{-5}/\text{mm}$

$$\begin{aligned} EI &= \frac{M}{\phi} \\ &= \frac{5256}{16,489} \\ &= 31839408,09 \text{ kNm}^2 \end{aligned}$$

b. benda uji 2

Momen Maksimum = 6,563 kNm; $\phi = 7,289 \cdot 10^{-5}/\text{mm}$

$$\begin{aligned} EI &= \frac{M}{\phi} \\ &= \frac{6563}{7,289} \\ &= 90039785,98 \text{ kNm}^2 \end{aligned}$$

c. benda uji 3

Momen Maksimum = 6,563 kNm; $\phi = 7,289 \cdot 10^{-5}/\text{mm}$

$$\begin{aligned} EI &= \frac{M}{\phi} \\ &= \frac{6563}{7,289} \\ &= 83816579,38 \text{ kNm}^2 \end{aligned}$$

d. benda uji 4

Momen Maksimum = 9,187 kNm; $\phi = 16,622 \cdot 10^{-5}/\text{mm}$

$$\begin{aligned} EI &= \frac{M}{\phi} \\ &= \frac{9187}{16,622} \\ &= 125850166,20 \text{ kNmm}^2 \end{aligned}$$

e. Analisis SAP 2000

Momen Maksimum = 9,187 kNm; $\phi = 7,822 \cdot 10^{-5}/\text{mm}$

$$\begin{aligned} EI &= \frac{M}{\phi} \\ &= \frac{9187}{7,822} \\ &= 117450779,85 \text{ kNmm}^2 \end{aligned}$$

| Benda uji | Momen maksimum (kN.mm) | ϕ ($10^{-5} / \text{mm}$) | Fakor kekakuan (kN.mm) |
|-----------|---------------------------|-------------------------------------|---------------------------|
| 1 | 5,250 | 16,489 | 31839408,09 |
| 2 | 6,263 | 7,289 | 90039785,98 |
| 3 | 9,187 | 16,622 | 125850166,20 |
| 4 | 9,844 | 7,822 | 125850166,20 |
| SAP 2000 | 9,187 | 7,822 | 117450779,85 |

Data gaya batang (element force) aksial (P) analisa SAP 2000

Beban maksimum ($P_{maksimum}$) hasil pengujian digunakan untuk mencari gaya batang elemen kuda-kuda, data gaya batang (P) hasil analisa SAP 2000 diberikan pada tabel dibawah ini

Benda uji 1

$$P_{maksimum} = 3,5 \text{ kN}$$

Tabel L.3.1 Gaya batang benda uji 1

| NO BATANG | Station mm | P KN |
|--------------|---------------|-----------|
| 1 | 0 | -5,39388 |
| 1 | 798 | -5,38875 |
| 1 | 1596 | -5,38363 |
| 2 | 0 | -5,33913 |
| 2 | 798 | -5,33401 |
| 2 | 1596 | -5,32889 |
| 3 | 0 | -5,32889 |
| 3 | 798 | -5,33401 |
| 3 | 1596 | -5,33913 |
| 4 | 0 | -5,38363 |
| 4 | 798 | -5,38875 |
| 4 | 1596 | -5,39388 |
| 5 | 0 | 5,063724 |
| 5 | 500 | 5,063724 |
| 5 | 1000 | 5,063724 |
| 5 | 1500 | 5,063724 |
| 5 | 2000 | 5,063724 |
| 5 | 2500 | 5,063724 |
| 5 | 3000 | 5,063724 |
| 6 | 0 | 5,063724 |
| 6 | 500 | 5,063724 |
| 6 | 1000 | 5,063724 |
| 6 | 1500 | 5,063724 |
| 6 | 2000 | 5,063724 |
| 6 | 2500 | 5,063724 |
| 6 | 3000 | 5,063724 |
| 7 | 0 | -5,73E-02 |
| 7 | 798 | -5,47E-02 |
| 7 | 1596 | -5,22E-02 |

Lampiran 3

Tabel L.3.2 lanjutan Gaya batang Benda uji 1

| | | |
|---|------|-----------|
| 8 | 0 | 0,118982 |
| 8 | 546 | 0,113858 |
| 8 | 1092 | 0,108734 |
| 9 | 0 | -5,73E-02 |
| 9 | 0 | -5,73E-02 |
| 9 | 798 | -5,47E-02 |
| 9 | 1596 | -5,22E-02 |

Benda uji 2**P maksimum = 4,375 kN****Tabel L.3.3 Gaya batang Benda uji 2**

| NO | Station | P |
|--------|---------|--------|
| BATANG | mm | KN |
| 1 | 0 | 6,318 |
| 1 | 500 | 6,318 |
| 1 | 1000 | 6,318 |
| 1 | 1500 | 6,318 |
| 2 | 0 | 6,318 |
| 2 | 500 | 6,318 |
| 2 | 1000 | 6,318 |
| 2 | 1500 | 6,318 |
| 3 | 0 | 6,318 |
| 3 | 500 | 6,318 |
| 3 | 1000 | 6,318 |
| 3 | 1500 | 6,318 |
| 4 | 0 | 6,318 |
| 4 | 500 | 6,318 |
| 4 | 1000 | 6,318 |
| 4 | 1500 | 6,318 |
| 5 | 0 | 0,033 |
| 5 | 273 | 0,031 |
| 5 | 546 | 0,028 |
| 6 | 0 | -0,106 |
| 6 | 798 | -0,103 |
| 6 | 1596 | -0,101 |
| 7 | 0 | 0,124 |
| 7 | 546 | 0,119 |
| 7 | 1092 | 0,114 |
| 8 | 0 | -0,106 |
| 8 | 798 | -0,103 |
| 8 | 1596 | -0,101 |
| 9 | 0 | 0,033 |
| 9 | 273 | 0,031 |
| 9 | 546 | 0,028 |
| 10 | 0 | -6,729 |
| 10 | 798 | -6,724 |
| 10 | 1596 | -6,719 |
| 11 | 0 | -6,626 |
| 11 | 798 | -6,621 |
| 11 | 1596 | -6,615 |
| 12 | 0 | -6,615 |
| 12 | 798 | -6,621 |
| 12 | 1596 | -6,626 |
| 13 | 0 | -6,719 |
| 13 | 798 | -6,724 |
| 13 | 1596 | -6,729 |

Benda uji 3**P maksimum = 6,125 kN****Tabel L.3.5 Gaya batang Benda uji 3**

| NO BATANG | Station mm | P KN |
|--------------|---------------|-----------|
| 1 | 0 | -9,25842 |
| 1 | 798 | -9,25279 |
| 1 | 1596 | -9,24716 |
| 2 | 0 | -9,19828 |
| 2 | 798 | -9,19266 |
| 2 | 1596 | -9,18703 |
| 3 | 0 | -9,18703 |
| 3 | 798 | -9,19266 |
| 3 | 1596 | -9,19828 |
| 4 | 0 | -9,24716 |
| 4 | 798 | -9,25279 |
| 4 | 1596 | -9,25842 |
| 5 | 0 | 8,694693 |
| 5 | 500 | 8,694693 |
| 5 | 1000 | 8,694693 |
| 5 | 1500 | 8,694693 |
| 5 | 2000 | 8,694693 |
| 5 | 2500 | 8,694693 |
| 5 | 3000 | 8,694693 |
| 6 | 0 | 8,694693 |
| 6 | 500 | 8,694693 |
| 6 | 1000 | 8,694693 |
| 6 | 1500 | 8,694693 |
| 6 | 2000 | 8,694693 |
| 6 | 2500 | 8,694693 |
| 6 | 3000 | 8,694693 |
| 7 | 0 | -6,29E-02 |
| 7 | 798 | -6,01E-02 |
| 7 | 1596 | -5,73E-02 |
| 8 | 0 | 0,130693 |
| 8 | 546 | 0,125065 |
| 8 | 1092 | 0,119437 |
| 9 | 0 | -6,29E-02 |
| 9 | 0 | -6,29E-02 |
| 9 | 798 | -6,01E-02 |
| 9 | 1596 | -5,73E-02 |

Lampiran 3

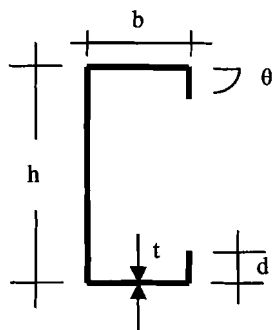
Benda uji 4

P maksimum = 6,56 kN

Tabel L.3.7 Gaya batang Benda uji 4

| NO | Station | P |
|--------|---------|-----------|
| BATANG | mm | KN |
| 1 | 0 | 9,298305 |
| 1 | 500 | 9,298305 |
| 1 | 1000 | 9,298305 |
| 1 | 1500 | 9,298305 |
| 2 | 0 | 9,298305 |
| 2 | 500 | 9,298305 |
| 2 | 1000 | 9,298305 |
| 2 | 1500 | 9,298305 |
| 3 | 0 | 9,298305 |
| 3 | 500 | 9,298305 |
| 3 | 1000 | 9,298305 |
| 3 | 1500 | 9,298305 |
| 4 | 0 | 9,298305 |
| 4 | 500 | 9,298305 |
| 4 | 1000 | 9,298305 |
| 4 | 1500 | 9,298305 |
| 5 | 0 | 3,05E-02 |
| 5 | 273 | 2,76E-02 |
| 5 | 546 | 2,48E-02 |
| 6 | 0 | -9,80E-02 |
| 6 | 798 | -9,52E-02 |
| 6 | 1596 | -9,24E-02 |
| 7 | 0 | 0,117641 |
| 7 | 546 | 0,112013 |
| 7 | 1092 | 0,106385 |
| 8 | 0 | -9,80E-02 |
| 8 | 798 | -9,52E-02 |
| 8 | 1596 | -9,24E-02 |
| 9 | 0 | 3,05E-02 |
| 9 | 273 | 2,76E-02 |
| 9 | 546 | 2,48E-02 |
| 10 | 0 | -9,89966 |
| 10 | 798 | -9,89514 |
| 10 | 1596 | -9,89063 |
| 11 | 0 | -9,80449 |
| 11 | 798 | -9,79998 |
| 11 | 1596 | -9,79546 |
| 12 | 0 | -9,79546 |
| 12 | 798 | -9,79998 |
| 12 | 1596 | -9,80449 |
| 13 | 0 | -9,89063 |
| 13 | 798 | -9,89514 |
| 13 | 1596 | -9,89966 |

Perhitungan Batang Tekan Light Lipped Channel



Gambar 4.1 profil Lipped Channel

1. Rangka kuda-kuda Baja profil 60 x 22 x 8 x 1,2mm

$$h = 60 \text{ mm}$$

$$b = 22 \text{ mm}$$

$$d = 8 \text{ mm}$$

$$t = 1,2 \text{ mm}$$

$$A = t \times (b + 2h + 2d)$$

$$= 1,2 \cdot (22 + (2 \cdot 70) + (2 \cdot 8))$$

$$= 144 \text{ mm}^2$$

$$e_y = \frac{1}{2} \cdot 60 = 30 \text{ mm}$$

$$e_x = 6,967 \text{ mm}$$

$$I_x = \frac{1}{12} \cdot t \cdot h^3 + \frac{1}{2} \cdot b \cdot t \cdot h^2 + \frac{2}{3} \cdot t \cdot d^3 + \frac{1}{2} \cdot d \cdot t \cdot h^2 - d^2 \cdot t \cdot h + \frac{1}{6} \cdot b \cdot t^3$$

$$= \frac{1}{12} \cdot 1,2 \cdot 60^3 + \frac{1}{2} \cdot 22 \cdot 1,2 \cdot 60^2 + \frac{2}{3} \cdot 1,2 \cdot 8^3 + \frac{1}{2} \cdot 8 \cdot 1,2 \cdot 60^2 - 8^2 \cdot$$

$$1,2 \cdot 60 + \frac{1}{6} \cdot 22 \cdot 1,2^3$$

$$= 0,00822 \cdot 10^7 \text{ mm}^4$$

$$I_y = \frac{1}{12} \cdot h \cdot t^3 + \frac{1}{2} \cdot t \cdot b^3 + \frac{2}{3} \cdot d \cdot t^3 + 2 \cdot d \cdot t \cdot b^2 - (h \cdot t + 2 \cdot b \cdot t + 2 \cdot d \cdot t) \cdot b^2 \cdot$$

$$\frac{(b+2.d)^2}{(h+2.b+2.d)^2}$$

$$= \frac{1}{12} \cdot 60 \cdot 1,2^3 + \frac{1}{2} \cdot 1,2 \cdot 22^3 + \frac{2}{3} \cdot 8 \cdot 1,2^3 + 2 \cdot 8 \cdot 1,2 \cdot 22^2 - (60 \cdot 1,2 + 2 \cdot$$

$$22 \cdot 1,2 + 2 \cdot 8 \cdot 1,2) \cdot 22^2 \cdot \frac{(22+2.8)^2}{(60.2.22+2.8)^2}$$

$$= 0,001083 \cdot 10^7 \text{ mm}^4$$

$$F_y = 103,94 \text{ Mpa}$$

$$r_x = \sqrt{\frac{Ix}{A}}$$

$$= \sqrt{\frac{82214,90}{144}}$$

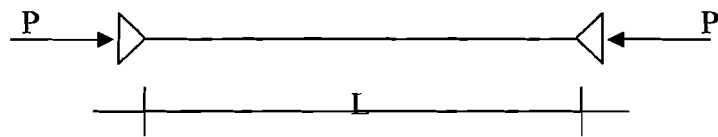
$$= 23,89 \text{ mm}$$

$$r_y = \sqrt{\frac{Iy}{A}}$$

$$= \sqrt{\frac{10833,184}{144}}$$

$$= 8,67 \text{ mm}$$

$$L_x = L_y = 1596 \text{ mm}$$



Gambar L4.2 pembebanan batang tekan profil C

Pada tekanan aksial, penampang ini memiliki elemen yang diperkuat yaitu badan sedangkan elemen yang tidak diperkuat adalah sayap. Elemen yang tidak diperkuat harus ditinjau dahulu untuk menentukan tingkat tegangan efektif.

1. Perhitungan F_{cr} dengan Metode AISC

a. Elemen yang tidak diperkuat:

$$\left[\frac{b}{t} = \frac{22}{1,2} = 18,333 \right] < \left[\frac{250}{\sqrt{F_y}} = 24,521 \right] \text{ maka tekuk setempat tidak mengurangi efisiensi : } Q_s = 1,0$$

$$f = F_y \cdot Q_s$$

$$= 103,944 \times 1$$

$$= 103,944$$

$$\frac{bE}{t} = \frac{21}{f} \cdot \left[1 - \frac{4,18}{(b/t)\sqrt{f}} \right]$$

$$\frac{bE}{t} = \frac{21}{\sqrt{103,944}} \cdot \left[1 - \frac{4,18}{(18,33)\sqrt{103,944}} \right]$$

$$= 0,197514$$

Lampiran 4

$$A_{\text{eff}} = A_{\text{brutto}} - \left[\frac{b}{t} - \frac{bE}{t} \right] t^2$$

$$= 144 - [18,33 - 0,197514]$$

$$= 117,884$$

$$Q_A = \frac{A_{\text{effek}}}{A_{\text{bruto}}}$$

$$= \frac{117,884}{144}$$

$$= 0,819$$

$$Q = Q_A \cdot Q_s$$

$$= 0,819 \cdot 1$$

$$= 0,819$$

Asumsi K = 1

$$\frac{K \cdot L_y}{r_y} = \frac{1.1596}{8,67} = 184,0$$

$$Cc = \sqrt{\frac{2\pi^2 E}{Q \cdot F_y}}$$

$$= \sqrt{\frac{2\pi^2 \cdot 2 \cdot 10^5}{0,816 \cdot 103,94}}$$

$$= 215,285$$

$$\frac{K \cdot L_y}{r_y} < Cc \cdot K \cdot L / r$$

Lampiran 4

$$\begin{aligned} F_{cr} &= Q \cdot F_y \left[1 - \frac{(KL/r)^2}{2Cc^2} \right] \\ &= 0,48 \cdot 103,944 \left[1 - \frac{(184,0)^2}{2.215,285^2} \right] \\ &= 54,011 \text{ Mpa} \end{aligned}$$

$$\begin{aligned} P_{cr} &= F_{cr} \cdot A \\ &= 54,011 \cdot 10^{-3} \cdot 144 \\ &= 7,778 \text{ kN} \end{aligned}$$

$$P_{maksimum} = 6,729 \text{ kN}$$

$P_{maksimum} < P_{cr}$ maka batang belum rusak

2. Rangka Kuda-kuda Baja Profil 70 x 22 x 8 x 1,2mm

$$h = 70 \text{ mm}$$

$$b = 22 \text{ mm}$$

$$d = 8 \text{ mm}$$

$$t = 1,2 \text{ mm}$$

$$A = t \times (b + 2h + 2d)$$

$$= 1,2 \cdot (22 + (2 \cdot 70) + (2 \cdot 8))$$

$$= 156 \text{ mm}^2$$

$$e_y = \frac{1}{2} \cdot 70 = 35 \text{ mm}$$

$$e_x = 6,43 \text{ mm}$$

$$\begin{aligned} I_{x} &= \frac{1}{12} \cdot t \cdot h^3 + \frac{1}{2} \cdot b \cdot t \cdot h^2 + \frac{2}{3} \cdot t \cdot d^3 + \frac{1}{2} \cdot d \cdot t \cdot h^2 - d^2 \cdot t \cdot h + \frac{1}{6} \cdot b \cdot t^3 \\ &= \frac{1}{12} \cdot 1,2 \cdot 70^3 + \frac{1}{2} \cdot 22 \cdot 1,2 \cdot 70^2 + \frac{2}{3} \cdot 1,2 \cdot 8^3 + \frac{1}{2} \cdot 8 \cdot 1,2 \cdot 70^2 - 8^2 \cdot \\ &\quad 1,2 \cdot 70 + \frac{1}{6} \cdot 22 \cdot 1,2^3 \\ &= 0,0117 \cdot 10^7 \text{ mm}^4 \end{aligned}$$

$$I_y = \frac{1}{12} \cdot h \cdot t^3 + \frac{1}{2} \cdot t \cdot b^3 + \frac{2}{3} \cdot d \cdot t^3 + 2 \cdot d \cdot t \cdot b^2 - (h \cdot t + 2 \cdot b \cdot t + 2 \cdot d \cdot t) \cdot b^2.$$

$$\frac{(b+2d)^2}{(h+2b+2d)^2}$$

$$= \frac{1}{12} \cdot 70 \cdot 1,2^3 + \frac{1}{2} \cdot 1,2 \cdot 22^3 + \frac{2}{3} \cdot 8 \cdot 1,2^3 + 2 \cdot 8 \cdot 1,2 \cdot 22^2 - (70 \cdot 1,2 + 2 \cdot$$

$$22 \cdot 1,2 + 2 \cdot 8 \cdot 1,2) \cdot 22^2 \cdot \frac{(22+2 \cdot 8)^2}{(70 \cdot 2 \cdot 22 + 2 \cdot 8)^2}$$

$$= 0,00114 \cdot 10^7 \text{ mm}^4$$

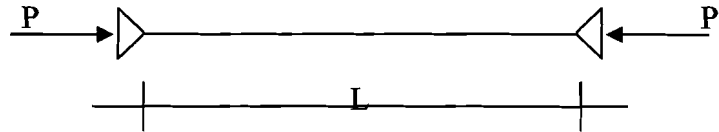
$$F_y = 137,10 \text{ Mpa}$$

$$r_x = \sqrt{\frac{I_x}{A}} = 27,45 \text{ mm}$$

$$r_y = \sqrt{\frac{I_y}{A}} = 8,54 \text{ mm}$$

$$L_x = L_y = 1596 \text{ mm}$$

Gambar pembebanan batang tekan profil C



pada tekanan aksial, penampang ini memiliki elemen yang diperkuat yaitu badan sedangkan elemen yang tidak diperkuat adalah sayap. Elemen yang tidak diperkuat harus ditinjau dahulu untuk menentukan tingkat tegangan efektif.

2. Perhitungan F_{cr} dengan Metode AISC

c. elemen yang tidak diperkuat:

$$\left[\frac{b}{t} = \frac{22}{1,2} = 18,333 \right] < \left[\frac{250}{\sqrt{F_y}} = 21,351 \right] \text{ maka tekuk setempat tidak mengurangi}$$

efisiensi : $Q_s = 1,0$

d. elemen yang diperkuat

$$f = F_y \cdot Q_s$$

$$= 137,102 \times 1$$

$$= 137,102$$

$$\frac{bE}{t} = \frac{21}{f} \left[1 - \frac{4,18}{(b/t)\sqrt{f}} \right]$$

$$\frac{bE}{t} = \frac{21}{\sqrt{137,102}} \left[1 - \frac{4,18}{(18,333)\sqrt{1137,102}} \right]$$

$$= 0,1502$$

$$A_{eff} = A_{brutto} - \left[\frac{b}{t} - \frac{bE}{t} \right] t^2$$

$$= 156 - [18,33 - 0,1502] \cdot 1,2^2$$

$$= 129,816 \text{ mm}$$

$$Q_A = \frac{A_{eff}}{A_{brutto}}$$

$$= \frac{129,816}{156}$$

$$= 0,832$$

$$Q = Q_A \cdot Q_s$$

$$= 0,832 \cdot 1$$

$$= 0,832$$

Asumsi K = 1

$$\frac{K \cdot L_y}{r_y} = \frac{1.1596}{8,54} = 186,9$$

Lampiran 4

$$\begin{aligned} C_c &= \sqrt{\frac{2\pi^2 E}{Q \cdot F_y}} \\ &= \sqrt{\frac{2\pi^2 \cdot 2 \cdot 10^5}{0,832 \cdot 137,102}} \\ &= 185,924 \end{aligned}$$

$$\frac{K \cdot L_y}{r_y} < C_c \cdot K \cdot L / r$$

$$\begin{aligned} F_{cr} &= Q \cdot F_y \left[1 - \frac{(KL/r)^2}{2 \cdot C_c^2} \right] \\ &= 0,832 \cdot 137,102 \left[1 - \frac{(186,9)^2}{2 \cdot 185,924^2} \right] \\ &= 56,428 \text{ Mpa} \end{aligned}$$

$$\begin{aligned} P_{cr} &= F_{cr} \cdot A \\ &= 56,428 \cdot 10^{-3} \cdot 156 \\ &= 8,803 \text{ kN} \end{aligned}$$

$$P_{maksimum} = 9,900 \text{ kN}$$

$P_{maksimum} > P_{cr}$ maka batang rusak

Perhitungan Beban Kritis Elemen Struktur Rangka

Tabel 5.1 Kekuatan Batang Tekan Benda Uji 1

| NO BATANG | P (kN) | L (mm) | KL/r | Fcr (Mpa) | Per (k N) | Keterangan |
|--------------|-------------|-------------|-------|---------------|----------------|--------------------|
| 1 | -5,394 | 1596 | 184,0 | 58,15982 | 8,375014 | $P_{eks} < P_{cr}$ |
| 2 | -5,339 | 1596 | 184,0 | 58,15982 | 8,375014 | $P_{eks} < P_{cr}$ |
| 3 | -5,339 | 1596 | 184,0 | 58,15982 | 8,375014 | $P_{eks} < P_{cr}$ |
| 4 | -5,394 | 1596 | 184,0 | 58,15982 | 8,375014 | $P_{eks} < P_{cr}$ |
| 7 | -0,057 | 1596 | 184,0 | 58,15982 | 8,375014 | $P_{eks} < P_{cr}$ |
| 9 | -0,057 | 1596 | 184,0 | 58,15982 | 8,375014 | $P_{eks} < P_{cr}$ |

Tabel 5.2 Kekuatan Batang Tarik Benda Uji 1

| NO BATANG | P (kN) | Per (k N) | Keterangan |
|--------------|-----------|----------------|--------------------|
| 5 | 5,064 | 19,74264 | $P_{eks} < P_{cr}$ |
| 6 | 5,064 | 19,74264 | $P_{eks} < P_{cr}$ |
| 8 | 0,119 | 19,74264 | $P_{eks} < P_{cr}$ |

Tabel 5.3 Kekuatan Batang Tekan Benda Uji 2

| NO BATANG | P (kN) | L (mm) | KL/r | Fcr (Mpa) | Per (k N) | Keterangan |
|--------------|-------------|-------------|-------|---------------|----------------|--------------------|
| 6 | -0,106 | 1596 | 184,0 | 54,010861 | 7,777564 | $P_{eks} < P_{cr}$ |
| 8 | -0,106 | 1596 | 184,0 | 54,010861 | 7,777564 | $P_{eks} < P_{cr}$ |
| 10 | -6,729 | 1596 | 184,0 | 54,010861 | 7,777564 | $P_{eks} < P_{cr}$ |
| 11 | -6,626 | 1596 | 184,0 | 54,010861 | 7,777564 | $P_{eks} < P_{cr}$ |
| 12 | -6,626 | 1596 | 184,0 | 54,010861 | 7,777564 | $P_{eks} < P_{cr}$ |
| 13 | -6,729 | 1596 | 184,0 | 54,010861 | 7,777564 | $P_{eks} < P_{cr}$ |

Tabel 5.4 Kekuatan Batang Tarik Benda Uji 2

| NO BATANG | P (kN) | Per (k N) | Keterangan |
|--------------|-----------|----------------|--------------------|
| 1 | 6,318 | 14,96794 | $P_{eks} < P_{cr}$ |
| 2 | 6,318 | 14,96794 | $P_{eks} < P_{cr}$ |
| 3 | 6,318 | 14,96794 | $P_{eks} < P_{cr}$ |
| 4 | 6,318 | 14,96794 | $P_{eks} < P_{cr}$ |
| 5 | 0,033 | 14,96794 | $P_{eks} < P_{cr}$ |
| 7 | 0,124 | 14,96794 | $P_{eks} < P_{cr}$ |
| 9 | 0,033 | 14,96794 | $P_{eks} < P_{cr}$ |

Lampiran 5

Tabel 5.5 Kekuatan Batang desak Benda Uji 3

| NO BATANG | P (kN) | L (mm) | KL/r | Fcr (Mpa) | Per (k N) | Keterangan |
|--------------|-------------|-------------|-------|----------------|----------------|--------------------|
| 1 | -9,258 | 1596 | 186,9 | 56,427912 | 8,802754 | $P_{eks} < P_{cr}$ |
| 2 | -9,193 | 1596 | 186,9 | 56,427912 | 8,802754 | $P_{eks} < P_{cr}$ |
| 3 | -9,193 | 1596 | 186,9 | 56,427912 | 8,802754 | $P_{eks} < P_{cr}$ |
| 4 | -9,258 | 1596 | 186,9 | 56,427912 | 8,802754 | $P_{eks} < P_{cr}$ |
| 7 | -0,063 | 1596 | 186,9 | 56,427912 | 8,802754 | $P_{eks} < P_{cr}$ |
| 9 | -0,060 | 1596 | 186,9 | 56,427912 | 8,802754 | $P_{eks} < P_{cr}$ |

Tabel 5.6 Kekuatan Batang tarik Benda Uji 3

| NO BATANG | P (kN) | Per (k N) | Keterangan |
|--------------|-------------|----------------|--------------------|
| 5 | 8,695 | 21,38786 | $P_{eks} < P_{cr}$ |
| 6 | 8,695 | 21,38786 | $P_{eks} < P_{cr}$ |
| 8 | 0,131 | 21,38786 | $P_{eks} < P_{cr}$ |

Tabel 5.7 Kekuatan Batang Tekan Benda Uji 4

| NO BATANG | P (kN) | L (mm) | KL/r | Fcr (Mpa) | Per (k N) | Keterangan |
|--------------|-------------|-------------|-------|----------------|----------------|--------------------|
| 6 | -0,098 | 1596 | 186,9 | 56,427912 | 8,802754 | $P_{eks} < P_{cr}$ |
| 8 | -0,098 | 1596 | 186,9 | 56,427912 | 8,802754 | $P_{eks} < P_{cr}$ |
| 10 | -9,900 | 1596 | 186,9 | 56,427912 | 8,802754 | $P_{eks} < P_{cr}$ |
| 11 | -9,800 | 1596 | 186,9 | 56,427912 | 8,802754 | $P_{eks} < P_{cr}$ |
| 12 | -9,804 | 1596 | 186,9 | 56,427912 | 8,802754 | $P_{eks} < P_{cr}$ |
| 13 | -9,900 | 1596 | 186,9 | 56,427912 | 8,802754 | $P_{eks} < P_{cr}$ |

Tabel 5.8 Kekuatan Batang Tarik Benda Uji 4

| NO BATANG | P (kN) | Per (k N) | Keterangan |
|--------------|-------------|----------------|--------------------|
| 1 | 9,298 | 21,38786 | $P_{eks} < P_{cr}$ |
| 2 | 9,298 | 21,38786 | $P_{eks} < P_{cr}$ |
| 3 | 9,298 | 21,38786 | $P_{eks} < P_{cr}$ |
| 4 | 9,298 | 21,38786 | $P_{eks} < P_{cr}$ |
| 5 | 0,028 | 21,38786 | $P_{eks} < P_{cr}$ |
| 7 | 0,118 | 21,38786 | $P_{eks} < P_{cr}$ |
| 9 | 0,030 | 21,38786 | $P_{eks} < P_{cr}$ |

Perhitungan Koefisien Tekuk

1. Koefisien Tekuk Uji desak

a. benda uji 1

$$F_{cr} = 87,607 \text{ Mpa}$$

$$b = 22 \text{ mm}$$

$$t = 1,2 \text{ mm}$$

$$E = 2.10^5$$

$$\mu = 0,3$$

$$F_{cr} = k \frac{\pi^2 E}{12(1-\mu^2)(b/t)^2}$$

$$k = \frac{F_{cr} \cdot 12 \cdot (1-\mu) \cdot (b/t)^2}{\pi^2 E}$$

$$= \frac{87,607 \cdot 12 \cdot (1-0,3) \left(\frac{22}{1,2}\right)^2}{3,14^2 \cdot (2 \cdot 10^5)}$$

$$= 0,163$$

b. benda uji 2

$$F_{cr} = 94,231 \text{ Mpa}$$

$$b = 22 \text{ mm}$$

$$t = 1,2 \text{ mm}$$

$$E = 2.10^5$$

$$\mu = 0,3$$

$$\begin{aligned}
 F_{cr} &= k \frac{\pi^2 E}{12(1-\mu^2)(b/t)^2} \\
 K &= \frac{F_{cr} \cdot 12 \cdot (1-\mu) \cdot (b/t)^2}{\pi^2 E} \\
 &= \frac{94,231.12 \cdot (1-0,3) \left(\frac{22}{1,2}\right)^2}{3,14^2 \cdot (2 \cdot 10^5)} \\
 &= 0,175
 \end{aligned}$$

c. benda uji 3

$$F_{cr} = 102,564 \text{ Mpa}$$

$$b = 22 \text{ mm}$$

$$t = 1,2 \text{ mm}$$

$$E = 2 \cdot 10^5$$

$$\mu = 0,3$$

$$\begin{aligned}
 F_{cr} &= k \frac{\pi^2 E}{12(1-\mu^2)(b/t)^2} \\
 K &= \frac{F_{cr} \cdot 12 \cdot (1-\mu) \cdot (b/t)^2}{\pi^2 E} \\
 &= \frac{102,564 \cdot 12 \cdot (1-0,3) \left(\frac{22}{1,2}\right)^2}{3,14^2 \cdot (2 \cdot 10^5)} \\
 &= 0,191
 \end{aligned}$$

Tabel lampiran 6.1 Koefisien tekuk uji desak profil

| Benda uji | F_{cr} (Mpa) | π | A (mm) | b/t | μ | Koefisien Tekuk (k) |
|-------------|-------------------|-------|-----------|--------|-------|------------------------|
| Benda uji 1 | 87,607 | 3,14 | 156 | 18,333 | 0,3 | 0,163 |
| Benda uji 2 | 94,231 | 3,14 | 156 | 18,333 | 0,3 | 0,175 |
| Benda uji 3 | 102,564 | 3,14 | 156 | 18,333 | 0,3 | 0,910 |

2. Koefisien tekuk hasil pengujian

a. benda uji 1

$$P_{cr} = 5.394 \text{ kN}$$

$$b = 22 \text{ mm}$$

$$t = 1,2 \text{ mm}$$

$$E = 2 \cdot 10^5$$

$$\mu = 0,3$$

$$F_{cr} = \frac{P_{cr}}{A}$$

$$= \frac{5,394}{156} \times 1000$$

$$= 34,557 \text{ kN/mm}^2$$

$$F_{cr} = k \frac{\pi^2 E}{12(1 - \mu^2)(b/t)^2}$$

$$k = \frac{F_{cr} \cdot 12 \cdot (1 - \mu) \cdot (b/t)^2}{\pi^2 E}$$

$$= \frac{34,557.12.(1-0,3)\left(\frac{22}{1,2}\right)^2}{3,14^2.(2.10^5)}$$

$$= 0,064$$

b. benda uji 2

$$F_{cr} = 9,899 \text{ kN}$$

$$b = 22 \text{ mm}$$

$$t = 1,2 \text{ mm}$$

$$E = 2.10^5$$

$$\mu = 0,3$$

$$F_{cr} = \frac{P_{cr}}{A}$$

$$= \frac{9,899}{156} \times 1000$$

$$= 63,445 \text{ kN/mm}^2$$

$$F_{cr} = k \frac{\pi^2 E}{12(1-\mu^2)(b/t)^2}$$

$$k = \frac{F_{cr} \cdot 12 \cdot (1-\mu) \cdot (b/t)^2}{\pi^2 E}$$

$$= \frac{63,445.12.(1-0,3)\left(\frac{22}{1,2}\right)^2}{3,14^2.(2.10^5)}$$

$$= 0,118$$

c. benda uji 3

$$P_{cr} = 9,258 \text{ kN}$$

$$b = 22 \text{ mm}$$

$$t = 1,2 \text{ mm}$$

$$E = 2 \cdot 10^5$$

$$\mu = 0,3$$

$$F_{cr} = \frac{P_{cr}}{A}$$

$$= \frac{9,258}{156} \times 1000$$

$$= 59,346 \text{ kN/mm}^2$$

$$F_{cr} = k \frac{\pi^2 E}{12(1-\mu^2)(b/t)^2}$$

$$K = \frac{P_{cr} \cdot 12 \cdot (1-\mu) \cdot (b/t)^2}{\pi^2 E}$$

$$= \frac{59,346 \cdot 12 \cdot (1-0,3) \left(\frac{22}{1,2}\right)^2}{3,14^2 \cdot (2 \cdot 10^5)}$$

$$= 0,110$$

Tabel lampiran 6.2 Koefisien tekuk uji desak profil

| Benda uji | F_{cr} (Mpa) | π | A (mm ²) | b/t | μ | Koefisien Tekuk (k) |
|-------------|-------------------|-------|-------------------------|--------|-------|------------------------|
| Benda Uji 1 | 5,394 | 3,14 | 156 | 18,333 | 0,3 | 0,064 |
| Benda Uji 2 | 9,899 | 3,14 | 156 | 18,333 | 0,3 | 0,118 |
| Benda Uji 3 | 9,258 | 3,14 | 156 | 18,333 | 0,3 | 0,110 |

Lampiran 5

Tabel 5.5 Kekuatan Batang desak Benda Uji 3

| NO BATANG | P (kN) | L (mm) | KL/r | Fer (Mpa) | Pcr (k N) | Keterangan |
|--------------|-------------|-------------|-------|--------------|----------------|--------------------|
| 1 | -9,258 | 1596 | 186,9 | 56,427912 | 8,802754 | $P_{eks} < P_{cr}$ |
| 2 | -9,193 | 1596 | 186,9 | 56,427912 | 8,802754 | $P_{eks} < P_{cr}$ |
| 3 | -9,193 | 1596 | 186,9 | 56,427912 | 8,802754 | $P_{eks} < P_{cr}$ |
| 4 | -9,258 | 1596 | 186,9 | 56,427912 | 8,802754 | $P_{eks} < P_{cr}$ |
| 7 | -0,063 | 1596 | 186,9 | 56,427912 | 8,802754 | $P_{eks} < P_{cr}$ |
| 9 | -0,060 | 1596 | 186,9 | 56,427912 | 8,802754 | $P_{eks} < P_{cr}$ |

Tabel 5.6 Kekuatan Batang tarik Benda Uji 3

| NO BATANG | P (kN) | Pcr (k N) | Keterangan |
|--------------|-----------|----------------|--------------------|
| 5 | 8,695 | 21,38786 | $P_{eks} < P_{cr}$ |
| 6 | 8,695 | 21,38786 | $P_{eks} < P_{cr}$ |
| 8 | 0,131 | 21,38786 | $P_{eks} < P_{cr}$ |

Tabel 5.7 Kekuatan Batang Tekan Benda Uji 4

| NO BATANG | P (kN) | L (mm) | KL/r | Fer (Mpa) | Pcr (k N) | Keterangan |
|--------------|-------------|-------------|-------|--------------|----------------|--------------------|
| 6 | -0,098 | 1596 | 186,9 | 56,427912 | 8,802754 | $P_{eks} < P_{cr}$ |
| 8 | -0,098 | 1596 | 186,9 | 56,427912 | 8,802754 | $P_{eks} < P_{cr}$ |
| 10 | -9,900 | 1596 | 186,9 | 56,427912 | 8,802754 | $P_{eks} < P_{cr}$ |
| 11 | -9,800 | 1596 | 186,9 | 56,427912 | 8,802754 | $P_{eks} < P_{cr}$ |
| 12 | -9,804 | 1596 | 186,9 | 56,427912 | 8,802754 | $P_{eks} < P_{cr}$ |
| 13 | -9,900 | 1596 | 186,9 | 56,427912 | 8,802754 | $P_{eks} < P_{cr}$ |

Tabel 5.8 Kekuatan Batang Tarik Benda Uji 4

| NO BATANG | P (kN) | Pcr (k N) | Keterangan |
|--------------|-----------|----------------|--------------------|
| 1 | 9,298 | 21,38786 | $P_{eks} < P_{cr}$ |
| 2 | 9,298 | 21,38786 | $P_{eks} < P_{cr}$ |
| 3 | 9,298 | 21,38786 | $P_{eks} < P_{cr}$ |
| 4 | 9,298 | 21,38786 | $P_{eks} < P_{cr}$ |
| 5 | 0,028 | 21,38786 | $P_{eks} < P_{cr}$ |
| 7 | 0,118 | 21,38786 | $P_{eks} < P_{cr}$ |
| 9 | 0,030 | 21,38786 | $P_{eks} < P_{cr}$ |

Perhitungan Beban Kritis Elemen Struktur Rangka

Tabel 5.1 Kekuatan Batang Tekan Benda Uji 1

| NO BATANG | P (kN) | L (mm) | KL/r | Fer (Mpa) | Per (k N) | Keterangan |
|--------------|-------------|-------------|-------|----------------|----------------|--------------------|
| 1 | -5,394 | 1596 | 184,0 | 58,15982 | 8,375014 | $P_{eks} < P_{cr}$ |
| 2 | -5,339 | 1596 | 184,0 | 58,15982 | 8,375014 | $P_{eks} < P_{cr}$ |
| 3 | -5,339 | 1596 | 184,0 | 58,15982 | 8,375014 | $P_{eks} < P_{cr}$ |
| 4 | -5,394 | 1596 | 184,0 | 58,15982 | 8,375014 | $P_{eks} < P_{cr}$ |
| 7 | -0,057 | 1596 | 184,0 | 58,15982 | 8,375014 | $P_{eks} < P_{cr}$ |
| 9 | -0,057 | 1596 | 184,0 | 58,15982 | 8,375014 | $P_{eks} < P_{cr}$ |

Tabel 5.2 Kekuatan Batang Tarik Benda Uji 1

| NO BATANG | P (kN) | Per (k N) | Keterangan |
|--------------|-----------|----------------|--------------------|
| 5 | 5,064 | 19,74264 | $P_{eks} < P_{cr}$ |
| 6 | 5,064 | 19,74264 | $P_{eks} < P_{cr}$ |
| 8 | 0,119 | 19,74264 | $P_{eks} < P_{cr}$ |

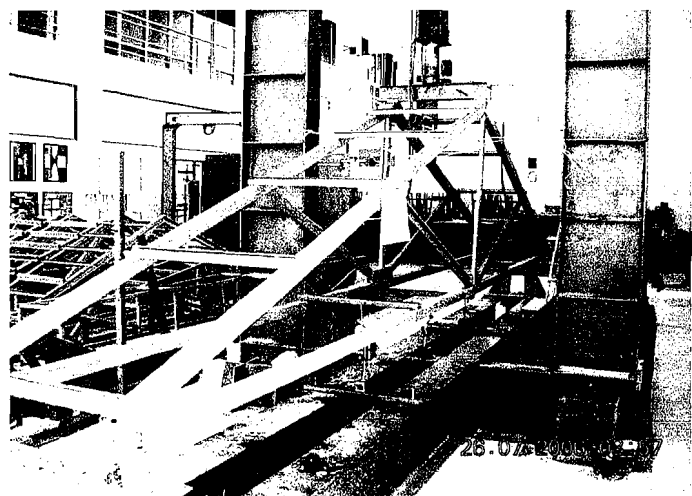
Tabel 5.3 Kekuatan Batang Tekan Benda Uji 2

| NO BATANG | P (kN) | L (mm) | KL/r | Fer (Mpa) | Per (k N) | Keterangan |
|--------------|-------------|-------------|-------|----------------|----------------|--------------------|
| 6 | -0,106 | 1596 | 184,0 | 54,010861 | 7,777564 | $P_{eks} < P_{cr}$ |
| 8 | -0,106 | 1596 | 184,0 | 54,010861 | 7,777564 | $P_{eks} < P_{cr}$ |
| 10 | -6,729 | 1596 | 184,0 | 54,010861 | 7,777564 | $P_{eks} < P_{cr}$ |
| 11 | -6,626 | 1596 | 184,0 | 54,010861 | 7,777564 | $P_{eks} < P_{cr}$ |
| 12 | -6,626 | 1596 | 184,0 | 54,010861 | 7,777564 | $P_{eks} < P_{cr}$ |
| 13 | -6,729 | 1596 | 184,0 | 54,010861 | 7,777564 | $P_{eks} < P_{cr}$ |

Tabel 5.4 Kekuatan Batang Tarik Benda Uji 2

| NO BATANG | P (kN) | Per (k N) | Keterangan |
|--------------|-----------|----------------|--------------------|
| 1 | 6,318 | 14,96794 | $P_{eks} < P_{cr}$ |
| 2 | 6,318 | 14,96794 | $P_{eks} < P_{cr}$ |
| 3 | 6,318 | 14,96794 | $P_{eks} < P_{cr}$ |
| 4 | 6,318 | 14,96794 | $P_{eks} < P_{cr}$ |
| 5 | 0,033 | 14,96794 | $P_{eks} < P_{cr}$ |
| 7 | 0,124 | 14,96794 | $P_{eks} < P_{cr}$ |
| 9 | 0,033 | 14,96794 | $P_{eks} < P_{cr}$ |

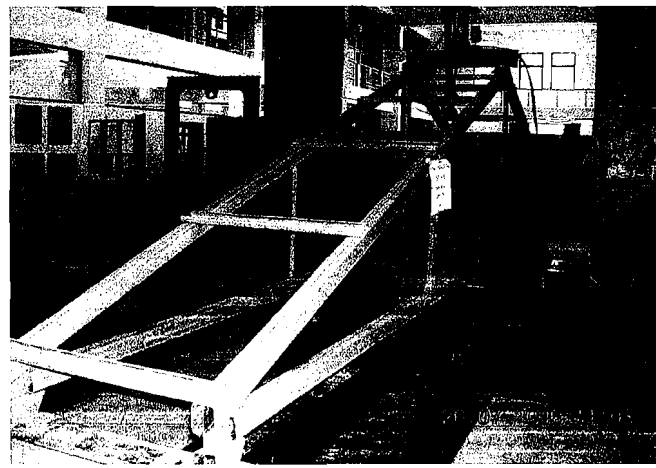
Dokumentasi Pelaksanaan Pengujian



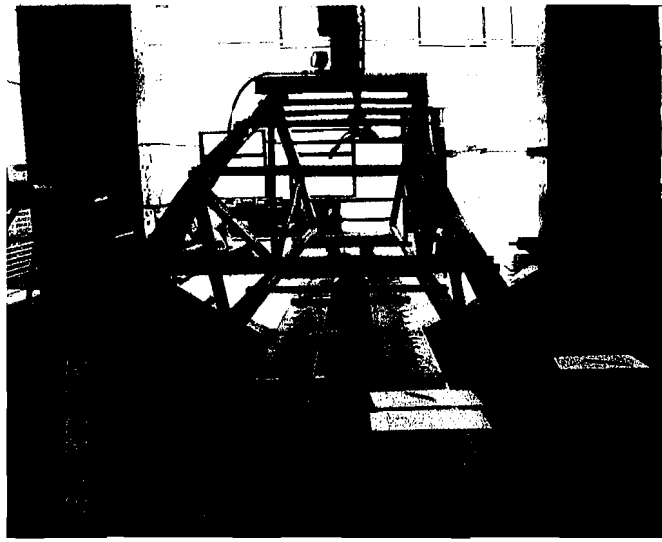
Gambar L7.1 Benda Uji 1 sebelum pengujian



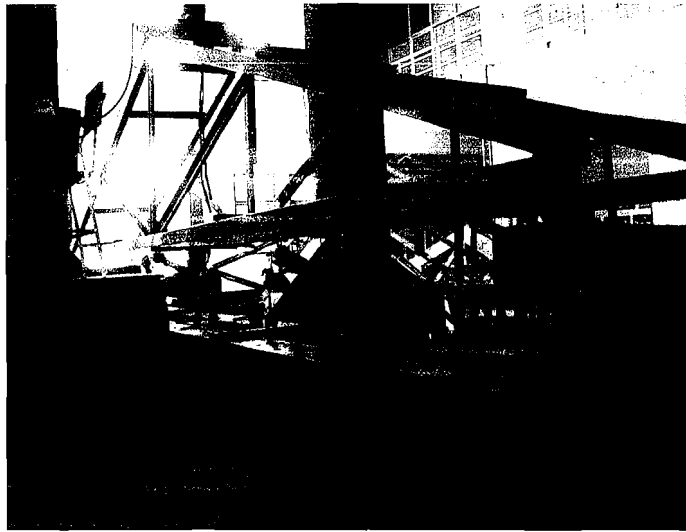
Gambar L7.2 Benda Uji 1 setelah pengujian



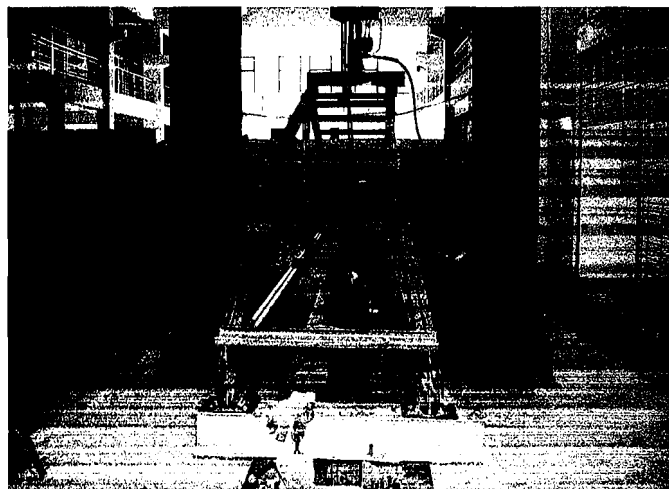
Gambar L7.3 Benda Uji 2 sebelum pengujian



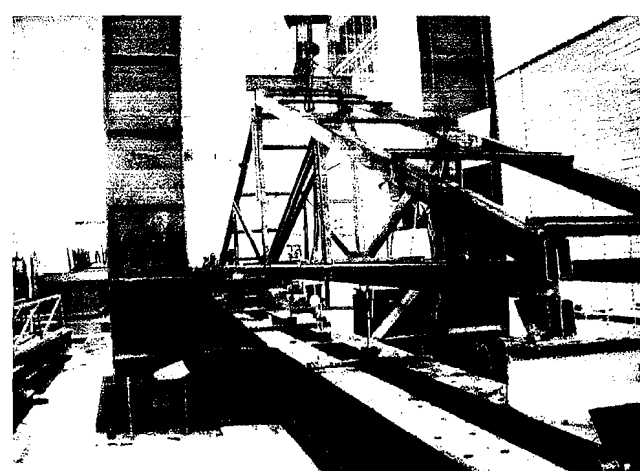
Gambar L7.4 Benda Uji 2 setelah pengujian



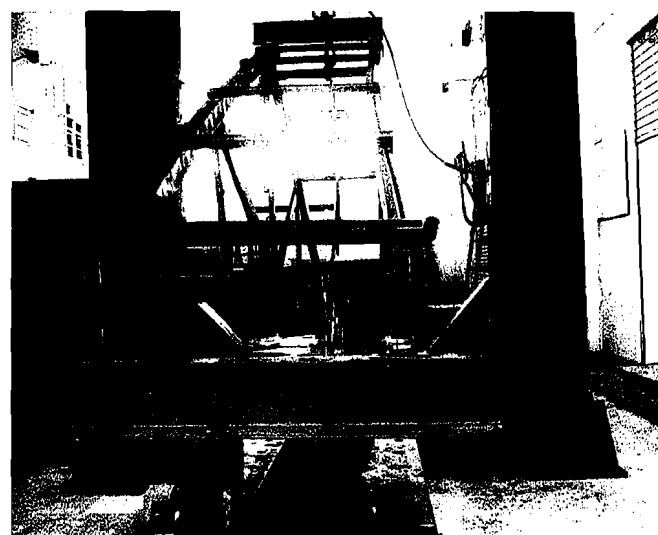
Gambar L7.5 Benda Uji 3 sebelum pengujian



Gambar L7.6 Benda Uji 3 setelah pengujian



Gambar L7.7 Benda Uji 4 sebelum pengujian



Gambar L7.8 Benda Uji 4 setelah pengujian

UNTUK DOSEN

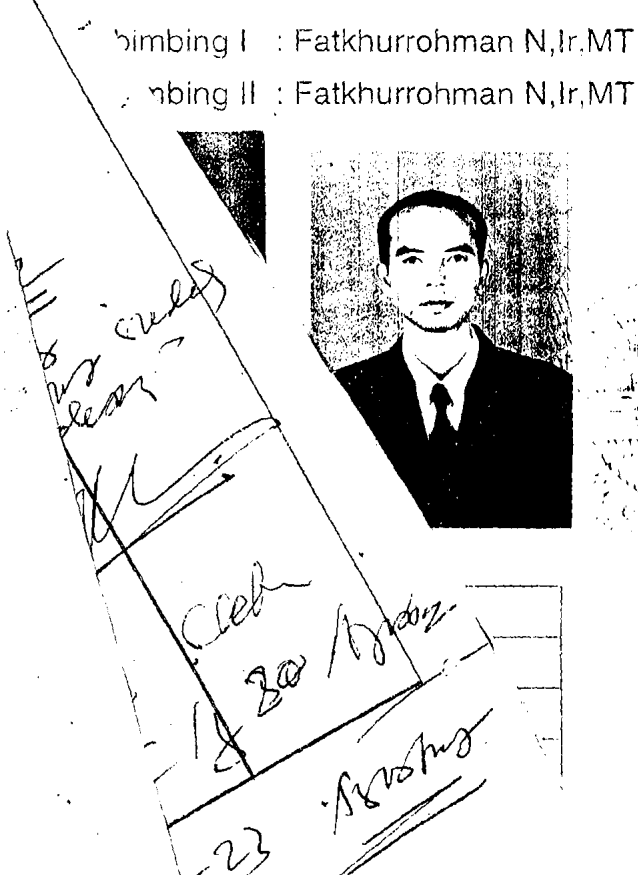
**KARTU PRESENSI KONSULTASI
TUGAS AKHIR MAHASISWA**

| | |
|--|----------------------------|
| PERIODE KE | : III (Mar 06 - Agst 06) |
| TAHUN | : 2005 - 2006 |
| Perpanjangan Sampai Akhir Agustus 2006 | |

| N A M A | NO.MHS. | BID. STUDI |
|-----------------|------------|--------------|
| Ridawan Esny S | 97 511 090 | Teknik Sipil |
| Abdi Ardiansyah | 97 511 277 | Teknik Sipil |

JUDUL TUGAS AKHIR

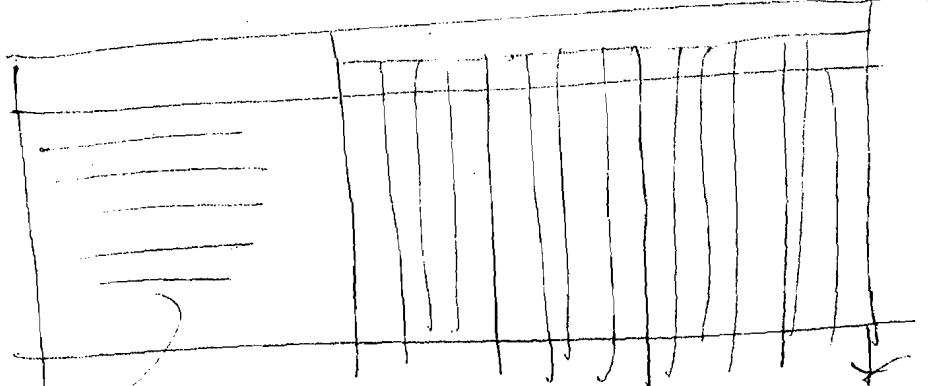
tu Rangka Baja Profil Bentukan Dingin Dengan Sambungan Baut



Jogjakarta , 19-Apr-06
a.n. Dekan


Ir. H. Munadhir, MS

CATATAN KONSULTASI TUGAS AKHIR

| TANGGAL | KONSULTASI KE : | TANDA TANGAN |
|---------|--|---|
| | <p>Dibuat Gunawar Beu da - Uji. Las alan Bant.</p> <p>Bila di Ganteng (Febau) deket pos jarak kafe sekitar $4 \leq 50$ min.</p> <p>Pecat Jadwal kegiatan harian.</p>  <p>keras</p> | <p>11/7/2026</p> |
| | <p>Usahakan Selain Sebelum 15 Agustus 2026</p> <p>Usahakan Selain Lapor 17 Agustus 2026</p> <p>Usahakan Selain Lapor 18 Agustus 2026</p> <p>Usahakan Selain Lapor 18 Agustus 2026</p> | <p>misalnya</p> <p>Agustus 2026</p> <p>18/08/2026</p> <p>18/08/2026</p> |
| | <p>Usahan Sidang 18.21-22-23 Agustus 2026</p> <p>Daftr Sidang 18/09/2026</p> <p>Grafik Penjadwalan 22/09/2026</p> | |

Daftr Sidang 18/09/2026

Grafik Penjadwalan 22/09/2026